

YILDIZ TEKNİK ÜNİVERSİTESİ * FEN BİLİMLERİ ENSTİTÜSÜ

Ses Çözümlemesi ve Birleşimi

Burç Eryılmaz

Yüksek Lisans Tezi

YILDIZ TEKNİK ÜNİVERSİTESİ
KÜTÜPHANE DOKÜMANTASYON
DAİRE BAŞKANLIĞI

R 152

152

Kot :
Alındığı Yer : Fen Bil Ens.
.....
Tarih : 10.4.95
Fatura :
Fiyatı : 186.00
Ayniyat No : 1-6
Kayıt No : 599.82
UDC :
Ek :

YILDIZ ÜNİVERSİTESİ
FEN BİLİMLERİ ENSTİTÜSÜ



SES

ÇÖZÜMLEMESİ VE BİRESİMİ



YÜKSEK LİSANS TEZİ

BURÇ BIYIKLI

ELEKTRONİK VE HABERLESME MÜH.

İSTANBUL 1989

SAYFA

19

2

3

4

12

12

12

12

12

Araştırma ve çalışmalarım sırasında beni yönlendiren,
düşünceleri ile yardımcı olan tez yöneticim Sayın Doç. Dr.
Sezgin Alsan'a teşekkürü bir borç bilirim.

Haziran 1989

Burç BIYIKLI

İstanbul

<u>İÇİNDEKİLER</u>	<u>Sayfa</u>
ÖZET	IV
ABSTRACT	V
BÖLÜM 1. GİRİŞ	1
BÖLÜM 2. KONUSMA ÜRETİM MODELİ	4
BÖLÜM 3. KONUSMA ÇÖZÜMLEMESİ	12
3.1 Doğrusal Öngörüm	12
3.1.1 Giriş	12
3.1.1.1 Genel Bakış	12
3.1.1.2 Doğrusal Öngörüm	12
3.1.2 Parametre Kestirimi	14
3.1.2.1 Tüm-Kutup Modeli	14
3.1.2.2 En Küçük Kareler Yöntemi	16
1) Deterministik İm	16
a) Özilişki Yöntemi	17
b) Çaprazdeğişinti	
Yöntemi	18
2) Rastgele İm	19
a) Duragın Hal	20
b) Duragın Olmayan Hal ...	20
BÖLÜM 4. KONUSMA SİPARİŞİ	22
BÖLÜM 5. KONUSMA TİCARETİ	22
3) Kazanc Hesabı	22
a) Dürdü Giriş	23
b) Beyaz Gürültü Giriş ..	24
3.1.2.3 Öngörücü Parametrelerinin Hesabı	25

Sayfa

1) Tek Adımda Çözüm	22
BÖLÜM 1. GİRİŞ	25
2) Sonuca adım-adım yaklaşan BASIC DİLİ BENZETİM Çözüm Yöntemleri	26
3) Süzgeç Kararlılığı	30
3.1.2.4 En İyi Kutup Sayısı	31
3.2 Atım Bulma	34
3.2.1 Giriş	34
3.2.1.1 Atım Bulmadaki Sorunlar	34
3.2.1.2 Atım Bulucu Türleri	35
3.2.2 Atım Bulma Algoritmaları	37
3.2.3 Değiştirilmiş Özilişki Yöntemi (AUTOC)	37
3.3 Konuşma Uç Noktalarının Belirlenmesi	43
3.3.1 Giriş	43
3.3.2 Uç Noktalarının Belirlenmesindeki sorunlar	45
3.3.3 Uç Noktaları-Belirleme Algoritması	45
BÖLÜM 4. KONUSMA BİREŞİMİ	55
BÖLÜM 5. GÖRÜNGESEL ÇÖZÜMLEME	56
BÖLÜM 6. ÇÖZÜMLEME-BİREŞİMLEME DİZGESİNİN BENZETİMİ	57
6.1 Giriş	57
6.2 Örneklem ve Çıkış İçin Kullanılan Donanım	57
6.3 Benzetim Ana Yönergesi	59

	<u>Sayfa</u>
6.4 Deneysel Çalışmalar ve Sonuçlar.....	62
BÖLÜM 7. SONUÇ	63
EK-A DONANIMI SÜREN 8088 MAKİNA DİLİ YÖNERGE	64
EK-B BASIC DİLİ BENZETİM ANA YÖNERGESİ	68
EK-C FORTRAN DİLİ FIR TASARIM YÖNERGESİ	82
EK-D UYGULAMA SONUÇLARI	96
KAYNAKLAR	104
ÖZGEÇMİŞ	106

akademik çalışma türlerinden biri sayılmaktır. - Bu da
edilen dili, genelde BASIC veya PASCAL algoritmalar
uygulaması, programlama dilinin teknik sistem yapısının
ve iş esasları hakkında bilgi edinme donektir. Uygulamalar
Bundan sonra yazılı ve yazılımın birincil işin doğrusal
algorithm yapısına, programın yapısına, direkt
komutlara, programlama dilinin dizi, atla, while ve
do-while gibi yapıları, if-else, switch kullanımları
üzerinden yapılmaktadır.

Uygulamalarının birincil işin doğrusal
algorithm yapısına ve programın yapısına, programlama dilinin
komutlarına, programlama dilinin dizi, atla, while ve
do-while gibi yapıları, if-else, switch kullanımları
üzerinden yapılmaktadır.

ÖZET

Bu çalışmada konuşma çözümlemesi ve bireşimlemesi konusuna bir giriş yapılması amaçlanmıştır. Bu amaçla önce kuramsal bilgi verilmiş ardından en yalnız uygulamalarдан biri sayısal bir bilgiislemci üzerinde benzetimlenmiştir.

Yapılan uygulamada konuşma imi 100-4000 Hz'lik bir BGS'den geçirildikten sonra 3 s'lik bir süre boyunca 10 KHz'lik bir sıklıkla örneklenerek kayıt edilmiştir. Kayıtın başlangıç ve sonundaki sessizlik bölgeleri bir uç noktaları belirleme algoritması ile atılmıştır. Elde edilen dizi üzerinde bir atım bulma algoritması uygulanarak hem sesli/sessiz/sessizlik ayırımı yapılmış hem de sesli bölgeler için atım dönemi belirlenmiştir. Bundan sonra sesli ve sessiz olan bölgeler için doğrusal öngörüm yöntemiyle çözümleme yapılmıştır. Bireşim aşamasında uç-noktaları bulunmuş dizi, atım bulma ve çözümlemede elde edilen bilgiler kullanılarak bireşimlenmiştir.

Uygulamanın başarısını inceleyebilmek için görungesel çözümleme yapılmış ve özgün im ile bireşimlenmiş imin görüngeleri karşılaştırılmıştır. Ayrıca bireşimlenmiş im, girişinde 4000 Hz'lik bir AGS bulunan bir yükseltici yoluyla bir sesyayardan çikılmış ve böylece öznel bir değerlendirme de yapılmıştır.

ABSTRACT

Purpose of this study is to introduce the speech analysis and synthesis. Therefore, the theoretical informations was first given and then one of the most simple applications was simulated on a digital computer.

In the application the speech signal is first band-pass filtered from 100 Hz to 4000 Hz and then sampled at a frequency of 10 KHz for a duration of 3 seconds. Silences at the begining and end of the record are removed by an algorithm for determining the endpoints of isolated utterances. An algorithm for pitch detection is performed and thus both voiced/unvoiced/silence segments is determined and pitch periods are found for voiced segments. Voiced/unvoiced segments are analyzed by linear prediction. In the synthesis, the sequence that its endpoints were detected is synthesized by using informations that were found in pitch detection and analysis.

In order to compare between original and synthesized spectrums, spectral analysis was executed. Thus performance of the simulation was measured. Also, synthesized sequence was transmitted to a loudspeaker through a LPF and an amplifier. Thus a subjective test was carried out.

BÖLÜM 1. GİRİŞ

Sayısal im işlemeye yöntemlerinin ~~en~~ en önemli uygulamalarından bazıları konuşma işlemeye alanındadır. Gerçekte, sayısal im işlemenin kuramsal tabanının büyük bir ~~bir~~ kısmı, konuşma ile ilgili çalışmalarдан kaynaklanmıştır.

Konuşma haberleşmenin en doğal biçimidir. Konuşma imi dinleyiciye haberin katkısız içeriğinden çok daha fazla ve gereksiz bilgi taşır. Bu nedenle, konuşma belki de şimdide kadar bilinen en "sıkıştırılabilir" bilgi kaynağıdır.

Konuşma imlerinin, sayıları olabildiğince az olan ve zamanla yavaş bir şekilde değişen parametreler ile etkin gösterimi konuşma araştırmalarındaki en önemli problemlerden biridir. Konuşma çözümlemesi için geliştirilmiş olan yöntemlerin çoğunda, ilk önce konuşma dalgasının kısa-süreli bir Fourier çözümlemesi yapılarak akustik veri görungesel biçimde dönüştürülür. Her ne kadar, görungesel çözümleme imlerle çalışmak için iyi bilinen bir yöntem ise de, konuşma imlerine uygulanması durumunda, konuşma dalgasının dönemli-benzeri özelliklerinden ve duragan olmamasından kaynaklanan çok önemli kısıtlamalarla karşılaşılmaktadır. Sonuç olarak, görungesel çözümlemeye dayanan yöntemler konuşma çözümlemede çoğu zaman yetersiz kalırlar. Bu çalışmada konuşma çözümleme ve bireşimleme için daha sonraları geliştirilmiş olan değişik bir yöntem kullanılmıştır. Bu yöntemde konuşma dalga biçimini doğrudan doğruya ses dizgesinin geçiş işlevi ve kaynak işlevinin

Özellikleri ile ilişkili olan, zamanla değişen parametrelere dayanılarak gösterimlenir. Konuşma dalgasının, görüngesi yerine kendisini modellemekle frekans tanım kümesi yöntemlerinin doğasında bulunan sorunlardan kurtulmuş oluruz. Örneğin, alışılımiş Fourier çözümleme yöntemleri, yeterli görungesel ayrışımı sağlamak için uzunca bir konuşma bölümünü gerektirirler. Bunun sonucunda da hızla değişen konuşma olayları doğru olarak izlenemez. Ayrıca, sesli konuşmaların önemli doğası nedeniyle, atım harmonikleri arasındaki görunge ile ilgili çok az bilgi bulunmaktadır; bu yüzden frekans tanım kümesi yöntemleri, kadın ve çocuk sesleri gibi atım frekansı yüksek olan sesler için doyurucu olarak uygulanamazlar. Her ne kadar atım-eşzamanlı çözümleme-bireşimleme yöntemleri yukarıda anlatılan zorluklara kısmi bir çözüm sağlayabilirse de, bu gibi yöntemler en gelişmiş sayısal bilgişlemciler için bile son derecede hantal ve zaman alıcıdır. Bu yüzden büyük tutarlardaki konuşma verilerinin otomatik işlenmesi için uygun değildirler. Bu çalışmada ele alınan yöntemlerin kullanılmasıyla bu sorunlardan bütünüyle kurtulmak olasıdır.

Burada kullanılan konuşma çözümleme-bireşimleme yöntemi konuşma üretimi ve tanimasındaki araştırma problemlerinin büyük bir çaplıguna uygulanabilir. Bu çalışmanın ana hedeflerinden birisi konuşmanın doğal insan konuşmasından ayırt edilemeyen bireşimini gerçekleştirmektir. Konuşma iminin Özelliklerini seçime bağlı olarak değiştirmek yoluya

konusmanın bilgi taşıyan yapısı hakkında çok şey öğrenilebilir. Bu yüzden burada incelenen yöntemler, verilen bir konuşma iminin akustik özelliklerini, konuşma nitelliğini düşürmeden değiştirmek için bir takım gibi kullanılabilir. Bu yöntemlerin diğer bazı olası uygulamaları; konuşmanın etkin saklanması ve iletimi, otomatik formant ve atım çıkarımı, ile konuşmacı ve konuşma tanıma alanlarındadır.

Sonraki bölümlerden; 2.'de konuşma iminin zaman tanım kümesinde gösterimi için parametrik bir modelin tanımlanması, 3.'de model parametrelerinin elde edilmesi için konuşma imi çözümleme yöntemleri, 4.'de çözümlemede bulunan model parametrelerinden konuşma iminin bireşimlenmesi, 5.'de görungesel çözümleme, 6.'da çözümleme-bireşimleme dizgesinin bilgişlemci benzetimi, yapılan deneysel çalışmalar ve elde edilen sonuçlar, ve 7.'de sonuçlar ve ileriki çalışmalar için öneriler yer almaktadır.

BÖLÜM 2. KONUSMA ÜRETİM MODELİ

Modern im işleme yöntemlerindeki im çözümleme işlemleri incelenmekte olan im hakkında önceden elde edilebilen bütün bilgilerin kullanılabilmesini sağlarlar. Bu yüzden im çözümlemedeki ilk adım imin bir modelini oluşturmaktır.

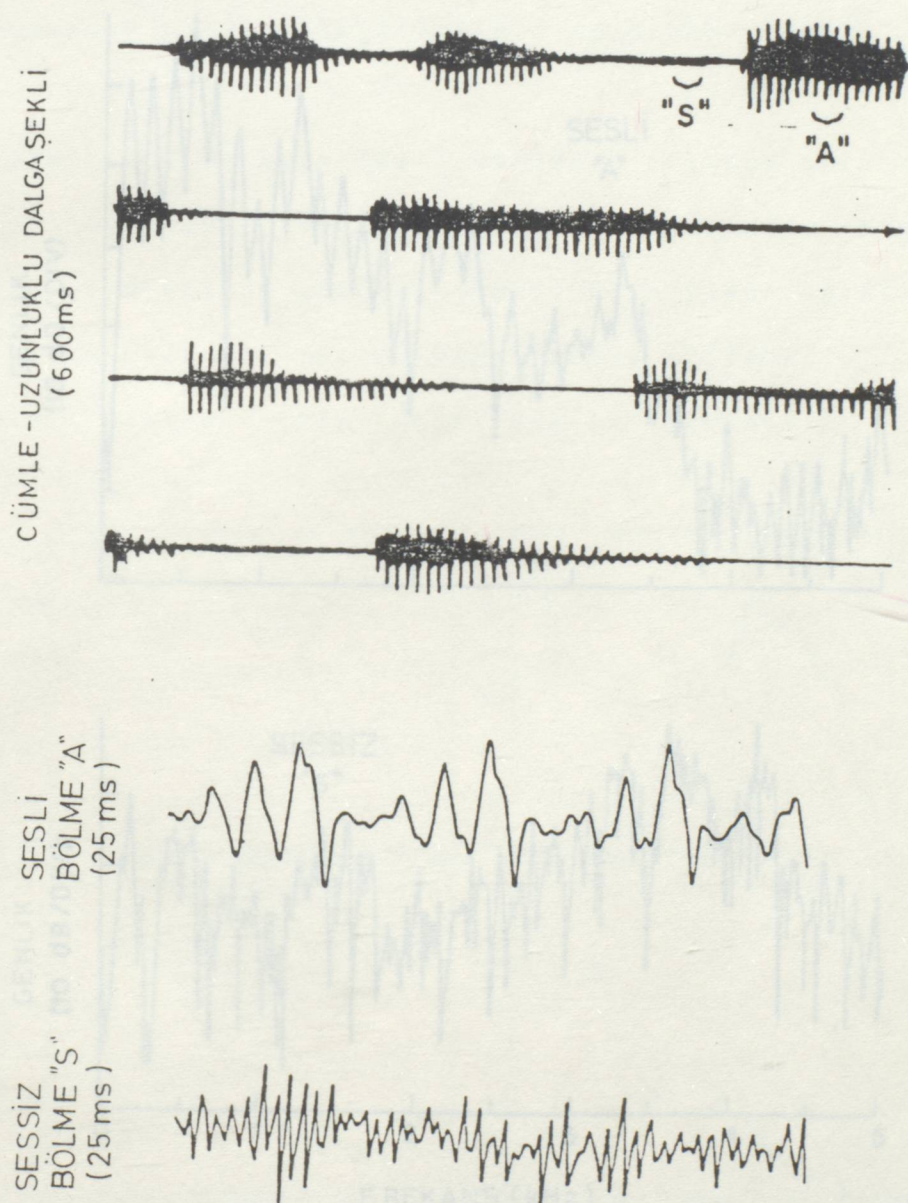
Konuşma sesleri insanın, girtlagından burun ve dudaklarına kadar uzanan ses dizgesinin akustik uyarımının bir sonucu olarak üretilirler. Uzun süreli bir konuşma dalga biçimi kayıdı (Şekil 2.1) incelendiğinde iki temel yapı göze çarpar:

- a) Yüksek enerjili, dönemli-benzeri bölümler
- b) Düşük enerjili, gürültü-benzeri bölümler

Sesli sesler denilen yüksek enerjili bölümlerin üretimi sırasında, ses dizgesi ses tellerinin atım frekansı denilen bir frekansta dönemli-benzeri titresmesiyle üretilen hava darbeleri dizisi ile uyarılır. Atım frekansı erkekler için 50-200 Hz, kadın ve çocuklar için 200-400 Hz arasındadır. Sessiz sesler olarak adlandırılan düşük enerjili bölümler hiç bir dönemlilik göstermez. Bu bölümlerin üretimi sırasında ses telleri titresmez ve ses dizgesinin uyarımı, sesiz sese bağlı olarak iki değişik şekilde gerçekleşir: ya akciğerlerden gelen hava ses dizgesindeki bir yerde bir kısıtlama içerisindeinden geçmeye zorlanarak gürültü-benzeri, çalkantılı bir hava akıntısı oluşturulur (snow kelimesindeki s gibi), yada ses dizgesindeki bir tam kapanma noktası arkasındaki bir basıncı biriminin ardından kısa süreli, geçici bir uyarım

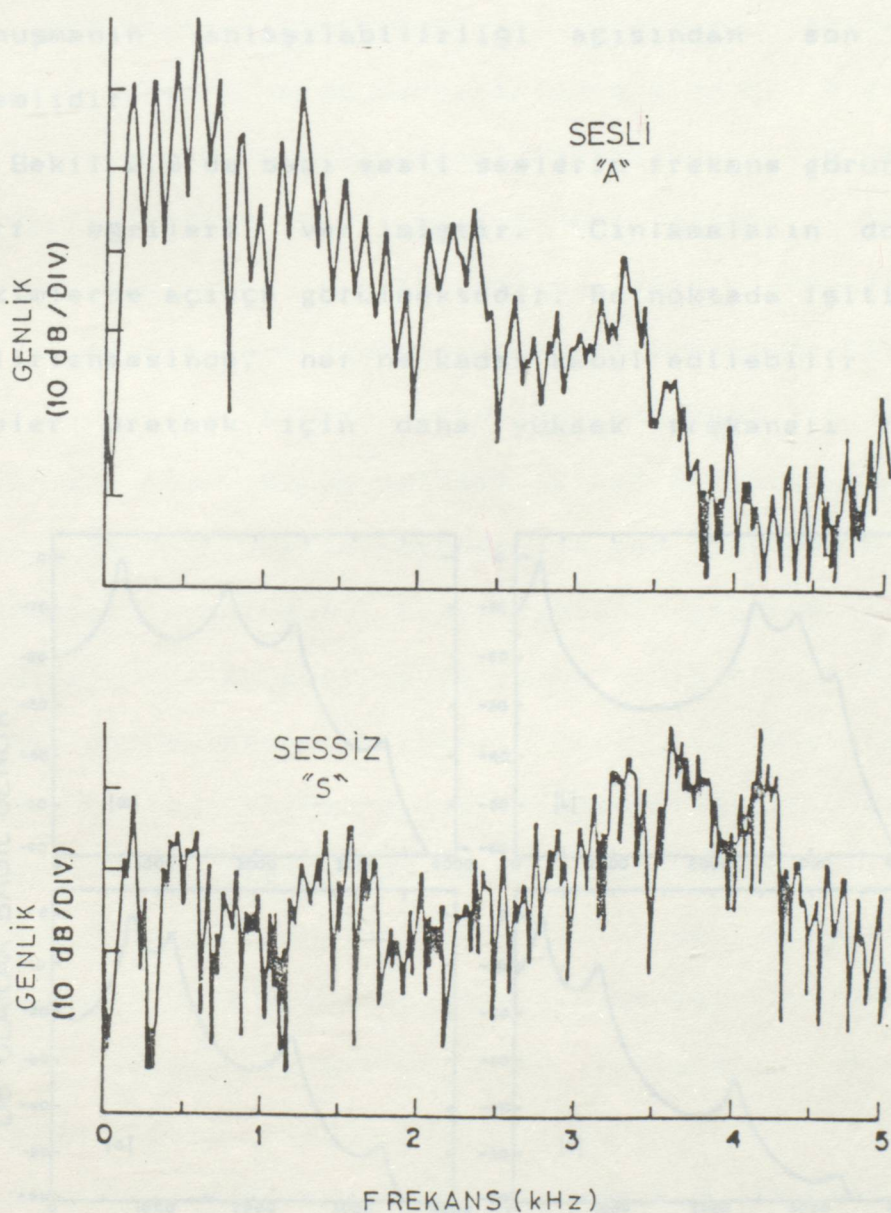
meydana gelir (pit kelimesindeki p gibi).

Ses dizgesi, yukarıda açıklanan uyarım tiplerinden biri ile uyarıldığında, birbirince sız bir akustik tüp gibi davranışır ve şıklık im göründesini biçimlendirir. Sesli "a" ve sessiz "s" 'nın kısa süreli dalga biçimleri bölgeleri



Sekil 2.1 Uzun-Süreli (cümle uzunluklu) ve kısa-süreli konuşma bölgelerinin zaman dalga biçimleri.

Şekil 2.1'de ve görünümleri Şekil 2.2'de görülmektedir. Dikkat edilirse "s" 'nin yüksek frekanslı içeriği ağırılıklıdır. "a" içinse tam ters durum geçerlidir. Her iki ses için de görününün genel biçimi ses dizgesi tarafından belirlenir, "a" içinince yapının daha düzenli

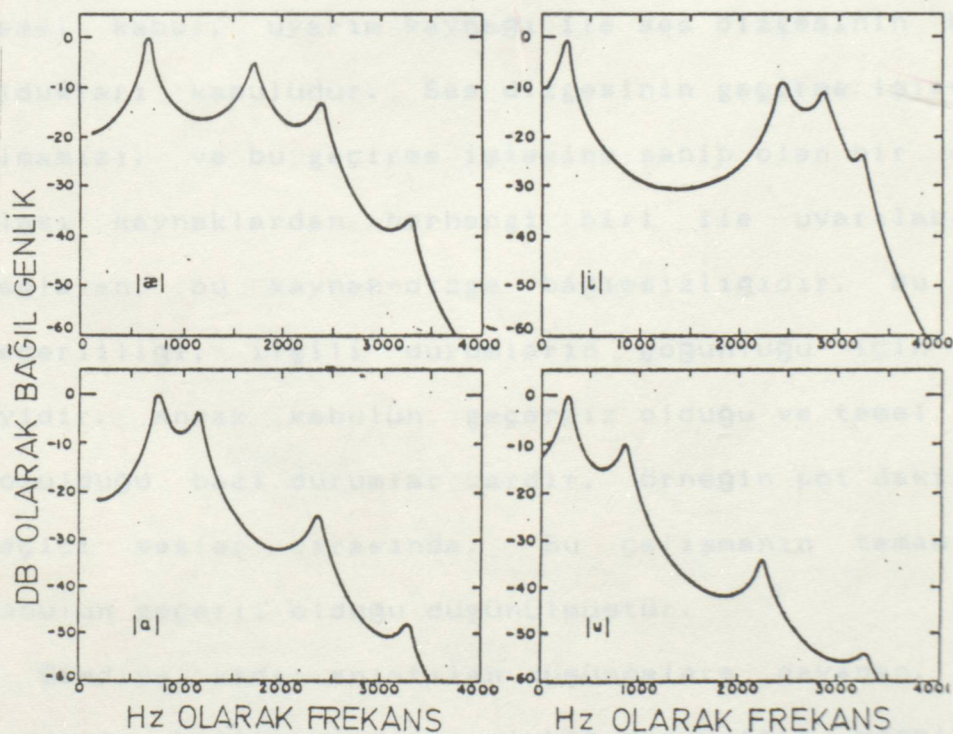


Şekil 2.2 Tipik sesli ve sessiz bölümler için kısa-süreli frekans görünümleri.

olmasının nedeni atım frekansıdır.

Ses dizgesi, típkı borulu bir orgda olduğu gibi, "formantlar" denilen çinlama frekanslarına sahiptir. Ses dizgesinin her değişik biçimini, değişik bir formant frekansları takımına karşılık gelir. Formantların zamanla değişimleri kadar bant genişlikleri ve frekansları da konuşmanın anlaşılabilirliği açısından son derecede önemlidir.

Şekil 2.3'de bazı sesli seslerin frekans görünümlerinin zarf eğrileri verilmiştir. Çinlamaların doğası bu çizimlerde açıkça görülmektedir. Bu noktada işitilen sesin belirlenmesinde, her ne kadar kabul edilebilir nitelikde sesler üretmek için daha yüksek frekanslı formantlar



Şekil 2.3 Bazı sesliler için frekans görünüesi zarf eğrileri (6).

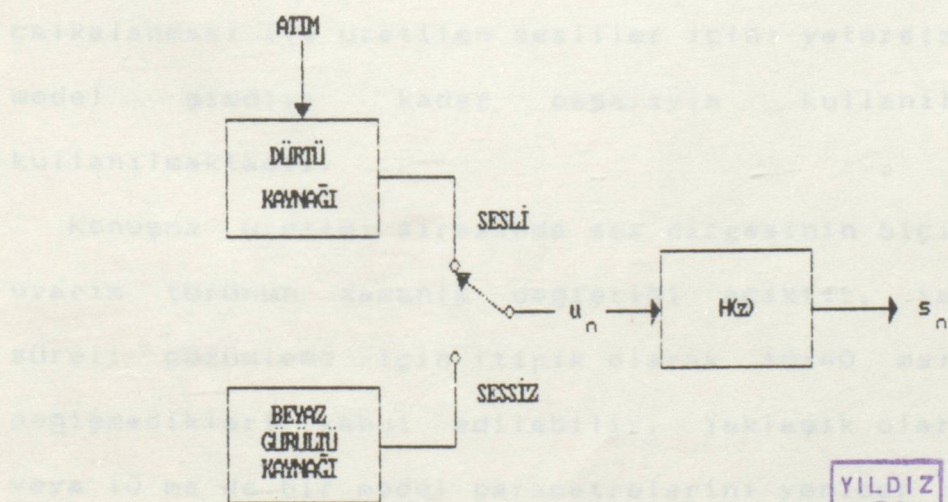
gerekli ise de, algısal açıdan sadece ilk üç formantın önemli olduğuna işaret etmek gerekir. Bu bulgu çeşitli konuşma bant genişliği sıkıştırma dizgelerinde kullanılan temel ilkedir.

Daha önce anlatıldığı gibi, ses dizgesi uyarımı için üç ana mod vardır. Sesli sesler için kaynak girtlaktadır ve ses tellerinin titreşmesi ile üretilen geniş bantlı, dönemli-benzeri hava darbelerinden oluşur. S gibi sessiz sesler için, kaynak kısıtlama noktasındadır ve çalkantılı, rastgele-benzeri hava akıtısından oluşur. Son olarak pop'daki p gibi sessiz sesler için, kaynak kapanma noktasındadır ve bu kapanma noktası arkasında biriktirilen hava basıncının aniden serbest bırakılması ile oluşur.

Hemen hemen bütün konuşma işleme dizgelerinde yapılan temel kabul, uyarım kaynağı ile ses dizgesinin bağımsız oldukları kabulüdür. Ses dizgesinin geçirme işlevini ele almamızı, ve bu geçirme işlevine sahip olan bir dizgenin olası kaynaklardan herhangi biri ile uyarılabilmesini sağlayan, bu kaynak-dizge bağımsızlığıdır. Bu kabulün geçerliliği, ilgili durumların çoğuluğu için oldukça iyidir. Ancak kabulün geçersiz olduğu ve temel modelin bozulduğu bazı durumlar vardır, örnegin pot'daki p gibi geçici sesler sırasında. Bu çalışmanın tamamında bu kabulün geçerli olduğu düşünülmüştür.

Şimdiye kadar anlatılan düşüncelere dayanan, oldukça başarılı basit bir sayısal konuşma üretim modeli Şekil 2.4'de görülmektedir. Bu model hala yaygın olarak

kullanılan en eski konuşma üretim modelidir. Model ses dizgesinin uyarım biçimlerini benzetimleyen iki uyarım kaynağı ile ses dizgesini benzetimleyen bir süzgeçten oluşur. Sesli seslerin üretimi için gerekli olan dönemli benzeri uyarım, atım dönemi imi ile denetlenen bir dönemli dürtü üreteci tarafından sağlanır. Sessiz seslerin üretiminde gerekli gürültü-benzeri uyarım ise bir rastgele sayı veya gürültü (beyaz gürültü) üreteci ile sağlanır. Bu gürültü üreticinin çıkışı sessiz sesler için hem rastgele benzeri çalkantıyı hem de basınç birikim dalga biçimini benzetimler. Uygun uyarım türü sesli/sessiz açkısı ile seçilir. Modeldeki $H(z)$ süzgeci ayrik, zamanla değişen doğrusal bir süzgectir. Bu süzgeç ses dizgesini benzetimlediğinden, süzgeç katsayıları sürekli konuşma sırasında bir bakıma ses dizgesini zamanın bir işlevi olarak ifade eder. Ses dizgesi biçiminin zamanla değişimlerinin bir duragan şekiller dizisi ile yeterli doğrulukla yaklaşılabilirliğini kabul edersek, ses



Şekil 24 Ayrık konuşma üretim modeli.



dizgesi için karmaşık z tanım kümesinde bir geçiş işlevi tanımlamak olasıdır. Bilindiği gibi doğrusal bir dizgenin geçiş işlevi her zaman kutup ve sıfırıları ile gösterilebilir. Burunsal olmayan sesli konuşma sesleri için ses dizgesinin geçiş işlevinin sıfırlarının olmadığı iyi bilinmektedir. Ses dizgesinin sessiz ve burunsal sesler için benzetimi çoğulukla ses dizgesinin kutupları kadar sıfırlarını da içерir. Sessiz ve burunsal sesler için ses dizgesinin geçiş işlevinin sıfırıları, z düzleminde birim çember içerisinde bulundugundan, geçiş işlevinin payındaki her çarpan paydasındaki katlı kutuplar ile yaklaşımınabilir. Ayrıca bir kutubun yeri algısal açıdan bir sıfırın yerinden daha fazla öneme sahiptir. Bu nedenierle ses dizgesi bir tüm-kutuplu (özbağışımı) sözgeç ile yeterli olarak benzetimlenebilir. Bu sözgeçin kararlı olması için, kutupları birim çemberin içerisinde olmalıdır. Her ne kadar bu basit sesli/sessiz düzenleme bir çok sesler için (örneğin "v" ve "z" gibi hava çalkalanması ile üretilen sesliler için) yetersiz ise de, model şimdide kadar başarıyla kullanılmış ve kullanılmaktadır.

Konuşma üretimi sırasında ses dizgesinin biçiminin ve uyarım türünün zamanla değiştiği açıkta, fakat kısa süreli çözümleme için (tipik olarak 10-40 ms) zamanla değişmedikleri kabul edilebilir. Yaklaşık olarak her 5 veya 10 ms'de bir model parametrelerini yeniden düzeltmek yeterlidir.

Yukarıda anlatılan modeli denetlemek için zamanın bir işlevi olarak uygun model parametrelerinin (atım dönemi, açkı konumu ve süzgeç katsayıları) bilinmesi gereklidir. Bu, yani gerçek konuşmadan uygun model parametrelerini kestirmek hemen hemen bütün konuşma çözümleme dizgelerinin amacıdır. Çoğu konuşma bireşimleme dizgelerinin amacı ise, herhangi bir uygun yöntem ile elde edilen bu parametreleri, algısal olarak gerçek imden ayırt edilemeyen bireşimlenmiş bir konuşma imi elde etmek için kullanmaktadır. Konuşma çözümleme-bireşimleme dizgelerinde bu iki problem şu iki amaçla birleşmiş durumdadır:

- 1) Etkinlik, yani bireşim dizgesinin bit oranını, alışılmış dalga biçimini gösterimleri için gerekli olanın altına indirmek ve böylece iletişimdeki bant genişliğini ve saklama dizgelerindeki bellegi küçük tutmak,
- 2) Esneklik, yani model parametrelerinin değiştirilmesi yoluyla, konuşmanın bazı istenilen tarzlarda nitelendirilmesini ve değiştirilmesini olası kılmak.

BÖLÜM 3. KONUSMA ÇÖZÜMLEMESİ için geçerli bir model

3.1 Doğrusal Öngörüm zaman dilimindeki öndeki veya

3.1.1 Giriş zaman dilimindeki öndeki veya

3.1.1.1 Genel Bakış zaman dilimindeki öndeki veya

Genel dinamik dizgelerin davranışlarının matematiksel olarak çözümlenmesi, bu yüzyılın başlangıcından beri bir ilgi alanıdır. Son yirmi yıldır, elektronik sayısal bilgisayarlar ortaya çıktığından beri problem giderek artan bir kuvvetle araştırılmaya başlanmıştır. Dinamik dizgelerin çıkışlarının çözümlenmesi, temel olarak istatistik, ekonomi ve iletişim alanlarında geliştirilmiş olan "zaman dizileri çözümlemesi"ne oldukça uygundur.

Bu kısımda zaman dizileri çözümleme yöntemlerinden biri olan doğrusal öngörüm, matematiksel katkılarından çok sezgisel bir yaklaşımla incelenmiştir.

3.1.1.2 Doğrusal Öngörüm zaman dilimindeki öndeki veya

Zaman dizileri çözümlemesi uygulamada kullanılır iken, çözümlemekte olan dizgenin çıkışındaki $s(t)$ sürekli-zaman imi ayrık-zamanlı bir $s(nT)$ imi elde etmek için örneklenir. $s(nT)$ imi zaman dizisi olarak da bilinir. Burada n bir tamsayı değişkeni ve T örnekleme aralığıdır. Buna göre örnekleme frekansı $f_s = 1/T$ dir. (Bundan sonraki kısımlarda $s(nT)$ 'yi s_n ile göstereceğiz.)

Zaman dizileri çözümlemesi şimdije kadar çogunlukla güç göründesi, çapraz-görünge, tutarlık işlevleri, özilişki ve çapraz-ilişki işlevleri kestiriminde kullanılmıştır. Son zamanlarda dizge modellemeye olan ilgi daha fazladır. Eğer

verilen bir imin davranışı için parametrik bir model geliştirilebilirse o zaman bulunan modelin öngörüm veya tahmin, denetim ve veri sıkıştırma gibi değişik uygulamalar için kullanılabileceği açıklıdır.

Hala kullanılan en güçlü modellerden birisi, verilen bir s_n iminin, girişine bilinmeyen bir u_n imi uygulanan ve giriş ile çıkışı arasında:

$$s_n = - \sum_{k=1}^p a_k s_{n-k} + G \sum_{l=0}^q b_l u_{n-l}, \quad b_0 = 1 \quad (1)$$

bağıntısı bulunan bir dizgenin çıkışı olarak düşünüldüğü modeldir. Burada $a_k, 1 \leq k \leq p, b_l, 1 \leq l \leq q$, ve G kazancı varsayılan dizgenin parametreleridir. (1) eşitliği s_n "çıkış"ının, geçmişteki çıkışlar ile şimdiki ve geçmişteki girişlerin doğrusal bir işlevi olduğunu ifade eder. Yani s_n imi geçmişteki çıkışlar ile girişin şimdiki ve geçmişteki değerlerinin doğrusal bileşimlerinden öngörelebilir. "Doğrusal Öngörüm" adının kaynağı da budur.

(1) eşitliği, her iki tarafının z dönüşümü alınmak yoluya frekans tanım kümesinde de ifade edilebilir. Şekil 2.4'de olduğu gibi dizgenin geçiş işlevi $H(z)$ ise, o zaman (1)'den:

$$H(z) = \frac{S(z)}{U(z)} = G \frac{1 + \sum_{l=1}^q b_l z^{-l}}{1 + \sum_{k=1}^p a_k z^{-k}} \quad (2)$$

buluruz. Burada

$$S(z) = \sum_{n=-\infty}^{\infty} s_n z^{-n} \quad (3)$$

s_n 'in z dönüşümü, ve $U(z)$ de u_n 'in z dönüşümüdür. (2)'deki $H(z)$ genel kutup-sıfır modelidir. Pay ve payda şokterimlilerinin kökleri, sırasıyla modelin sıfır ve kutuplarıdır.

Modelin oldukça önemli olan iki özel durumu vardır:

- 1) tüm-sıfır modeli: $a_k = 0, 1 \leq k \leq p$
- 2) tüm-kutup modeli: $b_l = 0, 1 \leq l \leq q$

Tüm-sıfır modeli istatistik literatüründe "moving average" (MA) modeli, ve tüm-kutup modeli de "autoregressive" (AR) modeli olarak bilinir. Bunlara bağlı olarak kutup-sıfır modeli de "autoregressive moving average" (ARMA) modeli olarak bilinir.

Bize sadece tüm-kutup modeli gerekli olduğundan diğer modeller ile ilgilenmeyeceğiz.

3.1.2 Parametre Kestirimi

3.1.2.1 Tüm-Kutup Modeli

Tüm-kutup modelinde s_n iminin, kendisinin geçmişteki değerleri ile bir u_n girişinin doğrusal bir bileşimi olarak verildiği kabul edilir:

$$s_n = - \sum_{k=1}^p a_k s_{n-k} + Gu_n \quad (4)$$

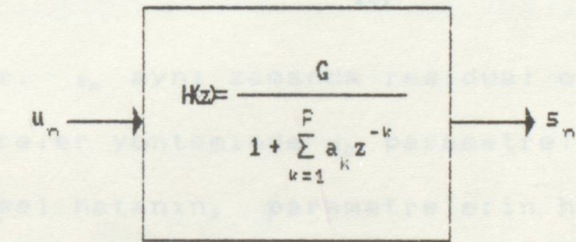
burada G bir kazanç çarpanıdır. Bu model Şekil 3.1.2'de zaman ve frekans tanım kümelerinde görülmektedir. (2)'deki $H(z)$ geçiş işlevi bu durumda bir tüm-kutup geçiş işlevine indirgenir.

$$H(z) = \frac{G}{1 + \sum_{k=1}^p a_k z^{-k}}. \quad (5)$$

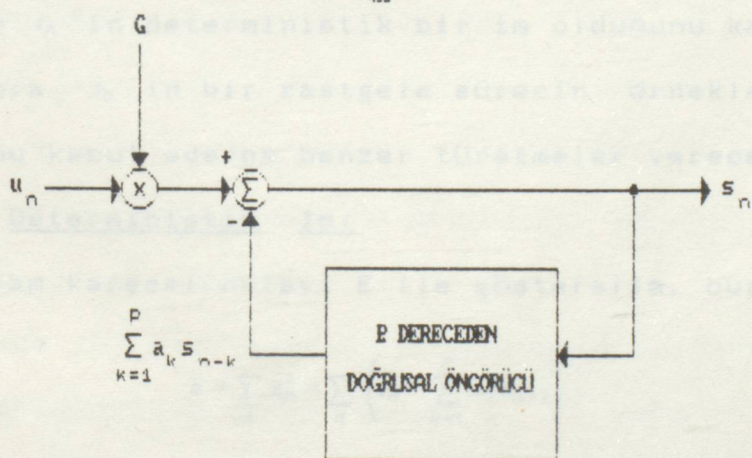
Burada u_n girişinin $H(z)$ formunda ifadesi, a_k 'lar ise EOC

Verilen belirli bir s_n imi için çözülmesi gereken problem a_k öngörücü katsayılarını ve G kazancını bir yöntem ile belirlemektir.

Türetmeler s_n 'in önce deterministik bir im olduğu ve sonra bir rastgele sürecin örneklerinden biri olduğu kabul edilip, sezgisel bir en küçük kareler yöntemi kullanılarak verilecektir.



(a)



(b)

Şekil 3.11 Ayrık türkütüp modeli

(a) Frekans tanım kümesinde

(b) Zaman tanım kümesinde.

3.1.2.2 En Küçük Kareler Yöntemi

Burada s_n girişinin bir çok uygulamalarda, Örnegin EEG çözümlemesinde, olduğu gibi hiç bilinmediğini kabul edeceğiz. Bu yüzden s_n imi geçmişteki örneklerin doğrusal olarak ağırlıklandırılmış bir toplamından sadece yaklaşık olarak öngörülebilir. s_n 'in bu yaklaşımı \tilde{s}_n olsun, burada

$$\tilde{s}_n = - \sum_{k=1}^p a_k s_{n-k}. \quad (6)$$

dir. Bu durumda gerçek değer s_n ile öngörülen değer \tilde{s}_n arasındaki hata

$$e_n = s_n - \tilde{s}_n = s_n + \sum_{k=1}^p a_k s_{n-k}. \quad (7)$$

ile verilir. e_n aynı zamanda residual olarak da bilinir. En küçük kareler yönteminde a_k parametreleri ortalama veya toplam karesel hatanın, parametrelerin her birine göre en küçültülmesinin bir sonucu olarak elde edilirler.

Once s_n 'in deterministik bir im olduğunu kabul edeceğiz ve sonra s_n 'in bir rastgele sürecin örneklerinden biri olduğunu kabul ederek benzer türetmeler vereceğiz.

1) Deterministik Im:

Toplam karesel hatayı E ile gösterelim, burada

$$E = \sum_n e_n^2 = \sum_n \left(s_n + \sum_{k=1}^p a_k s_{n-k} \right)^2. \quad (8)$$

dir. (8)'deki toplamanın sınırları ve s_n 'in bu sınırlar arasındaki tanımı önemlidir. Bununla beraber önce E'yi toplamanın sınırlarını belirtmeden en küçültelim. E,

$$\frac{\partial E}{\partial a_i} = 0, \quad 1 \leq i \leq p. \quad (9)$$

denklemi kurularak en küçültülür. (8) ve (9)'dan:

$$\sum_{k=1}^p a_k \sum_n s_{n-k} s_{n-i} = - \sum_n s_n s_{n-i}, \quad 1 \leq i \leq p. \quad (10)$$

eşitlik takımını elde ederiz. (10) eşitlikleri en küçük kareler terminolojisinde "normal eşitlikler" olarak bilinir. s_n iminin herhangi bir tanımı için, (10) bağıntısı, (8)'deki E'yi en küçülden öngörücü katsayıları $\{a_k, 1 \leq k \leq p\}$ için çözülebilecek olan p bilinmeyenli p eşitlikten meydana gelen bir takımı oluşturur. E_p ile göstereceğimiz en küçük toplam karesel hata, (8)'i açmak ve (10)'u (8)'de yerine koymakla elde edilir.

Sonucun

$$E_p = \sum_n s_n^2 + \sum_{k=1}^p a_k \sum_n s_n s_{n-k}. \quad (11)$$

olduğu gösterilebilir.

Şimdi (8), (10), ve (11)'deki n boyunca toplamaların sınırlarını belirleyeceğiz. Parametrelerinkestirimi için iki ayrı yöntem ullaşan iki önemli durum vardır.

a) Ozilişki Yöntemi:

Burada (8)'deki hatanın sonsuz süre boyunca, $-\infty < n < \infty$, en küçüldüğünü kabul edeceğiz. Bu durumda (10) ve (11) eşitlikleri

$$\sum_{k=1}^p a_k R(i-k) = -R(i), \quad 1 \leq i \leq p \quad (12)$$

$$E_p = R(0) + \sum_{k=1}^p a_k R(k) \quad (13)$$

eşitliklerine indirgenir, burada

$$R(i) = \sum_{n=-\infty}^{\infty} s_n s_{n+i} \quad (14)$$

s_n iminin özilişki işlevidir. $R(i)$ 'nin i 'nin bir çift işlevi, yani

$$R(-i) = R(i) \quad (15)$$

olduguna dikkat edin. $R(i-k)$ katsayıları bir özilişki matrisi oluşturduklarından dolayı bu yönteme özilişki yöntemi diyecegiz. Bir özilişki matrisi simetrik bir Toeplitz matrisidir. (Toeplitz matrisi her diyagonalı boyunca bütün elemanları eşit olan bir matristir.)

Uygulamada s_n imi sadece sonlu bir süre boyunca bilinir, veya im ile sadece sonlu bir süre boyunca ilgilendirilir. Yaygin bir yöntem s_n imini, $0 \leq n \leq N-1$ aralığı dışında sıfır olan başka bir im, s'_n , elde etmek için bir w_n pencere işleviyle çarpmaktır:

$$s'_n = \begin{cases} s_n w_n, & 0 \leq n \leq N-1 \\ 0, & \text{aksi halde} \end{cases} \quad (16)$$

Bu durumda özilişki işlevi

$$R(i) = \sum_{n=0}^{N-1-i} s'_n s'_{n+i}, \quad i \geq 0. \quad (17)$$

ile verilir. Pencere işlevi w_n 'in biçimi önemli olabilir.

Bu konuda ayrıntılı bilgi [2] ve [6]'da bulunabilir.

b) Çapraz Değişinti Yöntemi:

Özilişki yöntemine zıt olarak, burada (8)'deki E

hatasının sonlu bir süre boyunca, örneğin $0 \leq n \leq N$ -için en küçültüldüğünü kabul edeceğiz. Bu durumda (10) ve (11) eşitlikleri

$$\sum_{k=1}^p a_k \varphi_{ki} = -\varphi_{0i}, \quad 1 \leq i \leq p \quad (18)$$

$$E_p = \varphi_{00} + \sum_{k=1}^p a_k \varphi_{0k} \quad (19)$$

eşitliklerine indirgenir, burada

$$\varphi_{ik} = \sum_{n=0}^{N-1} s_{n-i} s_{n-k} \quad (20)$$

s_n iminin verilen aralıkdaki çaprazdeğişintisidir. (18)'deki φ_{ki} katsayıları bir çaprazdeğişinti matrisi oluşturur ve bu yüzden bu yönteme çaprazdeğişinti yöntemi diyeceğiz. φ_{ik} çaprazdeğişinti matrisinin simetrik, yani $\varphi_{ik} = \varphi_{ki}$. olduğu (20)'den kolaylıkla görülebilir. Bununla beraber özilişki matrisindeki gibi her diyagonal boyunca terimler eşit degildir. Bunun böyle olduğu (20)'den

$$\varphi_{i+1, k+1} = \varphi_{ik} + s_{-i-1} s_{-k-1} - s_{N-1-i} s_{N-1-k} \quad (21)$$

yazmakla görülebilir. Ayrıca (21)'e dikkat edilirse s_n iminin $-p \leq n \leq N-1$ için değerlerinin, yani toplam $p+N$ örneğin bilinmesi gerektiği anlaşıılır. Çaprazdeğişinti yöntemi, aralığın sınırları sonsuza doğru götürüldüğünde özilişki yöntemine indirgenir.

2) Rastgele İm:

Eğer s_n iminin bir rastgele sürecin örneklerinden biri olduğu kabul edilirse, bu durumda (7)'deki e_n hatalı da bir rastgele sürecin örneklerinden biri olur. En küçük

kareler yönteminde hatanın karesinin beklenen değerini en küçültürüz. Buna göre

$$E = \mathbb{E}(e_n^2) = \mathbb{E}\left(s_n + \sum_{k=1}^p a_k s_{n-k}\right)^2. \quad (22)$$

dir. (9)'u (22)'ye uygulayarak normal eşitlikler elde ederiz:

$$\sum_{k=1}^p a_k \mathbb{E}(s_{n-k} s_{n-i}) = -\mathbb{E}(s_n s_{n-i}), \quad 1 \leq i \leq p. \quad (23)$$

Bu durumda en küçük ortalama hata

$$E_p = \mathbb{E}(s_n^2) + \sum_{k=1}^p a_k \mathbb{E}(s_n s_{n-k}). \quad (24)$$

ile verilir. (23) ve (24)'deki beklenen değerlerin alınması s_n sürecinin durاقan olup olmadığını bağımlıdır.

a) Durاقan Hal:

Durاقan bir s_n süreci için

$$\mathbb{E}(s_{n-k} s_{n-i}) = R(i - k) \quad (25)$$

alabiliriz, burada $R(i)$ sürecin özilişkisidir. Bu durumda (23) ve (24) eşitlikleri sırasıyla (12) ve (13)'e özdəş eşitliklere indirgenir. Buradaki tek fark özilişkinin, deterministik bir imin yerine durاقan bir sürecin özilişkisi olmasıdır. Durاقan (ve ergodik) bir süreç için özilişki bir zaman ortalaması olarak hesaplanabilir. $R(i)$ 'nin bilinen sonlu bir s_n iminden kestirimi için literatürde değişik yaklaşımalar önerilmektedir.

b) Durاقan Olmayan Hal:

Durاقan olmayan bir s_n süreci için

$$\mathbb{E}(s_{n-k} s_{n-i}) = R(n - k, n - i) \quad (26)$$

alabiliriz, burada $R(t, t')$, t ile t' anıları arasındaki duragan olmayan özilişkidir. $R(n - k, n - i)$, zaman indeksi n 'in bir işlevidir. Genel olarak a_k parametrelerinin kestirimimiyle $n=0$ anında ilgilendigimizi kabul edecegiz. Bu durumda (23) ve (24) eşitlikleri

$$\sum_{k=1}^p a_k R(-k, -i) = -R(0, -i) \quad (27)$$

$$E_p' = R(0, 0) + \sum_{k=1}^p a_k R(0, k). \quad (28)$$

eşitliklerine indirgenir. s_n iminden duragan olmayan özilişki katsayılarının kestiriminde, duragan olmayan süreçlerin ergodik olmadığını ve bu yüzden bütün ortalamanın bir zaman ortalaması ile yer degistiremeyeceğine dikkat ediniz. Bununla beraber duragan olmayan süreçlerin, bölgesel duragan süreçler diye bilinen belli bir sınıfı için özilişki işlevini, zamandaki bir noktaya göre kısa-süreli bir ortalama olarak kestirmek mantıklıdır. Bölgesel duragan olduğu kabul edilebilen duragan olmayan süreç örnekleri konușma ve EEG imleridir.

Duragan haldekine benzer bir tarzda, $R(-k, -i)$ 'yi (20)'deki φ_k ile kestirimleriz. Duragan olmayan özilişki için bu yaklaşımı kullanmak, (27)'deki a_k parametreleri için deterministik haldeki çaprazdeğişinti yönteminde (18) ile verilene eşdeğer bir çözüm verir.

Duragan bir im için: $R(t, t') = R(t - t')$ olduğundan (27) ve (28) normal eşitlikleri (12) ve (13)'e indirgenir.

3) Kazanç Hesabı:

En küçük kareler yönteminde girişin bilinmediğini kabul ettigimizden dolayı G kazancı için bir değer belirlemek fazla anlamılı değildir. Bununla birlikte, yapılabilecek bazı ilginç incelemeler vardır.

(7) eşitliği

$$s_n = - \sum_{k=1}^p u_k s_{n-k} + e_n. \quad (29)$$

şeklinde yeniden yazılabilir. (4) ile (29)'u karşılaştırırsak, çıkış olarak s_n imini verecek olan tek un giriş iminin $Gu_n = e_n$ eşitliğini sağlayan u_n giriş imi olduğunu görürüz. Yani giriş imi hata imi ile orantılıdır. Başka herhangi bir u_n giriş'i için Şekil 3.1.1'deki $H(z)$ süzgecinin çıkışı s_n den farklı olacaktır. Bununla birlikte eğer, u_n giriş'i ne olursa olsun çıkış iminin enerjisinin özgün s_n imininkine eşit olması gerektiği koşulunu getirirsek o zaman hiç olmazsa giriş imindeki toplam enerjiyi belirleyebiliriz. Buna göre, $H(z)$ süzgeci sabit olduğundan Gu_n giriş imindeki toplam enerjinin, kullanılan yönteme bağlı olarak (13) veya (19)'daki E_p ile verilen hata imindeki toplam enerjiye eşit olması gereği açıklıktır.

Özellikle önemli olan iki giriş tipi: deterministik dürtü ve duragan beyaz gürültüdür. Bu iki girişin her biri için $H(z)$ süzgecinin tepkesini sınayarak tüm-kutup modelinin zaman tanım kümesi özelliklerini daha iyi kavrayacağız. Daha sonra giriş kazancı bir özilişki

çözümlemesinin bir yan ürünü olarak belirlenecektir.

a) Dürtü Girişisi:

Tüm-kutuplu $H(z)$ süzgecine giriş olarak $n=0$ 'daki bir dürtü veya birim örnek uygulansın, yani $u_n = \delta_{n0}$ olsun, burada δ_{nm} Kronecker delta'sıdır. Bu durumda $H(z)$ süzgecinin çıkışı h_n dürtü tepkesidir, burada

$$h_n = - \sum_{k=1}^p a_k h_{n-k} + G\delta_{n0}. \quad (30)$$

dir.

h_n dürtü tepkesinin özilişkisi $\hat{R}(i)$ ile s_n iminin özilişkisi $R(i)$ arasında ilging bir bağıntı vardır. (30)'u h_{n-i} ile çarparak tüm n boyunca toplamını alalım. Sonucun:

$$\hat{R}(i) = - \sum_{k=1}^p a_k \hat{R}(i-k), \quad 1 \leq |i| \leq \infty \quad (31)$$

$$\hat{R}(0) = - \sum_{k=1}^p a_k \hat{R}(k) + G^2. \quad (32)$$

olduğu gösterilebilir. Yukarıda getirdigimiz koşula göre h_n deki toplam enerji s_n dekine eşit olmalıdır, buna göre sıfırinci özilişki katsayısı imdeki toplam enerjiye eşit olduğundan

$$\hat{R}(0) = R(0) \quad (33)$$

almalıyız. (33)'den ve (12) ile (31) arasındaki benzerlikden

$$\hat{R}(i) = R(i), \quad 0 \leq i \leq p. \quad (34)$$

sonucuna ulaşırız. Bu sonuç $H(z)$ 'in dürtü tepkesinin ilk $p+1$ özilişki katsayısının, imin karşılık gelen özilişki katsayılarına özdeş olduğunu ifade eder. Buna göre

Özilişki yöntemiyle doğrusal öngörüm problemi, yeni bir tarzda şöyle ifade edilebilir: (5)'deki $H(z)$ 'in biçiminde öyle bir sözgeç bulun ki dörtü tepkesinin özilişkisinin ilk $p+1$ değeri, im özilişkisinin ilk $p+1$ değerine eşit olsun ve (31)'i sağlamasın.

(32), (34), ve (13)'e göre kazanç için

$$G^2 = E_p = R(0) + \sum_{k=1}^p u_k R(k) \quad (35)$$

yazılabilir, burada G^2 , girişimindeki toplam enerjidir.

b) Beyaz Gürültü Girişisi:

Burada u_n girişinin, sıfır ortalamalı ve birim değişintili, yani tüm n değerleri için $E(u_n) = 0$ ve $E(u_n u_m) = \delta_{nm}$ olan, ilişkisiz örneklerden bir dizi (beyaz gürültü) olduğunu kabul edeceğiz. Sözgemin çıkışını s_n ile gösterelim. Sabit bir $H(z)$ sözgeci için s_n çıkışını duran bir rastgele süreci oluşturur:

$$\hat{s}_n = - \sum_{k=1}^p a_k \hat{s}_{n-k} + Gu_n. \quad (36)$$

(36)'yı \hat{s}_{n-i} ile çarparak beklenen değerleri alalım. u_n ile \hat{s}_{n-i} 'nin $i > 0$ için ilişkisiz olduğunu göz önüne alarak sonucun (31) ile (32)'ye özdeş olduğu gösterilebilir, burada $\hat{R}(i) = E(\hat{s}_n \hat{s}_{n-i})$, \hat{s}_n çıkışının özilişkisidir. Bu yüzden (31) ile (32) tüm-kutuplu bir rastgele süreci de tam olarak belirler. (31) eşitlikleri istatistik literatüründe Yule-Walker eşitlikleri olarak bilinir.

Rastgele hal için sn çıkışının ortalama enerjisi (veya değişintisi) özgün sn iminin değişintisine eşit olmalıdır veya sıfır-ortalamalı bir rastgele sürecin sıfırıncı özilişkisi değişintisine eşit olduğundan $\hat{R}(0) = R(0)$ olmalıdır. Önceki kısımda verilene benzer bir düşünce tarzı ile (34) ile (35)'in rastgele hal için de geçerli oldukları sonucuna ulaşırız.

Yukarıda gösterilenlerden, tüm-kutuplu bir süzgeçin çıkışının özilişki katsayıları arasındaki bağıntıların, giriş tek bir dürtü de olsa beyaz gürültü de olsa aynı olduğunu anlarız. Bu, her iki tip giriş de özdeş özilişkilere ve tabi özdeş düz görünmeye sahip olduklarıdan beklenen bir sonuçtır. Deterministik dürtü ile istatiksel beyaz gürültü arasındaki bu ikilik şapşırtıcıdır. Bu ikiliğin kullanışılılığı konuşma sürecinin Şekil 2.4'deki gibi modellenmesinde çarpıcı bir şekilde ortaya çıkar. Bu modellemede hem beyaz gürültü hem de birim dürtüler konuşma bireşimleme için gerçekten kullanılır.

3.1.2.3 Öngörücü Parametrelerinin Hesabı

1) Tek Adımda Çözüm Yöntemleri:

Doğrusal öngörümün önceki bölümde verilen her iki formülasyonunda $a_k, 1 \leq k \leq p$ öngörücü katsayıları, p bilinmeyenli p eşitliğinden oluşan bir denklem takımını çözerek hesaplanabilir. Bu eşitlikler özilişki yöntemi (duragan hal) için (12) ve çaprazdeğişinti yöntemi (duragan olmayan hal) için (18)'dir. Gerekli hesaplamaları

yapmak için çeşitli standart yöntemler vardır, Örneğin Gauss veya Crout indirgeme yöntemleri gibi. Bununla beraber (12) ile (18)'e dikkat edilirse her iki haldeki katsayılar matrisi birer çaprazdeğişinti matrisidir. Çaprazdeğişinti matrisleri simetrik ve, uygulamada çögünlükla pozitif belirli oldukları halde genelde pozitif yarıbelirliidirler. Bu yüzden (12) ve (18) denklem takımları, karekök veya Cholesky ayrışım yöntemiyle daha etkin olarak çözülebilir. Bu yöntem, genel yöntemlerdeki hesaplama ve saklama bellegi gereksinimlerinin yaklaşık yarısına gerek gösterir. Bu yöntemin sayısal kararlılık özellikleri iyi bilinmektedir; yöntemin bütünüyle kararlı olduğu kabul edilebilir.

(12)'deki özilişki normal eşitliklerinin çözülmesinde, bu eşitliklerin özel biçimlerinden dolayı, saklama bellegi ve hesaplama zamanında daha fazla indirgeme yapmak olanaklıdır. (12) eşitliği matris biçiminde

$$\begin{bmatrix} R_0 & R_1 & R_2 & \cdots & R_{p-1} \\ R_1 & R_0 & R_1 & \cdots & R_{p-2} \\ R_2 & R_1 & R_0 & \cdots & R_{p-3} \\ \vdots & \vdots & \vdots & \ddots & \vdots \\ \vdots & \vdots & \vdots & \vdots & \vdots \\ R_{p-1} & R_{p-2} & R_{p-3} & \cdots & R_0 \end{bmatrix} \begin{bmatrix} a_1 \\ a_2 \\ a_3 \\ \vdots \\ \vdots \\ a_p \end{bmatrix} = - \begin{bmatrix} R_1 \\ R_2 \\ R_3 \\ \vdots \\ \vdots \\ R_p \end{bmatrix}. \quad (37)$$

olarak açılabılır. $p \times p$ 'lik özilişki matrisinin simetrik ve her diyagonal boyunca elemanlarının aynı olduğunu (yani bir Toeplitz matrisi olduğuna) dikkat edin. Levinson bu

tip bir eşitliği gözlemek için üstün bir yinelemeli işlem türermiştir. Bu işlem daha sonra Robinson tarafından yeniden formüle edilmiştir. Levinsonun yöntemi (37)'nin sağ tarafındaki sütun vektörün genel bir sütun vektör olduğunu kabul eder. Bu sütun vektörün, özilişki matrisindekiler ile aynı elemanları içerdigi gerçeginin kullanımının sağlanmasıyla, Durbin'e atfedilen, Levinsonunkinin iki katı kadar hızlı başka bir yöntem ortaya çıkar. Durbin'in yinelemeli işlemi aşağıdaki gibi tanımlanabilir:

$$E_0 = R(0) \quad (38a)$$

$$k_i = - \left[R(i) + \sum_{j=1}^{i-1} a_j^{(i-1)} R(i-j) \right] / E_{i-1} \quad (38b)$$

$$a_i^{(i)} = k_i \quad (38c)$$

$$a_j^{(i)} = a_j^{(i-1)} + k_i a_{i-j}^{(i-1)}, \quad 1 \leq j \leq i-1$$

$$E_i = (1 - k_i^2) E_{i-1}. \quad (38d)$$

(38b)-(38d) eşitlikleri $i=1, 2, \dots, p$ için yinelerek çözülür. Son çözüm

$$a_j = a_j^{(p)}, \quad 1 \leq j \leq p. \quad (38e)$$

ile verilir. $p.$ dereceden bir öngörücü için çözümün elde edilmesinde, gerçekte derecesi p 'den küçük olan bütün öngörüler için de çözümlerin hesaplandığına dikkat edilmelidir.

Bütün özilişki katsayıları bir sabit ile çarpılırsa (37)'nin çözümü degişmez. Özellikle bütün $R(i)$ 'ler $R(0)$ ile bölünerek normalize edilirse, normalize edilmiş

Özilişki katsayıları olarak bilinen $r(i)$:

$$r(i) = \frac{R(i)}{R(0)} \quad (39)$$

'leri elde ederiz. Bu katsayılar $|r(i)| \leq 1$ özelligine sahiptir.

(38)'deki çözümün bir yan ürünü, her adımda en küçük toplam hata E_i 'nin hesaplanmasıdır. En küçük hata E_i 'nin öngörüğünün derecesi artarken azaldığı (veya aynı kaldığı) kolaylıkla gösterilebilir. Doğal olarak, E_i karesel bir hata olduğundan hiç bir zaman negatif olmaz. Bu yüzden,

$$0 \leq E_i \leq E_{i-1}, \quad E_0 = R(0). \quad (40)$$

almalıyız. Eğer özilişki katsayıları (39)'daki gibi normalize edilirse o zaman en küçük hata E_i de $R(0)$ ile bölünmüş olur. Böylece ortaya çıkan büyülüge normalize edilmiş hata V_i :

$$V_i = \frac{E_i}{R(0)} = 1 + \sum_{k=1}^i a_k r(k). \quad (41)$$

diyecegiz. (40)'a göre

$$0 \leq V_i \leq 1, \quad i \geq 0. \quad (42)$$

olduğu açıktır.

Ayrıca (38d) ile (41)'e göre, son normalize edilmiş hata V_p

$$V_p = \prod_{i=1}^p (1 - k_i^2). \quad (43)$$

dir. $k_i, 1 \leq i \leq p$ ara büyükleri yansıma katsayıları olarak bilinir. İstatistik literatüründe ise kısmi ilişki katsayıları olarak bilinirler. ki, s_n ile, $s_{n+1}, \dots, s_{n+i-1}$

sabitlerini içeren sn+i arasındaki (negatif) kısmi ilişki olarak yorumlanabilir. "Yansıma katsayısı" ifadesinin kullanımı iletim hatları kuramından gelir. Bu kurama göre ki, impedansları Z_i ve Z_{i+1} olan iki bölüm arasında bulunan sınırdaki yansıma katsayıları olarak düşünülebilir. Bu durumda ki

$$k_i = \frac{Z_{i+1} - Z_i}{Z_{i+1} + Z_i}. \quad (44)$$

ile verilir. Buna göre $H(z)$ geçiş işlevinin, impedans oranları (44)'e göre

$$\frac{Z_{i+1}}{Z_i} = \frac{1+k_i}{1-k_i}, \quad 1 \leq i \leq p. \quad (45)$$

olan bu bölümlerden oluşan bir dizinin geçiş işleviyimiş gibi düşünülebilir. Aynı açıklama, farklı impedanslı bölgeler veya kalın dilimlerden oluşan bir diziden meydana gelen bir ortamda normal doğrultusunda düzlem dalga iletiminin olduğu herhangi bir yer için de verilebilir. Eşit kalınlık p bölmenden oluşan akustik bir tüp için, impedans oranları ardışık kesit alanlarının ters orantısına indirgenir. Bu gerçek konuşturma çözümlemesinde son zamanlarda kullanılmaya başlanmıştır.

2) Sonuca Adım-Adım Yaklaşan Çözümler:

Takım halindeki doğrusal eşitlıkların çözümlenmesi için, tek adımda çözüm yöntemlerinden başka sonuca adım-adım yaklaşan bir kaç yöntem vardır. Bu yöntemlerde çözümlemeye, çözüm için bir ilk tahmin yapılarak başlanır. Bundan sonra çözüm, çoğunuyla bazı hata ölçütlerinin

değişim ölçülerine dayanan bir düzeltme terimi eklerek güncellenir. Genel olarak, adım-adım yaklaşmalı yöntemler, istenilen bir yakınsaklık derecesini gerçekleştirmek için tek adımda çözüm yöntemlerinden daha fazla hesaplama gerektirirler. Bununla beraber bazı uygulamalarda çoğu kez, sadece bir kaç adımda çözüme ulaşabilen iyi bir ilk tahmin vardır. Bu, eğer eşitlik sayısı fazla ise tek adımda çözüm yöntemlerine göre büyük bir tutum sağlayabilir. Adım-adım yaklaşmalı yöntemlerin bazıları değişim ölçüsü yöntemi, en dik iniş yöntemi, Newton yöntemi, birleşik değişim ölçüsü yöntemi ve stokastik yaklaşım yöntemidir.

Şimdiye kadar, çözümlenecek olan imin bütünüyle elimizde olduğunu kabul ettik. Bazı gerçek-zamanlı uygulamalar için hesaplamaları im geliyor iken yapmayı mümkün kilmak yararlıdır. Çözümün, imin her yeni gözlemine dayanılarak güncellendiği uyarlamalı düzenler vardır. Bu düzenlerde güncelleme, çogunlukla yeni gözlem ile o anki çözümün verdiği öngörülümsüz değer arasındaki fark ile orantılıdır. Uyarlamalı işlemler için diğer bir uygulama, çözümün bütün veri çözümlenmeden önce kısa sürede yakınsayabileceği çok uzun veri kayıtlarının işlenmesindedir.

3) Süzgeç Kararlılığı:

$H(z)$ 'in kararlılığını sınamak için kullanılabilecek bir yöntem, bütün ardışık hataların pozitif olup olmadığını denetlemektir. Gerçekte $Ei > 0,1 < i < p$ koşulu $H(z)$ 'in

kararlılığı için gerek ve yeter koşuldur. (38d) ile (40)'a göre $H(z)$ 'in kararlılığı için eşdeğer bir koşulun

$$|k_i| < 1, \quad 1 \leq i \leq p. \quad (46)$$

olduğu açıklıdır. Bu yüzden (38)'deki yinelemeli işlem $H(z)$ süzgecinin kararlılığının denetlenmesini de kolaylaştırır. Kararlılık ile ilgili daha ayrıntılı bilgiler [2]'de bulunabilir.

3.1.2.4 En İyi Kutup Sayısı:

Tüm-kutuplu modellerin uygunlaştırılmasında, çoğulukla kutup sayısı için bir "en iyi" değerin belirlenmesi gereklidir. Buradaki "en iyi" kelimesini tanımlamak öneksiz bir iş değildir. Modelin uygunluğu, kutupların sayısı p artarken "iyileşir". Problem nerede durulacağıdır. Hem hesaplamayı azaltmak hem de kötü-şartlanma [2], olasılığının en küçültmek için p'nin en küçük değerini istediğimiz açıklıdır.

Eğer im görünlesi p_0 kutuplu bir tüm-kutuplu görünse, o zaman $V_p = V_{p_0}, p > p_0$ ve $k_p = 0, p > p_0$ 'dır, yani hata eğrisi $p > p_0$ için düz kalır. Bu yüzden eğer im görünnesinin tüm-kutuplu bir görünse olmasını bekliyorsak, en iyi p'yi elde etmek için basit bir yol, hata eğrisinin düz olduğu anı gözlemlemektir. Ancak modellenen im, beyaz gürültü ile uyarılan p_0 -kutuplu bir süzgeçin çıkışını ise, o zaman önerilen yol işe yaramayacaktır, çünkü model parametrelerinin kestirimi veri noktalarının sonlu bir sayısına dayandığından hata eğrisi $p > p_0$ için düz kalmayacaktır. Bununla birlikte uygulamada hata eğrisi

p>p₀ için hemen hemen düz kalır. Bu, aşağıdaki eşik sinamasının kullanılması düşüncesini verir

$$1 - \frac{V_{p+1}}{V_p} < \delta. \quad (47)$$

Bu sinama hata eğrisinin gerçekten düzelmış olduğundan emin olmadan önce eşitlik ardışık değerler için gerçeklenmelidir.

En iyi p'nin belirlenmesi için literatürde önerilen diğer bir yol, ortalama log-olasılığın kestiriminde kullanılan bir enformasyon kuramı Ölçütüne dayanmaktadır.

Bu ölçüt

$$I(p) = -2 \log(\text{en büyük olasılık}) + 2p \quad (48)$$

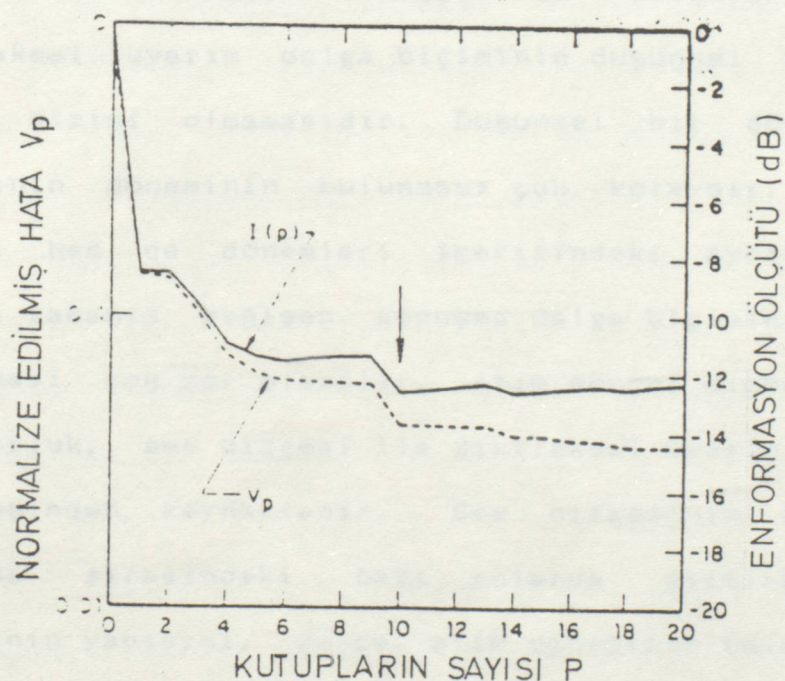
ile verilir. p'nin I(p)'yi en küçük yapan değeri en iyi değer olarak alınabilir. Tüm-kutuplu modelleme probleminde, eğer imin Gaussian olasılık dağılımına sahip olduğu kabul edilirse, o zaman (48) eşitliği (toplamsal sabitler ihmal edilip N ile bölünerek)

$$I(p) = \log V_p + \frac{2p}{N_e} \quad (49)$$

eşitliğine indirgenir. Bu eşitlikdeki N_e imdeki veri noktalarının etkin sayısıdır. "Etkin" kelimesi, pencereleme yapılmış olması halinde dengeliye yapılması gerektiğini belirtmek için kullanılmıştır. Bir pencerenin etkin genişliği, o pencerenin enerjisinin aynı genişlikteki bir dikdörtgen pencerenin enerjisine olan oranı ile belirlenir. Örneğin Hamming penceresi için N_e=0.4 N'dır.

Dikkat edilirse (49)'daki ilk terim p 'nin bir işlevi olarak azalırken ikinci terim artar. Bu yüzden $I(p)$ 'nin en küçük olduğu bir p değeri vardır. Uygulamada, çogunlukla bir kaçı yerel en küçük ortaya çıkar. Bu durumda $I(p)$ 'nin mutlak en küçüğüne karşılık gelen p değeri en iyi değer olarak alınır. Genellikle $I(p)$ ilgili en büyük değere kadar (güvenli bir kestirim için $p_{max} < 3N^{1/2}$ alınması önerilmektedir) hesaplanır ve $I(p)$ 'nin en küçüğü bu bölge içinde bulunur.

Sekil 3.1.2'de (48)'deki enformasyon ölçütü ile yapılmış bir uygulama örneği görülmektedir [2]. Noktalı eğri alıştırılmış hata eğrisidir. Birleşik eğri ise, (49)'daki $I(p)$ 'nin, $10 \log_{10} e$ ile çarpılarak DB'e çevirildikten sonraki çizimidir. Ok ile işaretli $p=10$ noktası, $I(p)$ 'nin en küçük olduğu en iyi p değeridir.



Sekil 3.1.2 (49)'daki $I(P)$ 'nin p ile değişimi [2].

3.2 Atım Bulma

3.2.1 Giriş

Atım Bulucu, konuşma işleme dizgelerinin temel bileşenlerinden birisidir. Konuşmanın atım yapısı, konuşma üretimi için uyarım kaynağının doğası ile ilgili çok önemli bilgiler sağlamasından başka konuşmacı tanıma ve işaretme engellilerin konuşma ile eğitimi için çok kullanışlıdır. Ayrıca konuşmanın atım yapısının bilīmesi, hemen hemen bütün konuşma çözümleme-bireşimleme (vocoder) dizgelerinde bir gereklilikdir. Atım bulmanın öneminden dolayı, konuşma işleme literatüründe çok çeşitli atım bulma algoritmaları geliştirilmiştir.

3.2.1.1 Atım Bulmadaki Sorunlar

Konuşma iminin atım döneminin akustik dalga biçiminden doğru ve güvenli olarak ölçümü, çeşitli nedenlerle, çoğu zaman son derecede zordur. Bu nedenlerden birisi girtlaksal uyarım dalga biçiminin düşünsel bir dönemli darbe dizisi olmamasıdır. Düşünsel bir dönemli dalga biçiminin döneminin bulunması çok kolaydır, ancak hem dönemi hem de dönemleri içerisindeki ayrıntılı dalga biçimini zamanla değīen, konuşma dalga biçiminin döneminin ölçülmesi çok zor olabilir. Atım dönemi ölçümedeki ikinci bir zorluk, ses dizgesi ile girtlaksal uyarım arasındaki etkileşimden kaynaklanır. Ses dizgesinin formantları, konuşma sırasındaki bazı anlarda girtlaksal dalga biçiminin yapısını, gerçek atım döneminin bulunmasını çok zorlaştıracak şekilde, aşırı olarak değīstirebilir. Böyle

etkileşimler genellikle en çok, konuşma belirleyicilerin, formantların da hızla değişmesine neden olan hızlı haraketleri sırasında atım bulunmasını kötü yönde etkiler. Güvenilir atım ölçümündeki üçüncü bir sorun, sesli konuşma bölmeleri sırasındaki her atım döneminin tam başlangıç ve bitişinin tanımlanmasındaki doğal zorluktur. Atım döneminin tam başlangıç ve bitiş yerlerinin seçimi çoğu kez bütünüyle keyfidir. Atım bulmadaki dördüncü bir zorluk sessiz konuşma ile düşük-seviyeli sesli konuşma arasındaki ayırımı güçlüdür. Coğu hallerde, sessiz konuşma bölmeleri ile düşük-seviyeli sesli konuşma bölmeleri arasındaki geçişler çok belirsizdir ve bu yüzden yerlerini kesin olarak belirlemek çok zordur.

3.2.1.2 Atım Bulucu Türleri

Atım ölçmelerindeki sayısız zorlukların bir sonucu olarak, çok sayıda karmaşık atım bulma yöntemleri geliştirilmiştir. Atım bulucu, temel olarak sesli-sessiz ayırımı yapan, ve sesli konuşma dönemleri sırasında atım döneminin ölçümünü veren bir aygittir. Bununla beraber bazı atım bulma algoritmaları sadece, sesli konuşma bölmeleri sırasında atım belirler ve sesli-sessiz ayırımını diğer bazı yöntemlere bırakırlar. Atım bulma algoritmaları, kabaca aşağıdaki üç yaygın sınıfa ayrılabilir.

- 1) Konuşma imlerinin, yoğunlukla zaman tanım kümesi özelliklerini kullananlar.
- 2) Konuşma imlerinin, yoğunlukla frekans tanım kümesi

Özelliklerini kullananlar.

3) Konuşma imlerinin hem zaman hem de frekans tanım kümesi özelliklerini kullananlar.

Zaman tanım kümesi atım bulucuları, atım döneminin kestirmek için doğrudan doğruya konuşma dalga biçimini üzerinde işlem yaparlar. Bu atım bulucuları için en sık yapılan ölçümler tepe ve çukur ölçümleri, sıfır-geçiş ölçümleri, ve özilişki ölçümleridir. Bütün bu hallerde yapılan temel kabul, eğer dönemli-benzeri bir im, formant yapısının etkilerini en küçültmek için uygun bir şekilde işlenmiş ise, bu durumda basit zaman tanım kümesi ölçümlerinin atım döneminin iyi bir kestirimini vereceği kabulüdür.

Frekans tanım kümesi sınıfı atım bulucuları, imin zaman tanım kümesinde dönemli olması halinde frekans göründesinin, ana frekans ve harmoniklerindeki dürtülerden oluşan bir diziden meydana gelmesi özelliğini kullanırlar. Bu yüzden imin atım döneminin kestirmek için frekans göründesi (veya kepstral atım bulucuda olduğu gibi frekans göründesinin doğrusal olmayan dönüştürülmüş bir türü) üzerinde basit ölçümler yapılabilir.

Karma atım bulucuları sınıfı zaman tanım kümesi ve frekans tanım kümesi atım bulma yaklaşımının özelliklerini birleştirir. Örneğin karma bir atım bulucu göründesel olarak düzeltilmiş bir zaman dalga biçimini sağlamak için frekans tanım kümesi yöntemlerini, ve daha sonra atım döneminin kestirmek için de özilişki ölçümlerini

kullanabilir. Sonra da Sondhi'nin

3.2.2 Atım Bulma Algoritmaları

Yaygın olarak kullanılan atım bulma algoritmalarından bazıları şöyle sıralanabilir:

- 1) Kenetleme kullanan değiştirilmiş özilişki yöntemi (AUTOC).
- 2) Kepstrum yöntemi (CEP).
- 3) Basitleştirilmiş ters süzme yöntemi (SIFT).
- 4) Veri indirgeme yöntemi (DARD).
- 5) Koşut işleme yöntemi (PPROC).
- 6) Newton dönüşümü kullanan LPC görungesel eşitleme yöntemi (LPC).
- 7) Ortalama büyülüük fark işlevi (AMDF).

Bu çalışmada atım bulma için AUTOC yöntemi kullanılmıştır. Bu yüzden sadece bu yöntemi incelemekle yetineceğiz.

3.2.3 Değiştirilmiş Özilişki Yöntemi (AUTOC)

Daha önce de söylendiği gibi, atım döneminin bulunmasındaki en büyük sorunlardan birisi, girtiaksal uyarım ile ses dizgesi arasındaki etkileşimden kaynaklanır. Bu yüzden güvenli bir atım bulma için formantların etkisinin çok zayıflatılması veya olaklı ise bütünüyle giderilmesi sağlanmalıdır. Bu işlem görungesel düzeltme adı verilir. Sondhi [5], bu işlemi gerçekleştirmek için iki yöntem tasarlamıştır: Süzgeç topluluğu yöntemi ve merkez kenetleme yöntemi.

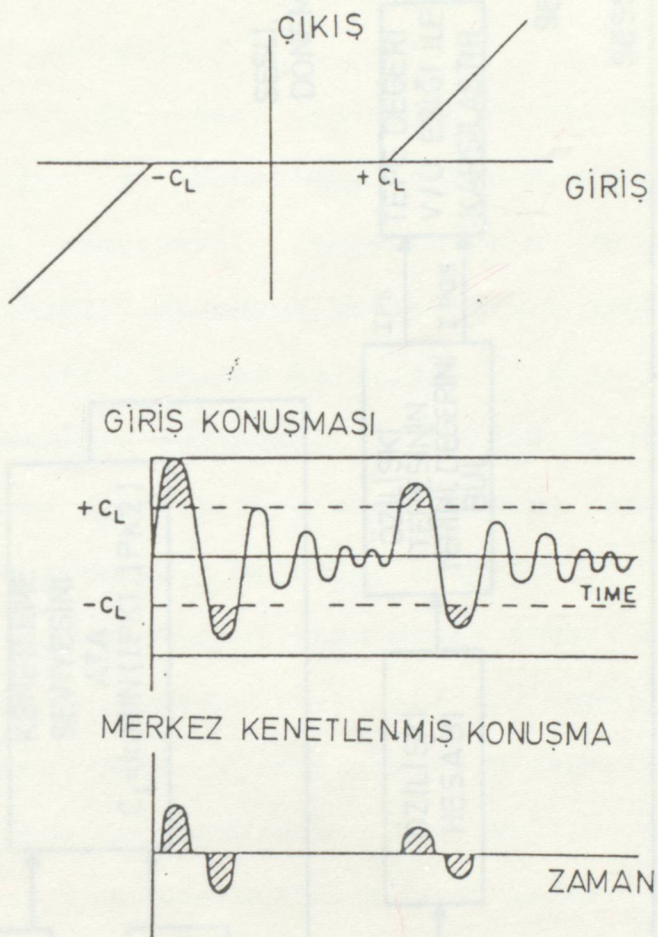
Değiştirilmiş Özilişki atım bulucusu Sondhi'nin merkez

kenetleme yöntemine dayanır. Şekil 3.2.1'de Sondhi'nin yönteminde kullanılan merkez kenetleyicinin giriş-çıkış işlevi ve tipik çalışma örneği görülmektedir. Bu kenetleyici girişindeki imin, kenetleme seviyesinin altında kalan değerlerini sıfıra eşitlemeyecektir ve kenetleme seviyesinin üzerinde kalan değerlerini ise kenetleme seviyesi kadar sıfıra doğru kaydırmaktadır. Şekil 3.2.1'den de görülebileceği gibi, eğer kenetleme seviyesi uygun olarak ayarlanırsa, konuşma dalga biçiminde formantların etkisiyle ortaya çıkan bileşenlerin bütünüyle giderilmesi olanaklıdır. Bu yüzden merkez kenetleyici, çıkışında göründgesel olarak etkin bir şekilde düzeltilmiş bir im verir.

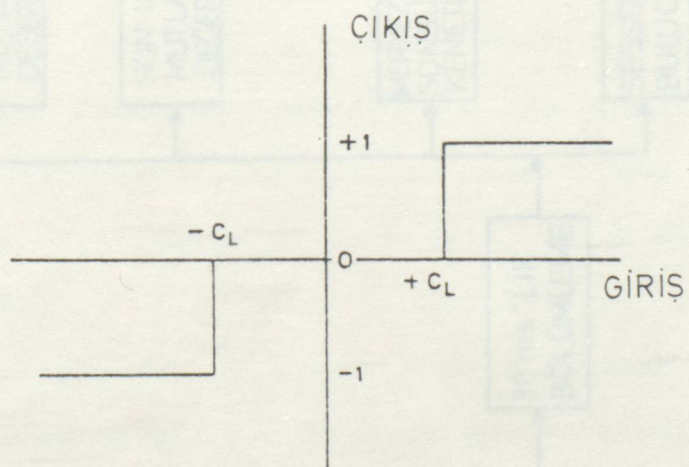
Değiştirilmiş Özilişki yönteminde, Özilişki hesaplarını kolaylaştırmak için merkez kenetlemesiyle birlikte sonsuz tepe kenetlemesi de kullanılır. Böylece ortaya çıkan kenetleyicinin giriş-çıkış işlevi Şekil 3.2.2'de verilmiştir.

Değiştirilmiş Özilişki algoritmasının blok çizgesi Şekil 3.2.3'de görülmektedir. Bu yöntem, girişine uygulanan konuşma iminin 900 Hz'lik bir AGS'den geçirilmesini gerektirir. (AGS olarak 99-noktalı, doğrusal fazlı, FIR tipi bir sayısal süzgeç kullanılır.)

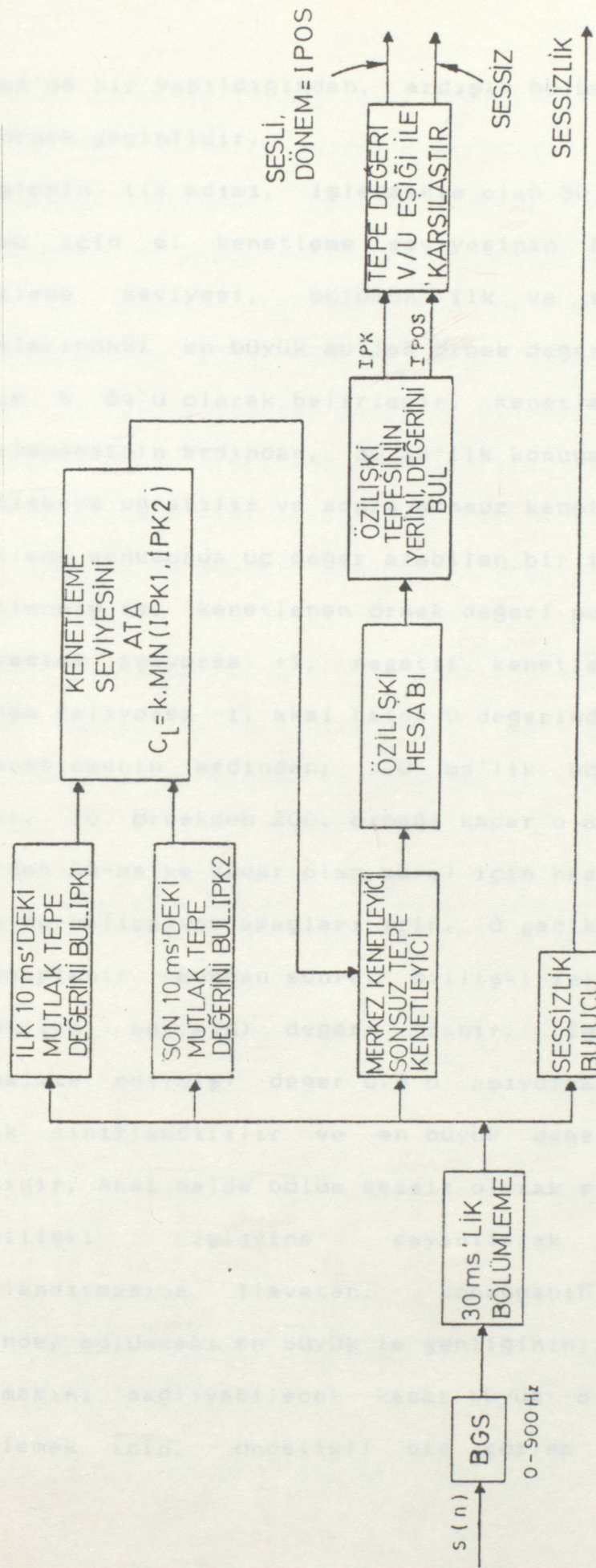
AGS'den geçirilen konuşma imi, 10 kHz'lik örneklem oranında sayısallaştırılır ve işlenmek üzere 30-ms'lik (300 örneklik) geçişli böülümlere ayrılır. Atım dönemi hesabı bütün atım bulucularında saniyede 100 kez, yanı her



Şekil 3.2.1 Merkez kenetleyicinin giriş-çıkış karakteristiği ve tipik çalışması [4], [5].



Şekil 3.2.2 Merkez kenetleyici, sonsuz tepe kenetleyici bileşiminin giriş=çıkış karakteristiği [4].



Sekil 3.2.3 AUTOC atım bulucunun blok çizgesi (3), (4)

10 ms'de bir yapıldığından, ardışık bölgüler 20 ms veya 200 örnek geçişlidir.

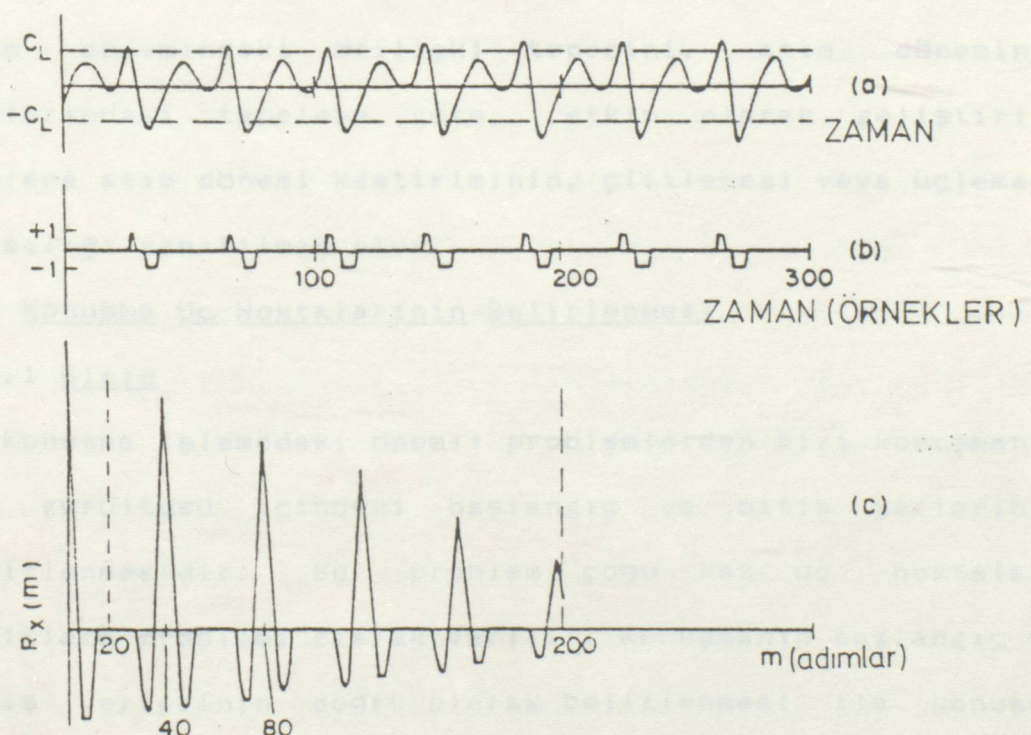
İşlemin ilk adımı, işlenmekte olan 30 ms'lik konuşma bölümü için cl kenetleme seviyesinin hesaplanmasıdır. Kenetleme seviyesi, bölümün ilk ve son 10 ms'lik kısımlarındaki en büyük mutlak örnek değerlerinden küçük olanın % 64'ü olarak belirlenir. Kenetleme seviyesinin belirlenmesinin ardından, 30 ms'lik konuşma bölümü merkez kenetlemeye ugratılır ve sonra sonsuz kenetleme uygulanır. Kenetleme sonucunda üç değer alabilen bir im ortaya çıkar. Kenetlenmiş im, kenetlenen örnek değeri pozitif kenetleme seviyesini aşıyorsa +1, negatif kenetleme seviyesinin altında kalıyorsa -1, aksi halde 0 değerindedir.

Kenetlemenin ardından, 30 ms'lik bölümün özilişki işlevi, 20. Örnekden 200. Örneğe kadar olan adımlar (yani 2-ms'den 20-ms'ye kadar olan süre) için hesaplanır. Ayrıca uygun normalizasyon amaçları için, 0 gecikmedeki özilişki de hesaplanır. Bundan sonra, özilişki işlevinin en büyük (normalize edilmiş) değeri aranır. Eğer en büyük (normalize edilmiş) değer 0.3'ü aşıyorsa, bölüm sesli olarak sınıflandırılır ve en büyük değerin yeri atım dönemidir. Aksi halde bölüm sessiz olarak sınıflandırılır.

Özilişki işlevine dayanılarak sesli-sessiz sınıflandırmamasına ilaveten, konuşmanın her bölümü üzerinde, bölümdeki en büyük im genliğinin, atım hesabının yapılmasını saglıyabilecek kadar büyük olup olmadığını belirlemek için, öncelikli bir gözlem yapılır. Eğer

bölümdeki en büyük im genliği, verilen bir eşliğin altında ise, bölüm sessizlik olarak sınıflandırılır ve hiç bir atım hesabı uygulanmaz. Sessizlik eşiği olarak, genellikle konuşmadaki en büyük mutlak im değerinin $1/15$ 'i seçilir. Sessizlik eşiği, 50 veya 100 ms'lik bir sessizlik kayıdındaki en büyük mutlak örnek değeri olarak da alınabilir. Bu çalışmada, sezgisel olarak daha güvenli bir sessizlik eşiği vereceği düşüncesiyle, sessizlik eşiği için yukarıdaki iki yoldan iki ayrı değer bulunmuş ve sonra bunların aritmetik ortalaması sessizlik eşiği olarak kullanılmıştır.

Şekil 3.2.4'de tipik bir 30 ms'lik konuşma bölümü için işleme örneği verilmiştir [4]. En üstte, AGS'den geçirilmiş dalga biçimi ve bu örnek için hesaplanmış +-CL



Şekil 3.2.4 Kenetlenmiş konuşma örneği ve özilişki işlevi (4).

kenetleme seviyeleri görülmektedir. Ortada kenetlenmiş konuşma, ve en altında da kenetlenmiş konuşmanın özilişki işlevi görülmektedir. Atım döneminin çoğunlukla bulunduğu saha, $m=20$ ile $m=200$ 'deki noktalı düşey hatlar ile gösterilmiştir. Bu örnek için, bölümün atım dönemi yaklaşık 40 örnek, veya 4 ms'dir. Bu da 250 Hz'lik bir atım frekansına karşılık gelir.

Özilişki işlevinin hesaplanmasıında, işlenmekte olan 30 ms'lik bölümün dışındaki örneklerin sıfır kabul edildigine dikkat edilmelidir. Bu kabul, özilişki işlevinin, $m=0$ 'da 1'den başlayıp $m=300$ 'de 0'a giden, doğrusal bir azalma ile ile etkin bir şekilde ağırlıklanmasına neden olur. Bu etki, özilişki işlevinin tepelerinin doğrusal olarak sıfıra doğru azadığı Şekil 3.2.4'de açıkça görülmektedir. Özilişki işlevi üzerinde doğrusal bir azalmanın kullanımı, atım dönemindeki özilişki tepesini, atım döneminin katlarındaki tepeiere göre, etkin olarak geliştirir. Böylece atım dönemi kestiriminin, çiftlemesi veya üçlemesi olasılığı azaltılmış olur.

3.3 Konuşma Uç Noktalarının Belirlenmesi

3.3.1 Giriş

Konuşma işlemedeki önemli problemlerden biri konuşmanın fon gürültüsü içindeki başlangıç ve bitiş yerlerinin belirlenmesidir. Bu problem çoğu kez uç noktaları belirieme problemi olarak verilir. Konuşmanın başlangıç ve bitiş yerlerinin doğru olarak belirlenmesi ile konuşma verisi işleme tutarı, önemli değerlerde azaltılabilir.

Ayrıca konuşma tanıma gibi, bazı konuşma işleme uygulamaları, tanımları geregi uç noktaları probleminin çözülmesini gerektirirler.

Konuşmayı fon gürültüsünden ayırma işi, yüksek nitelikli kayıtların yapılabildiği son derecede yüksek im-gürültü oranı, örneğin yankısız bir bölme veya ses geçirirmeyen bir oda gibi akustik çevreler dışında önemsiz bir iş degildir. Böyle yüksek im-gürültü oranı çevrelerde, en düşük seviyeli konuşma seslerinin (örneğin, gücsüz sessizler, düşük seviyeli sesli kısımlar, v.b. gibi) enerjisi bile fon gürültüsü enerjisini aştıgından, uç noktalarının belirlenmesi için basit bir enerji ölçümü yeterli olur. Bununla birlikte, böyle düşünsel kayıt koşulları, konuşma işleme dizgelerinin gerçekteki uygulamaları için kullanışlı değildir. Bu yüzden basit enerji ölçümleri, gücsüz sessizleri (örneğin "four" 'daki /f/ gibi) fon gürültüsünden ayırmak için yeterli değildir. Bu çalışmada konuşma başlangıç ve bitişini belirlemek için, im-gürültü oranı en az 30 DB olan hemen hemen her çevrede iyi sonuç veren, oldukça basit bir algoritma [7], kullanılmıştır. Bu algoritma konuşma üzerinde yapılan iki ölçüme dayanmaktadır. Bu ölçümler kısa-süreli enerji ve sıfır geçiş oranı ölçümleridir. Algoritma, karar verme ölçütleriyle ilgili olan bütün eşik değerlerini, doğrudan doğruya kayıt edilen süre üzerinde yapılan ölçümlerden elde ettiginden, akustik çevreye bir dereceye kadar kendi kendini uydurma

özelligine sahiptir.

3.3.2 Üç Noktalarının Belirlenmesindeki Sorunlar

Üç noktalarının belirlenmesinde zorluklar ile karşılaşılan durumları aşağıdaki gibi sınıflandırabiliriz.

- (1) Konuşmanın başlangıç veya bitişindeki gücsüz sessizler (/f, th, h/).
- (2) Gücsüz patlayıcı (veya basınç birikimli) sesler (/p, b, k/).
- (3) Konuşma sonlarındaki burunsallar.
- (4) Kelime bitişlerindeki seslendirilmemiş sesli sessizler.
- (5) Bazı sesli seslerin, kelime bitişlerindeki kesimleri, örneğin "three" (/th-r-i/) veya "binary" (/b-ai-n-e-r-i/) kelimelerindeki sondaki /i/ sesi bazen sessiz olur.

Konuya ilgili açıklayıcı bilgiler [7]'de bulunabilir.

3.3.3 Üç Noktaları Belirleme Algoritması

Bu çalışmada kullanılan algoritma iki basit ölçüm dayanmaktadır. Bu ölçümler enerji ve sıfır geçiş oranı ölçümüleridir. Enerji ve sıfır geçiş oranı ölçümleri, hem kolaydır hem de hızlı olarak yapılabilir. Bu iki ölçüm konuşmanın varlığı veya yokluğu ile ilgili oldukça doğru (aynı zamanda da korunumlu) bilgiler verebilir.

Algoritmayı açıklamaya geçmeden önce, enerji ve sıfır geçiş oranının nasıl ölçüldüğünü tanımlayacağız. Konuşma "enerjisi" $E(n)$, konuşmanın 10 ms'lik bölümlerindeki örnek büyülüklerinin, ölçüm aralığına merkezlenen toplamı

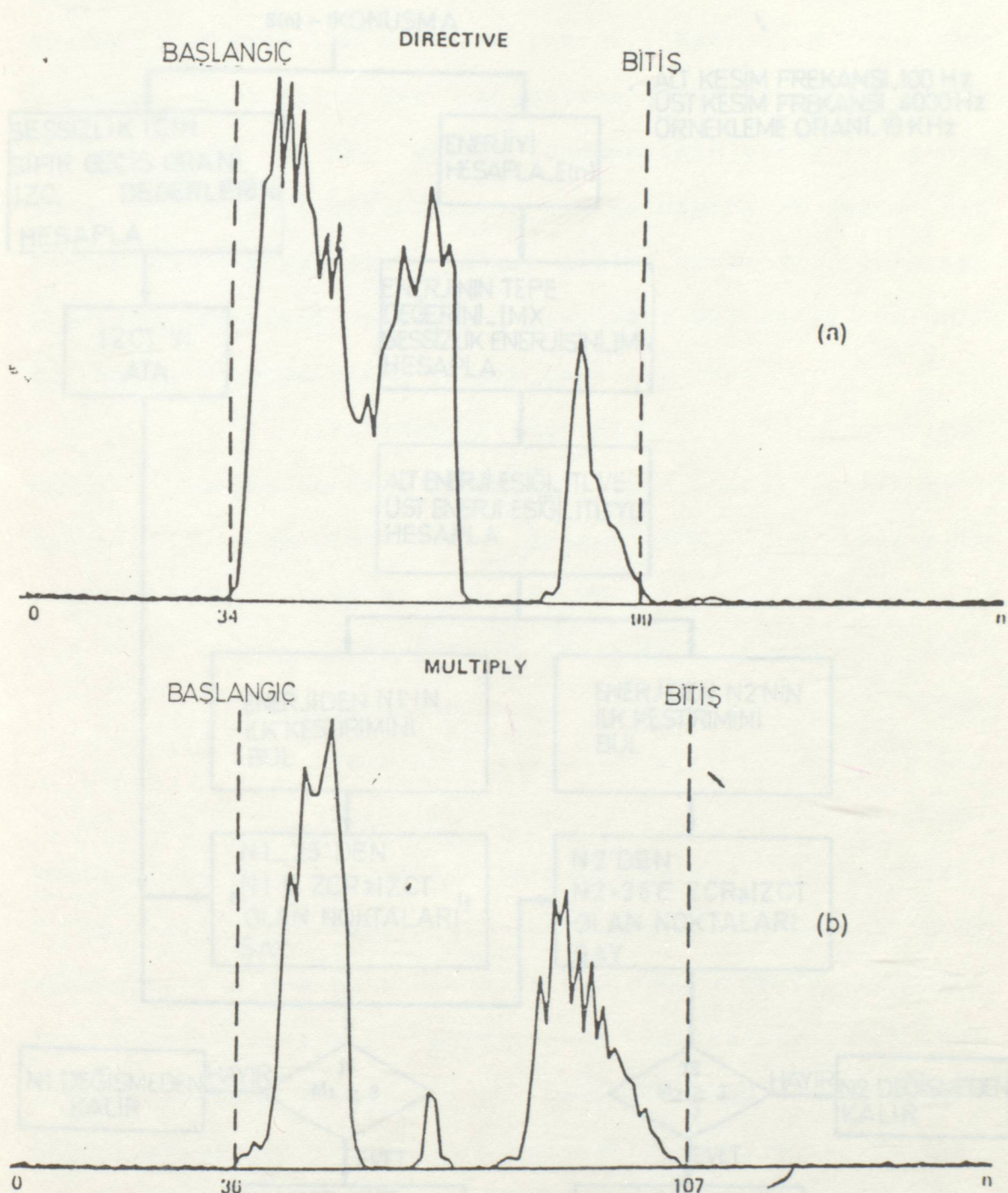
olarak tanımlanır, yani

$$E(n) = \sum_{i=-50}^{50} |s(n+i)|, \quad (50)$$

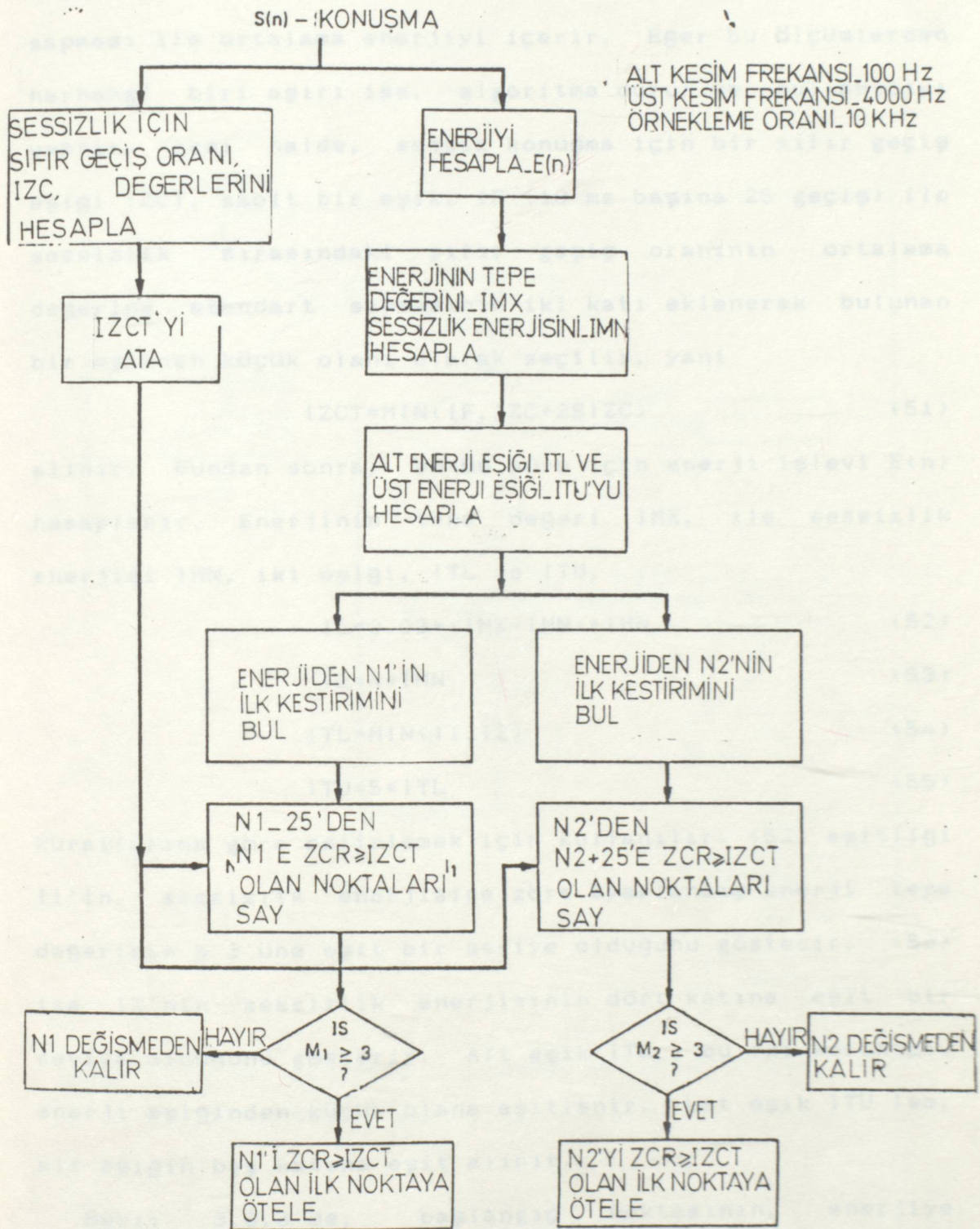
dir. Burada $s(n)$, 10 kHz'de örneklendiği düşünülen konuşma örnekleridir. Enerji hesabı için 10 ms'lik bir pencerenin alınmasının ve karesel büyülüğün yerine doğrudan büyülüğün kullanılmasının nedeni, hesaplamaların tamsayılarla yapılmasını olası kılmak ve böylece hesaplama hızını artttırmaktır. Ayrıca, doğrudan büyülüğün kullanılması, büyük-genlikli konuşma değişimlerinin önemini azaltır ve daha düzeltilmiş bir enerji işlevi verir. Şekil 3.3.1'de "directive" ve "multiply" kelimeleri için tipik enerji işlevleri görülmektedir [7]. (Bu kelimelerin başlangıç ve bitisi bu enerji çizimleri üzerinde işaretlenmiştir.) Bu örnek için enerji işlevi her 10 ms'de bir, veya saniyede 100 kez hesaplanmıştır.

Konuşmanın sıfır (seviye) geçiş oranı $z(n)$, 10 ms süre başına sıfır (seviye) geçiş sayısı olarak tanımlanır. Sıfır geçiş oranı 50-Hz'lik hum gürültüsü, dc kayma, v.b.'den çok etkilendiği halde, sessiz seslerin varlığı veya yokluğu için çoğu kez oldukça iyi bir ölçütür.

Şekil 3.3.2'de uç noktaları belirleme algoritmasının akış çizeneği görülmektedir. Konuşma dalga biçimini 10 kHz'de örneklemeden önce, alt kesim frekansı 100 Hz, üst kesim frekansı 4000 Hz, ve kenar eğimi 48 DB/octave olan bir AGS'den geçirilir. Kayıt süresinin ilk 100 ms'si sırasında konuşmanın olmadığı kabul edilir. Bu yüzden, bu



Sekil 3.3.1 "Directive" ve "Multiply" kelimeleri için tipik enerji eğrileri [7].



Sekil 3.3.2 Uç noktaları bulma algoritmasının akış çizeneği (7).

süre sırasında fon gürültüsünün istatistikleri ölçülür. Bu ölçümler, sıfır geçiş oranının ortalama ve standart sapması ile ortalama enerjiyi içerir. Eğer bu ölçümlerden herhangi biri aşırı ise, algoritma durur ve kullanıcıyı uyarır. Aksi halde, sessiz konuşma için bir sıfır geçiş eşiği IZCT, sabit bir eşik, IF (10 ms başına 25 geçiş) ile sessizlik sırasındaki sıfır geçiş oranının ortalama değerine standart sapmasının iki katı eklenecek bulunan bir eşikden küçük olana olarak seçilir, yani

$$IZCT = \text{MIN}(IF, IZC + 2SIZC) \quad (51)$$

alınır. Bundan sonra, bütün süre için enerji işlevi $E(n)$ hesaplanır. Enerjinin tepe değeri IMX, ile sessizlik enerjisi IMN, iki eşiği, ITL ve ITU,

$$I1 = 0.03 * (IMX - IMN) + IMN \quad (52)$$

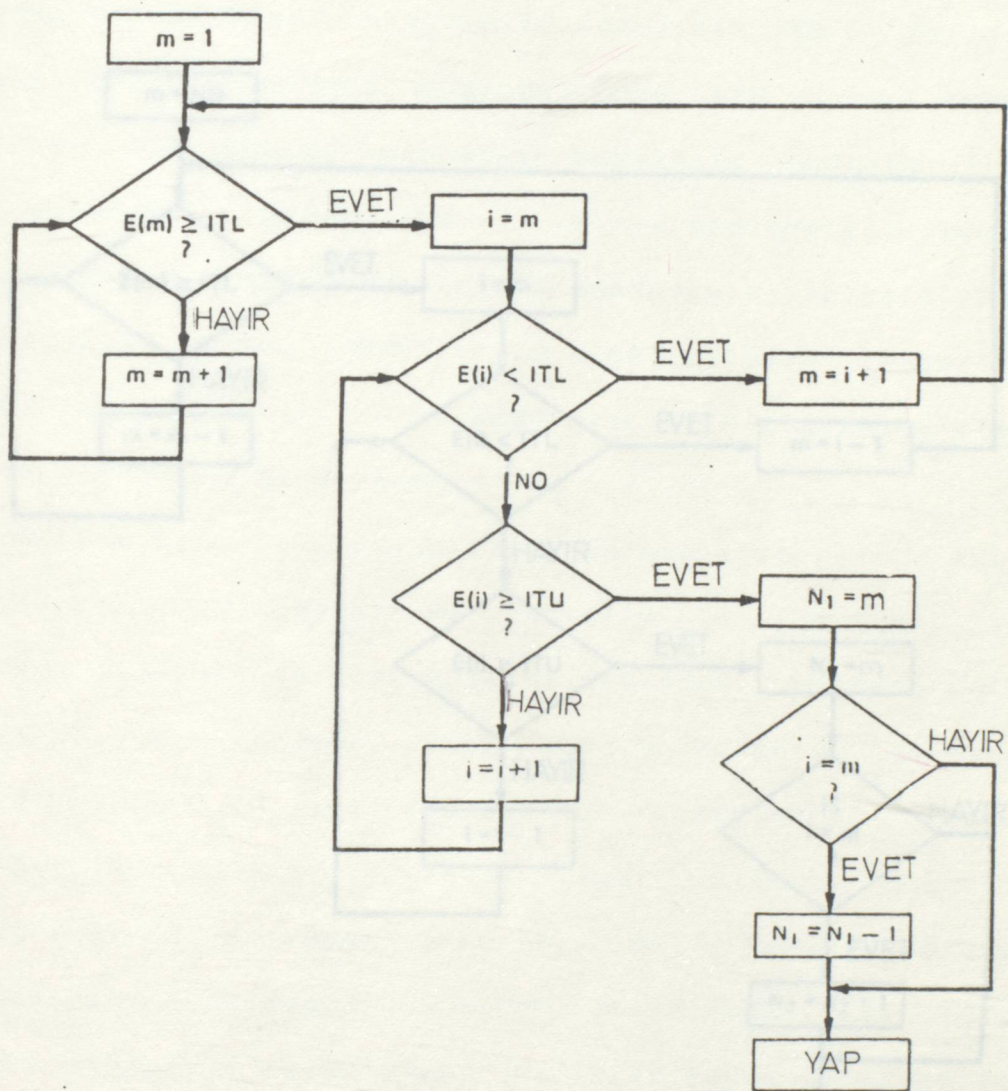
$$I2 = 4 * IMN \quad (53)$$

$$ITL = \text{MIN}(I1, I2) \quad (54)$$

$$ITU = 5 * ITL \quad (55)$$

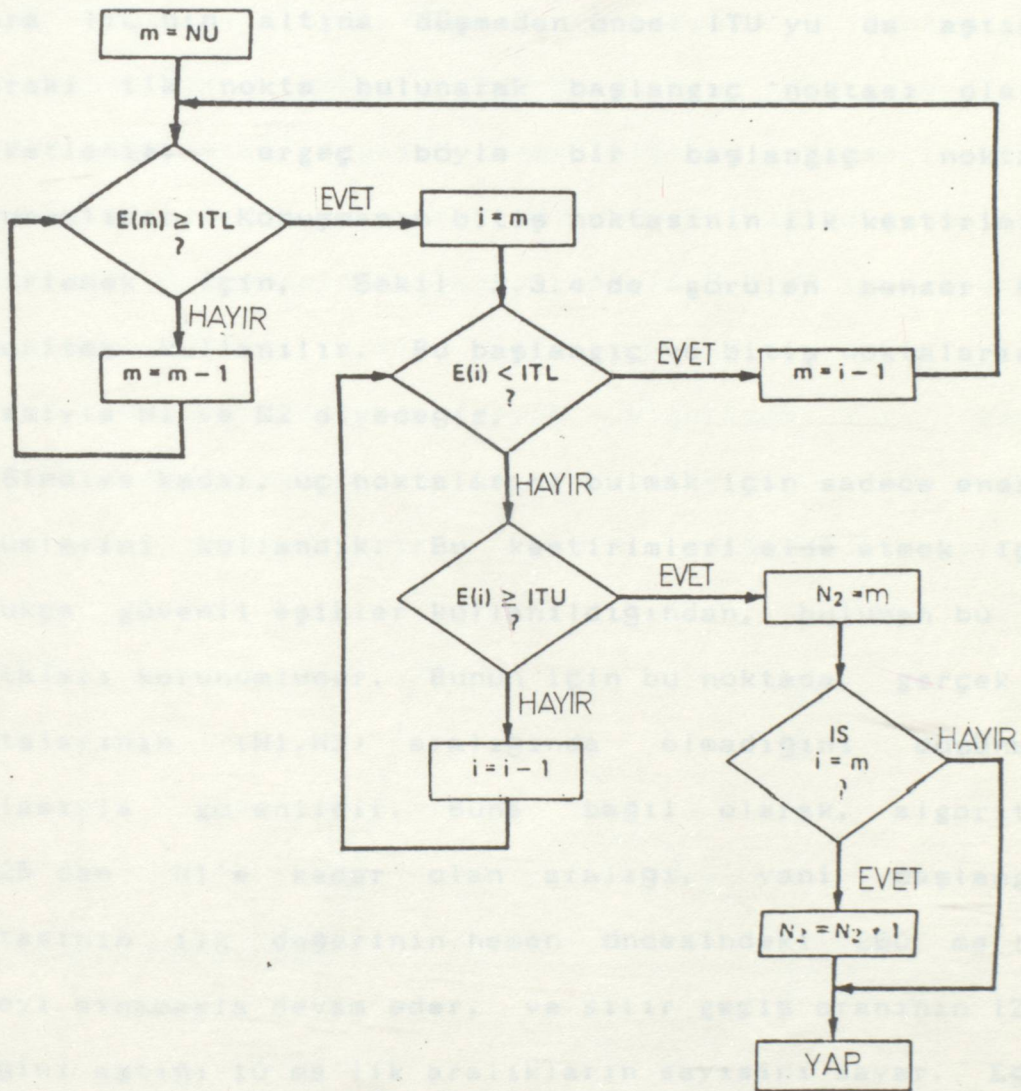
kurallarına göre belirlemek için kullanılır. (52) eşitliği $I1$ 'in, sessizlik enerjisine göre ayarlanmış enerji tepe değerinin % 3'üne eşit bir seviye olduğunu gösterir. (53) ise $I2$ 'nin sessizlik enerjisinin dört katına eşit bir seviye olduğunu gösterir. Alt eşik ITL, bu iki korunumlu enerji eşigidinden küçük olana eşitlenir. Üst eşik ITU ise, alt eşigin beş katına eşit alınır.

Sekil 3.3.3'de, başlangıç noktasının, enerjiye dayanılarak ilk kestirimi için bir algoritma görülmektedir. Bu algoritma, enerji işlevinin, kayıt



Sekil 3.3.3 Enerjiye dayanılarak başlangıç noktasının ilk kestirimi için akış çizeneği [7].

İlk kez $m = N_2$ olur. Bu durumda $E(m) \geq ITL$ ise, bu nedenle $N_2 = m$ olur. $i = m$ olur. $E(i) < ITL$ ise, bu nedenle $m = i - 1$ olur. $E(i) \geq ITL$ ise, bu nedenle $N_2 = m$ olur. $i = i - 1$ olur. $i = m$ ise, bu nedenle $N_2 = N_2 + 1$ olur. $i > m$ ise, bu nedenle YAP olur.



Sekil 3.3.4 Enerjiye dayanılarak bitiş noktasının ilk kestirimi için akış çizeneği (7).

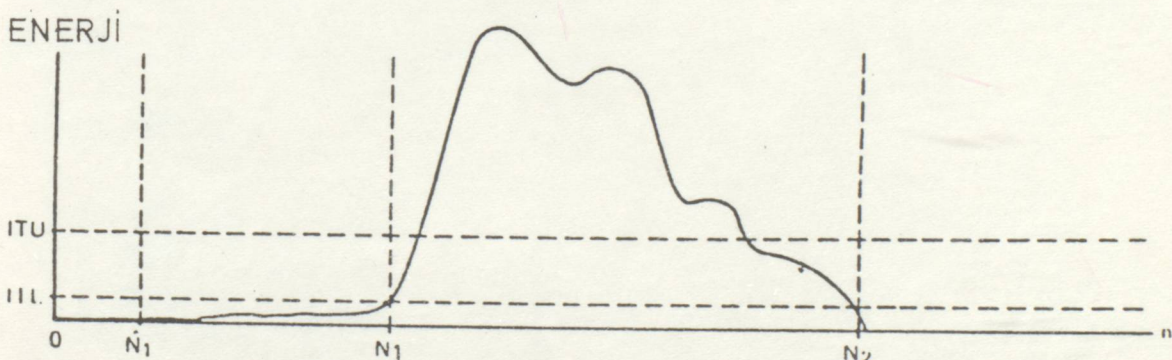
süresinin başlangıcından itibaren alt enerji eşiği aşılana kadar araştırılması ile başlar. Enerjinin ITL'yi aştığı ilk nokta, enerji ITU'nun üzerine çıkmadan önce tekrar ITL'nin altına düşmüyorsa konuşma başlangıcının ilk değeri olarak etiketlenir. Aksi halde enerjinin ITL'yi aştiği ve sonra ITL'nin altına düşmeden önce ITU'yu da aşığı, sonraki ilk nokta bulunarak başlangıç noktası olarak etiketlenir; ergeç böyle bir başlangıç noktası bulunmalıdır. Konuşmanın bitiş noktasının ilk kestirimini belirlemek için, Şekil 3.3.4'de görülen benzer bir algoritma kullanılır. Bu başlangıç ve bitiş noktalarına, sırasıyla N1 ve N2 diyeceğiz.

Şimdiye kadar, üç noktalarını bulmak için sadece enerji ölçümlerini kullandık. Bu kestirimleri elde etmek için oldukça güvenli eşikler kullanıldığından, bulunan bu üç noktaları korunumiudur. Bunun için bu noktada, gerçek üç noktalarının (N1,N2) aralığında olmadığını düşünmek fazlasıyla güvenlidir. Buna bağlı olarak, algoritma N1-25'den N1'e kadar olan aralığı, yani başlangıç noktasının ilk değerinin hemen öncesindeki 250 ms'lik süreyi sınamakla devam eder, ve sıfır geçiş oranının IZCT eşüğünü aştığı 10 ms'lik aralıkların sayısını sayar. Eğer IZCT eşüğünün aşıldığı aralıkların sayısı üç veya daha fazla ise, başlangıç noktası eşliğin aşıldığı (zamandaki) ilk noktaya ötelenir. Aksi halde, başlangıç noktası N1 olarak bırakılır. Bu uygulamanın arkasındaki mantık, ilgili bütün durumlar için sıfır geçiş oranının güvenli

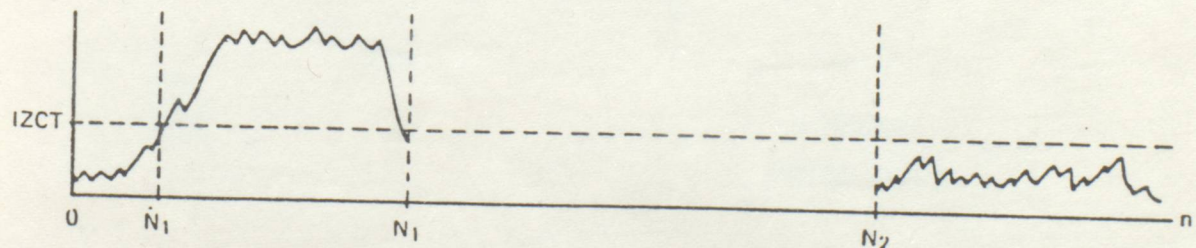
bir eşiği aşmasının sessiz enerjinin kuvvetli bir göstergesi olmalıdır.

Benzer bir araştırma işlemi, N₂'den N₂+25'e kadar olan aralıkta sessiz enerji olup olmadığını belirlemek için konuşmanın bitişinde kullanılır.

Üç noktaları belirleme algoritmasının kullanılmasını açıklamak için, Şekil 3.3.5'de konuşma için enerji ve sıfır geçişlerin yapısı örnek olarak gösterilmiştir. Algoritma, sadece enerji ölçütü kullanıldığında N₁ noktasını konuşmanın başlangıcı olarak ve N₂ noktasını da konuşmanın bitisi olarak sefer. N₁-25'den N₁'e kadar olanın sürenin araştırılmasıyla, algoritma sıfır geçiş oranının eşigi aştığı çok sayıda aralık bulur; bu yüzden başlangıç noktası sıfır geçiş eşinin aşıldığı



SIFIR GECIS

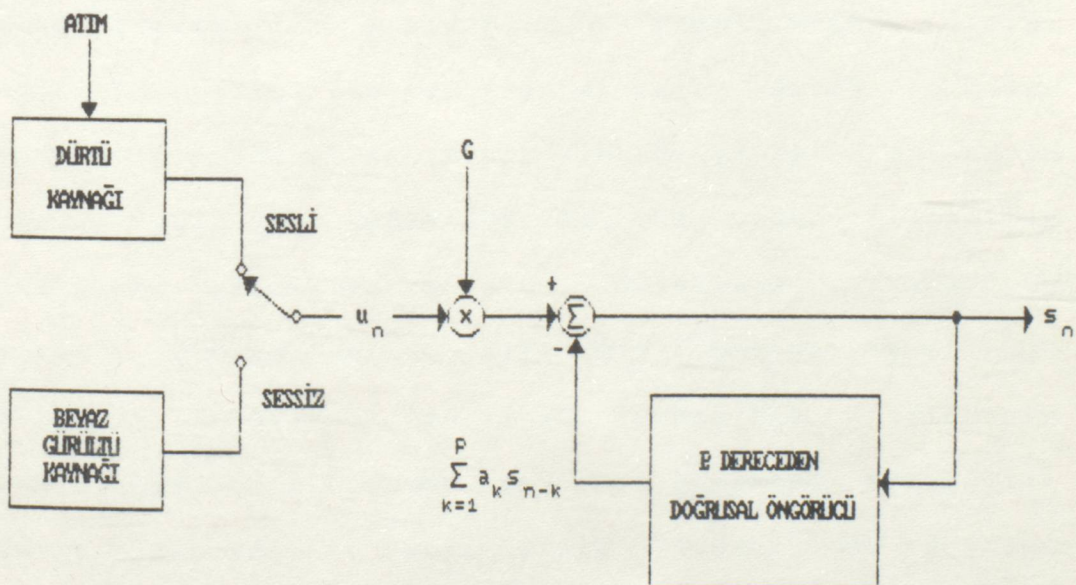


Şekil 3.3.5 Güçlü bir frikatif ile başlayan bir kelime için enerji ve sıfır geçiş verisinin tipik örneği (7).

(zamandaki) ilk nokta olan N1'e taşınır. N2'den N2+25'e kadar olan sürenin benzer sıyanması, sıfır geçiş oranı eşigini aşan hiç bir aralık bulunmadığını gösterir; buyüzden, N2 noktası konuşmanın bitiş noktası olarak bırakılır.

BÖLÜM 4. KONUŞMA BİREŞİMİ

Konuşma imi çözümlemede kullanılan parametrik model ile bireşimlenir. Doğrusal öngörüme dayanan konuşma bireşimleyicinin blok çizgesi Şekil 4.1'de görülmektedir. Bireşimleyiciye sağlanan denetim parametreleri atım dönemi, sesli-sessiz açıkısının konumu veya konuşma bölümünün sınıfı, G kazanç çarpanı ve ak öngörücü katsayılarıdır. Dürtü kaynağı her atım döneminin başlangıcında birim genlikli bir dürtü üretir. Beyaz gürültü kaynağı ise her örneklemeye anında ilişkisiz, birbirimli dağılımlı, standart sapması 1 olan rastgele örnekler üretir. Kaynak seçimi sesli/sessiz açıkısı ile yapılır. Uyarım iminin genliği G kazancı ile ayarlanır. Konuşma iminin doğrusal olarak öngörülen sn değeri, bireşimlenmiş imin n. Örnegini oluşturmak için uyarım imi un ile toplanır.



Şekil 4.1 Konuşma bireşimleyicinin blok çizgesi

BÖLÜM 5. GÖRÜNGESEL ÇÖZÜMLEME

Daha önce de söylenildiği gibi, bu çalışmada yapılan konuşma çözümleme-bireşimleme uygulamasının başarımını inceleyebilmek için, işitme yoluyla öznel bir değerlendirmeden başka görungesel çözümleme de yapılmıştır.

Görungesel çözümleme için, [6]'da verilmiş olan bir iki-tabanlı FFT fortran programı önce BASIC diline aktarılmış ve daha sonra bu çalışmanın amaçlarına uygun olarak genelleştirilmiştir. Böylece ortaya çıkan yönerge yapısı, ana benzetim yönergesine bir seçenek olarak eklenmiştir.

Uygulama sonucunda elde edilen bazı görunge örnekleri EK-D'de verilmiştir.

BÖLÜM 6. ÇÖZÜMLEME-BİRESİMLEME DİZGESİNİN BENZETİMİ

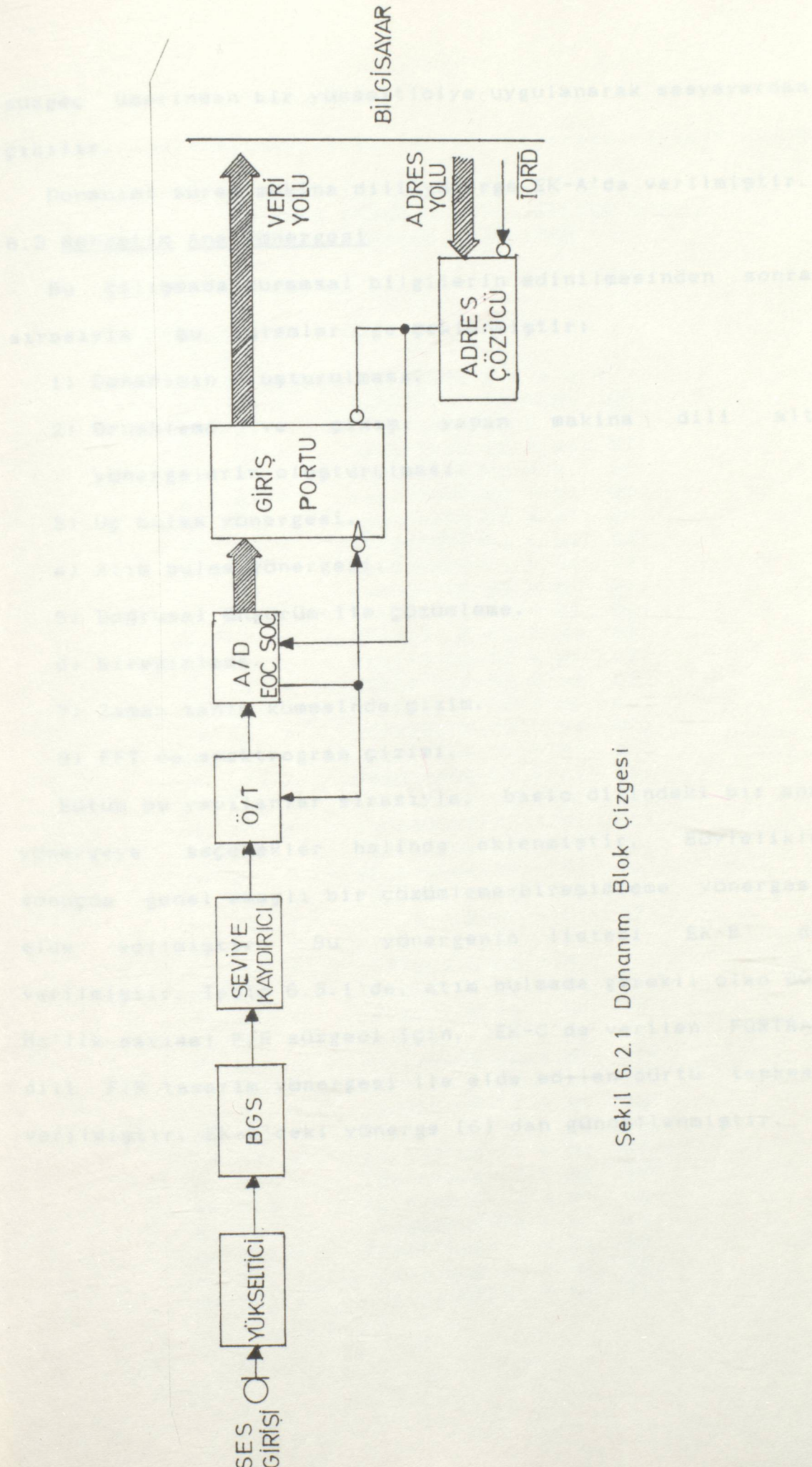
6.1 Giriş

Bu bölümde, şimdkiye kadar anlatılan kuramsal bilgilere dayanılarak, konuşma çözümleme-bireşimleme dizgesinin sayısal bir bilgisayar üzerinde gerçekleşen benzetimi ve elde edilen sonuçlar verilecektir.

6.2 Örneklemme ve Çıkış İçin Kullanılan Donanım

Örneklemme ve çıkış için kullanılan donanımın blok çizgesi Şekil 6.1.1'de görülmektedir. Örneklemme için konuşma imi, bir mikrofon ve yükseltici üzerinden, alt kesim frekansı 100 Hz, üst kesim frekansı 4000 Hz ve kenar eğimi 60 DB/dec. olan bir BGS'e uygulanır. BGS çıkışındaki im, kullanılan A/D'nin sadece 0-10 V'luk girişleri sayısallaştırması nedeniyle 5 V'luk bir DC seviye kaydırıcı üzerinden A/D girişindeki örneklemme-tutma bloğuna aktarılır. Bu örneklemme-tutma bloğunun örneklemme/tutma denetim girişi ile giriş portunun input enable girişi A/D'nin EOC çıkışısı ile denetlenmektedir. Giriş portunun output enable denetimi ve A/D'nin SOC girişi ise adres çözücü çıkışısı ile denetlenir. Böylece uygun zamanlama bağlantıları gerçekleştirilmiş olur. Örneklemme frekansı bu donanımı yürütten makina dili bir yönerge tarafından belirlenir. Dikkat edilirse örneklemme işleminin başlangıcında boş bir okuma yapılması gerektiği anlaşılır.

Çıkış için printer portu kullanılmıştır. Bu portdan gelen sayısal örnek dizisi bir D/A ile analog işaretre çevirildikten sonra, kesim frekansı 4000 Hz olan bir



Şekil 6.2.1 Donanım Blok Çizgesi

süzgeç üzerinden bir yükselticiye uygulanarak sesyayardan çıkarılır.

Donanımı süren makina dili yönerge EK-A'da verilmiştir.

6.3 Benzetim Ana Yönergesi

Bu çalışmada kuramsal bilgilerin ediniimesinden sonra sırasıyla şu işlemler gerçekleştirılmıştır:

- 1) Donanımın oluşturulması.
- 2) Örneklemme ve çıkış yapan makina dili alt yönergelerin oluşturulması.
- 3) Uç bulma yönergesi.
- 4) Atım bulma yönergesi.
- 5) Doğrusal öngörüm ile çözümleme.
- 6) Bireşimleme.
- 7) Zaman tanım kümesinde çizim.
- 8) FFT ve spektrogram çizimi.

Bütün bu yapılanlar sırasıyla, basic dilindeki bir ana yönergeye seçenekler halinde eklenmiştir. Böylelikle sonuçda genel amaçlı bir çözümleme-bireşimleme yönergesi elde edilmiştir. Bu yönergenin listesi EK-B'de verilmiştir. Tablo 6.3.1'de, atım bulmada gerekli olan 900 Hz'lik sayısal FIR süzgeci için, EK-C'de verilen FORTRAN dili FIR tasarım yönergesi ile elde edilen dürtü tepkesi verilmiştir. EK-C'deki yönerge [6]dan güncellenmiştir.

TABLO 6.3.1

FINITE IMPULSE RESPONSE (FIR)
LINEAR PHASE DIGITAL FILTER DESIGN
REMEZ EXCHANGE ALGORITHM

BANDPASS FILTER

FILTER LENGTH = 99

* * * * * IMPULSE RESPONSE * * * * *

H(1) =	-.14937570E-02	= H(99)
H(2) =	.65197920E-03	= H(98)
H(3) =	.16629740E-02	= H(97)
H(4) =	.30231610E-02	= H(96)
H(5) =	.42878080E-02	= H(95)
H(6) =	.49578030E-02	= H(94)
H(7) =	.46404380E-02	= H(93)
H(8) =	.32183990E-02	= H(92)
H(9) =	.94986470E-03	= H(91)
H(10) =	-.15556580E-02	= H(90)
H(11) =	-.35032310E-02	= H(89)
H(12) =	-.41815520E-02	= H(88)
H(13) =	-.32452730E-02	= H(87)
H(14) =	-.89991110E-03	= H(86)
H(15) =	.20972390E-02	= H(85)
H(16) =	.46497480E-02	= H(84)
H(17) =	.56980890E-02	= H(83)
H(18) =	.46354200E-02	= H(82)
H(19) =	.16033020E-02	= H(81)
H(20) =	-.24652280E-02	= H(80)
H(21) =	-.61067460E-02	= H(79)
H(22) =	-.78308870E-02	= H(78)
H(23) =	-.67015100E-02	= H(77)
H(24) =	-.27772630E-02	= H(76)
H(25) =	.27775230E-02	= H(75)
H(26) =	.79985580E-02	= H(74)
H(27) =	.10781570E-01	= H(73)
H(28) =	.96885690E-02	= H(72)
H(29) =	.46015010E-02	= H(71)
H(30) =	-.30501690E-02	= H(70)
H(31) =	-.10626800E-01	= H(69)
H(32) =	-.15123610E-01	= H(68)
H(33) =	-.14283370E-01	= H(67)
H(34) =	-.75928790E-02	= H(66)
H(35) =	.32742850E-02	= H(65)
H(36) =	.14730080E-01	= H(64)
H(37) =	.22337790E-01	= H(63)
H(38) =	.22343740E-01	= H(62)
H(39) =	.13204420E-01	= H(61)

TABLO 6.3.1 (DEVAMI)

H(40) =	-.34362940E-02	= H(60)
H(41) =	-.22725650E-01	= H(59)
H(42) =	-.37671230E-01	= H(58)
H(43) =	-.41068880E-01	= H(57)
H(44) =	-.27750400E-01	= H(56)
H(45) =	.35391410E-02	= H(55)
H(46) =	.49258260E-01	= H(54)
H(47) =	.10153690E+00	= H(53)
H(48) =	.14994540E+00	= H(52)
H(49) =	.18410800E+00	= H(51)
H(50) =	.19642400E+00	= H(50)

	BAND 1	BAND 2
LOWER BAND EDGE	.000000000	.110000000
UPPER BAND EDGE	.090000000	.500000000
DESIRED VALUE	1.000000000	.000000000
WEIGHTING	1.000000000	10.000000000
DEVIATION	.032647320	.003264732
DEVIATION IN DB	-29.723050000	-49.723050000

EXTREMAL FREQUENCIES

.0000000	.0112500	.0225000	.0331250	.0443750
.0556250	.0662500	.0768749	.0856249	.0900000
.1100000	.1125000	.1187500	.1268750	.1356250
.1450000	.1543750	.1643749	.1743749	.1843749
.1943749	.2043749	.2143749	.2249999	.2349999
.2449999	.2550000	.2656252	.2756254	.2856257
.2962509	.3062511	.3162514	.3262516	.3368768
.3468771	.3568773	.3675025	.3775028	.3875030
.3981282	.4081285	.4181287	.4287539	.4387542
.4487544	.4593796	.4693799	.4793801	.4900053
.5000000				

6.4 Deneysel Çalışmalar ve Sonuçlar

Geliştirilen benzetim yönergesi ile üç ayrı kayıt yapılarak bu kayıtlar için sırasıyla bütün çözümleme işlemleri uygulanmıştır. Bu kayıtlar "alo", "ses", kelimeleri ile "konuşma çözümlemesi" tümcesinden oluşmaktadır. "Alo" kelimesi uygulamanın daha çok sesli sesler için davranışını, "ses" kelimesi ise sessiz sesler için davranışını sinamak için seçilmiştir. "Konuşma çözümlemesi" tümcesi ise uygulamanın tümce uzunluklu bir kayıt için davranışını incelemek amacıyla keyfi olarak seçilmiştir. Seçilen bu kayıtlar için elde edilen sonuçlar EK-D'de toplu olarak verilmiştir. Bu sonuçlar üç noktaları bulma için yapılan çizimler, özgün imin Görüngesi ve bireşimlenmiş imin Görüngesinden oluşurlar. Ayrıca "alo" sesinin, atım bulma öncesinde 900 Hz'lik sayısal süzgeçten geçirilmesi ile elde edilen imin Görüngesi de verilmiştir.

BÖLÜM 7. SONUÇLAR

Daha önce de söylendiği gibi bu çalışmanın asıl amacı konuşma çözümlemesine bir giriş yapmak ve bu konudaki temel bilgileri edinmekdi. Bu amaçla önce kuramsal bilgiler edinilmiş ardından basit bir uygulama gerçekleştirılmıştır.

EK-D'de verilen özgün görüntüler ile bireşimlenmiş görüntüler karşılaştırılırsa, yapılan uygulamanın başarımı hakkında bir fikir edinilebilir. Ayrıca yapılan öznel değerlendirmelerin oldukça iyi sonuç verdiği de belirtilmelidir.

Sonuç olarak amaçlanan hedeflere ulaşıldığı söylenebilir.

PAGE 60,132

TITLE SRC - Sampling, Reproducing and Clearing

```
;-----  
CODESG SEGMENT PARA 'CODE'  
ASSUME CS:CODESG, DS:CODESG  
; * * * * * * * * * * * * * * * * * * * * * * * * * * *  
;  
Sampling:  
; * * * * * * * * * * * * * * * * * * * * *  
SMP PROC FAR  
PUSH DS  
PUSH ES  
PUSH SS  
PUSH BP  
MOV AX, CODESG  
MOV DS, AX  
CALL Q10CLR ;Clear screen  
MOV RPRLEN, SMPLEN ;Set RPRLEN to SMPLEN  
LEA DX, WFSMSG ;Display wait message  
CALL X10DSP  
CLI ;Clear interrupt enable  
MOV AL, 00H ;Reset ENABLE NMI  
OUT OAOH, AL ; signal  
MOV DX, 2F8H ;Input for first  
IN AL, DX ; SOC  
MOV CX, SMPLEN ;Set counter  
MOV DI, 00H ;Set index reg. Di to 00  
SNXT: MOV BX, 0EH ;Delay for 10 KHz sampling  
SBCK: DEC BX  
NOP ;Dummy command  
JNZ SBCK  
OR AX, AX ;Equalize to RPR  
IN AL, DX ;Input for reading last conversion and next SOC  
MOV TABLE[DI], AL ;Store into table  
INC DI ;Inc. index reg.  
LOOP SNXT ;Fly - back for next conversion  
MOV AL, 80H ;Set ENABLE NMI  
OUT OAOH, AL ; signal  
STI ;Set interrupt enable  
POP BP  
POP SS  
POP ES  
POP DS  
RET  
SMP ENDP  
; * * * * * * * * * * * * * * *  
;  
Reproducing:  
; * * * * * * * * * * * * * * *  
RPR PROC FAR  
PUSH DS  
PUSH ES  
PUSH SS  
PUSH BP  
MOV AX, CODESG
```

```
MOV DS,AX
CALL Q1OCLR ;Clear screen
LEA DX,WFRMSG ;Display wait message
CALL X10DSP
CLI ;Clear interrupt enable
MOV AL,00H ;Reset ENABLE NMI
OUT OAOH,AL ; signal
MOV CX,RPRLEN ;Set counter
MOV DX,03BCH ;Set prt. port addr.
MOV DI,00H ;Set index reg. DI to 00
RNXT: MOV BX,OEH ;Delay for 10 KHz reproducing
RBCK: DEC BX
NOP ;Dummy command
JNZ RBCK ;
OR AX,00H ;Equalize to SMP
MOV AL,TABLE[DI] ;Load AL with sample from table
INC DI ;Inc. index reg.
OUT DX,AL ;Output sample
LOOP RNXT ;Fly-back for next output
MOV AL,80H ;Set ENABLE NMI
OUT OAOH,AL ; signal
STI ;Set interrupt enable
POP BP
POP SS
POP ES
POP DS
RET ;Display position
RPR ENDP
; * * * * * * * * * * * * * * *
; Clear TABLE:
; * * * * * * * * * * * * * * *
CTB PROC FAR
PUSH DS
PUSH ES
PUSH SS
PUSH BP
MOV AX,CODESG
MOV DS,AX
CALL Q1OCLR ;Clear screen
MOV RPRLEN,SMPLEN ;Set RPRLEN to SMPLEN
LEA DX,WFCMSG ;Display wait message
CALL X10DSP
CLI ;Clear interrupt enable
MOV AL,00H ;Reset ENABLE NMI
OUT OAOH,AL ; signal
MOV CX,SMPLEN ;Set CX to SMPLEN
MOV DI,00H ;Set index reg. DI to 00
FRW: MOV TABLE[DI],00H ;Clear TABLE
INC DI
LOOP FRW
MOV AL,80H ;Set ENABLE NMI
OUT OAOH,AL ; signal
STI ;Set interrupt enable
```

```
    POP    BP
    POP    SS
    POP    ES
    POP    DS
    RET
CTB    ENDP
;
;           Clear screen:
-----
Q10CLR PROC NEAR
    MOV    AX,0600H      ;Request scroll
    MOV    BH,07
    MOV    CX,0000
    MOV    DX,184FH
    INT    10H
    MOV    DX,0000      ;Set cursor to 00,00
    CALL   Q20CURS
    RET
Q10CLR ENDP
;
;           Set cursor acc'g to DX:
-----
Q20CURS PROC NEAR
    MOV    AH,02          ;Request set
    MOV    BH,00          ; cursor
    INT    10H
    RET
Q20CURS ENDP
;
;           Display routine:
-----
X10DSP PROC NEAR
    MOV    AH,09          ;DX contains address
    INT    21H            ; of message
    RET
X10DSP ENDP
WFSMSG DB    '* ORNEKLEME YAPILIYOR ... *','$'
WFRMSG DB    '* CIKIS YAPILIYOR ... *','$'
WFCMSG DB    '* BELLEK SiLiNiYOR ... *','$'
SMPLEN EQU    30000
RPRLEN DW    7530H
TABLE  DB    SMPLEN DUP (?)
CODESG ENDS
END
```

EK-B BASIC DİLİ BENZETİM ANA YÖNERGESİ

```
10 CLS:SCREEN 0:KEY OFF
20 DEFINT H-N:DEF SEG=&H7880:TB%=&H129:SS%>0:RS%=&H44:CTBS%=&H82
30 PI=3.141592653589793:DPI=2*PI:SDB=10/LOG(10):DDB=2*SDB
40 DIM ZR%(300),E(300)
50 DIM H%(98),T%(300),R(200),CSC%(299)
60 DIM A(30,30),K!(30),V(30),I!(30),U(99)
70 DIM AR(512),AI(512)
80 DIM I1(4),I2(4),I3(4),I4(4),I5(4),I6(4),I7(4),I8(4)
90 BLOAD "SRC.SBR"
100 CLS:GOTO 230
110 CLS:SCREEN 0
120 PRINT"1-) DOSYA ADI GIRME 6-) UC NOKTALARI BULMA "
130 PRINT"2-) YUKLEME 7-) ATIM BULMA "
140 PRINT"3-) KAYIT 8-) COZUMLEME "
150 PRINT"4-) ORNEKLEME 9-) BIRESIM "
160 PRINT"5-) HP'E CIKIS 0-) TD/FD CIZIM "
170 PRINT
180 PRINT"DOSYA = ";F$+"."+E$
190 A$=INKEY$:IF A$="" THEN 190
200 IF ASC(A$)<48 OR ASC(A$)>57 THEN 190 ELSE CLS
210 ON ASC(A$)-47 GOTO 4580,230,370,470,530,560,610,2110,3050,3940
220 ' * * * DOSYA ADI GIRME * * *
230 INPUT"DOSYA ADI = ";F$
240 F$=LEFT$(F$,8):PRINT
250 IF F$<>"" THEN 270
260 CLS:GOTO 230
270 INPUT"SOYADI = ";E$
280 CLS
290 E$=LEFT$(E$,3)
300 IF E$<>"REC" THEN 320
310 CALL CTBS%:GOTO 110
320 IF E$="ORG" OR E$="LPF" OR E$="WND" OR E$="SNT" THEN 380
330 IF E$="DFS" OR E$="LFS" OR E$="WFS" OR E$="SFS" THEN 6100
340 PRINT"* SOYADI REC,ORG,LPF,WND,SNT,DFS,LFS,WFS, VEYA SFS OLMALI !.*"
350 PRINT:GOTO 270
360 ' * * * YUKLEME * * *
370 IF RIGHT$(E$,1)="S" THEN 440
380 PRINT"* YUKLENiyor ... *"
390 BLOAD F$+"."+E$,TB%
400 OPEN "A",#1,F$+"."+E$:L=LOF(1)-15
410 LH=INT(L/256):POKE TB%-1,LH
420 LL=L-256*LH:POKE TB%-2,LL
430 CLOSE #1:GOTO 110
440 PRINT"* BU DOSYA icin UYGULANAMAZ !.*"
450 A$=INKEY$:IF A$="" THEN 450 ELSE 110
460 ' * * * KAYIT * * *
470 IF RIGHT$(E$,1)="S" THEN 500
480 PRINT"* KAYIT YAPILIYOR ... *"
490 BSAVE F$+"."+E$,TB%,256*PEEK(TB%-1)+PEEK(TB%-2):GOTO 110
500 PRINT"* BU DOSYA icin UYGULANAMAZ !.*"
510 A$=INKEY$:IF A$="" THEN 510 ELSE 110
520 ' * * * ORNEKLEME * * *
530 E$="REC"
```

```
540 CALL SS%:GOTO 110
550 ' * * * HP'E CIKIS * * *
560 IF RIGHT$(E$,1)="S" THEN 580
570 CALL RS%:GOTO 110
580 PRINT"* BU DOSYA iCiN UYGULANAMAZ !.*"
590 A$=INKEY$:IF A$="" THEN 590 ELSE 110
600 ' * * * UC NOKTALARI BULMA * * *
610 IF E$="ORG" THEN 1470
620 IF E$="REC" THEN 650
630 PRINT"* BU DOSYA iCiN UYGULANAMAZ !.*"
640 A$=INKEY$:IF A$="" THEN 640 ELSE 110
650 PRINT"* UC NOKTALARI BULUNUYOR ... *"
660 AVS=0:AZRS%=0:ASES=0:VZRS=0:SL=0
670 FOR I=0 TO 999
680 AVS=AVS+PEEK(TB%+I)
690 NEXT
700 AV=AVS/1000
710 ST1=ABS(PEEK(TB%)-AV)
720 FOR I=1 TO 999
730 AS=ABS(PEEK(TB%+I)-AV)
740 IF ST1<AS THEN ST1=AS
750 NEXT
760 ' * ZR%(n) VE E(n) 'NiN HESAPLANMASI *
770 FOR N=1 TO 300
780 ZC%=0:ES=0:I=-1:HA=TB%+(N-1)*100:GOTO 810
790 IF I=99 THEN 910 ELSE I=I+1
800 SL=PEEK(HA+I)-AV
810 IF SL=0 THEN 790
820 IF I>-1 THEN ES=ABS(SL)
830 I=I+1
840 IF I=100 THEN 910
850 SR=PEEK(HA+I)-AV
860 ON SGN(SL*SR)+1 GOTO 830,880
870 ZC%=ZC%+1
880 SL=SR
890 ES=ES+ABS(SR)
900 GOTO 830
910 ZR%(N)=ZC%
920 E(N)=ES
930 NEXT
940 ' * * * * * * * * * * * * * * * * * *
950 FOR N=1 TO 10
960 AZRS%=AZRS%+ZR%(N)
970 ASES=ASES+E(N)
980 NEXT
990 AZR=AZRS%/10
1000 IMN!=ASES/10
1010 FOR N=1 TO 10
1020 VZRS=VZRS+(ZR%(N)-AZR)^2
1030 NEXT
1040 VZR=VZRS/10
1050 SDZR=VZR .5
1060 IMX!=E(1):IZRX=ZR%(1)
```

```
1070 FOR N=2 TO 300
1080 IF IMX!<E(N) THEN IMX!=E(N)
1090 IF IZRX<ZR%(N) THEN IZRX=ZR%(N)
1100 NEXT
1110 IZCT!=AZR+2*SDZR
1120 IF IZCT!>25 THEN IZCT!=25
1130 I1!=.03*(IMX!-IMN!)+IMN!
1140 I2!=4*IMN!
1150 IF I2!=0 OR I1!<I2! THEN ITL!=I1! ELSE ITL!=I2!
1160 ITU!=5*ITL
1170 M=1:H=1:ID=25:GOSUB 1810
1180 N1=N
1190 M=300:H=-1:ID=-25:GOSUB 1810
1200 N2=N
1210 IF N1>10 AND N2<300 THEN 1240
1220 BEEP:PRINT"KAYIT COK UZUN !"
1230 A$=INKEY$:IF A$="" THEN 1230 ELSE 110
1240 N1=N1-1:N2=N2+1:NSM=N2-N1+1
1250 BA%=TB%+(N1-1)*100:EA%=TB%+N2*100-1
1260 PU=ABS(PEEK(BA%)-AV)
1270 FOR SA%=BA%+1 TO EA%
1280 AS=ABS(PEEK(SA%)-AV)
1290 IF PU<AS THEN PU=AS
1300 ST2=PU/15
1310 NEXT
1320 ST=(ST1+ST2)/2
1330 BSAVE F$+".ORG",BA%,NSM*100
1340 OPEN "O",#1,F$+".EPA"
1350 PRINT #1,NSM,AV,ST,AZR,SDZR,IMN!,IMX!,IZRX,IZCT!,ITL!,ITU!
1360 FOR I=1 TO 300
1370 PRINT #1,E(I),ZR%(I)
1380 NEXT
1390 CLOSE #1
1400 E$=".ORG"
1410 BLOAD F$+".ORG",TB%
1420 OPEN "A",#1,F$+".ORG":L=LOF(1)-15
1430 LH=INT(L/256):POKE TB%-1,LH
1440 LL=L-256*LH:POKE TB%-2,LL
1450 CLOSE #1
1460 '* EPA CIZIM *
1470 CLS:PRINT "* BEKLEYIN ... *"
1480 OPEN "I",#1,F$+".EPA"
1490 INPUT #1,NSM,AV,ST,AZR,SDZR,IMN!,IMX!,IZRX,IZCT!,ITL!,ITU!
1500 FOR I=1 TO 300
1510 INPUT #1,E(I),ZR%(I)
1520 NEXT
1530 CLOSE #1
1540 SCREEN 2
1550 LOCATE 1,31:PRINT"DOSYA = ";F$+".EPA"
1560 LOCATE 1,6:PRINT"ERKE":LOCATE 1,79:PRINT CHR$(26);"t"
1570 LOCATE 14,6:PRINT"SIFIR GECIS":LOCATE 14,79:PRINT CHR$(26);"t"
1580 LINE (39,87)-(639,87):LINE (39,191)-(639,191)
1590 FOR I=0 TO 3
```

```
1600 IF I<3 THEN K=2*10^1
1610 FOR J=0 TO 600 STEP K
1620 H=39+J:PSET (H,88+I):PSET (H,192+I)
1630 NEXT J,I
1640 H=43:YE=87-79*E(1)/IMX!:LINE (39,YE)-(41,YE)
1650 FOR N=2 TO 300
1660 YE=87-79*E(N)/IMX!:LINE -(H-2,YE):LINE -(H,YE)
1670 H=H+2
1680 NEXT
1690 H=43:YZR=191-79*ZR%(1)/IZRX:LINE (39,YZR)-(41,YZR)
1700 FOR N=2 TO 300
1710 YZR=191-79*ZR%(N)/IZRX:LINE -(H-2,YZR):LINE -(H,YZR)
1720 H=H+2
1730 NEXT
1740 YTU=87-79*ITU!/IMX!:LINE (39,YTU)-(639,YTU),,&HAAAA
1750 YTL=87-79*ITL!/IMX!:LINE (39,YTL)-(639,YTL),,&HAAAA
1760 YZCT=191-79*IZCT!/IZRX:LINE (39,YZCT)-(639,YZCT),,&HAAAA
1770 BEEP
1780 A$=INKEY$:IF A$="" THEN 1780 ELSE 110
1790 '* EPA ALTPROGRAM *
1800 '* E(n)'nin TARANMASI *
1810 IF E(M)>ITL! THEN 1860
1820 M=M+H
1830 IF M>300 OR M=0 THEN PRINT"KAYIT YOK !" ELSE 1810
1840 BEEP
1850 A$=INKEY$:IF A$="" THEN 1850 ELSE 110
1860 N=M
1870 IF E(M)<ITU! THEN M=M+H ELSE 1910
1880 IF M>300 THEN PRINT"N11>300 !" ELSE IF M=0 THEN PRINT"N21<1 !" ELSE IF E(M)
<ITL! THEN 1820 ELSE 1870
1890 BEEP
1900 A$=INKEY$:IF A$="" THEN 1900 ELSE 110
1910 IF N=M THEN N=N-H
1920 IF N<=35 THEN PRINT"N11<36 !" ELSE IF N>275 THEN PRINT"N21>275 !" ELSE 1960
1930 BEEP
1940 A$=INKEY$:IF A$="" THEN 1940 ELSE 110
1950 '* ZR%(n)'in TARANMASI *
1960 I=N-ID
1970 IF ZR%(I)>=IZCT! THEN 1990 ELSE I=I+H
1980 IF I=N THEN 2080 ELSE 1970
1990 NT=I:M=0
2000 M=M+1
2010 IF M=3 THEN N=NT ELSE 2030
2020 RETURN
2030 I=I+H
2040 IF I=N THEN 2060 ELSE IF ZR%(I)<IZCT! THEN 2030 ELSE 2000
2050 N=I
2060 I=I-H
2070 IF ZR%(I)>=IZCT! THEN 2050
2080 RETURN
2090 * * * * * * * *
2100 * * * ATIM BULMA * * *
2110 IF E$="ORG" THEN 2140
2120 PRINT"* BU DOSYA icin UYGULANAMAZ !.*"
```

```
2130 A$=INKEY$:IF A$="" THEN 2130 ELSE 110
2140 PRINT "# ATIM DÖNEMLERİ BULUNUYOR ... "
2150 OPEN "I",#1,F$+".EPA"
2160 INPUT #1,NSM,AV,ST
2170 DAV=2*AV
2180 OPEN "I",#2,"LPF.IRP"
2190 FOR I=0 TO 98
2200 INPUT #2,H#(I)
2210 NEXT I
2220 FOR N=NSM*100-1 TO 98 STEP -1
2230 Y#=AV:SA%=TB%+N
2240 FOR I=0 TO 48
2250 Y#=Y#+H#(I)*(PEEK(SA%-1)+PEEK(SA%-98+I)-DAV)
2260 NEXT I
2270 Y#=Y#+H#(49)*(PEEK(SA%-49)-AV)
2280 IF Y#>255 THEN Y#=255 ELSE IF Y#<0 THEN Y#=0
2290 POKE SA%,Y#
2300 NEXT N
2310 FOR N=97 TO 0 STEP -1
2320 Y#=AV:SA%=TB%+N
2330 FOR I=0 TO N
2340 Y#=Y#+H#(I)*(PEEK(SA%-1)-AV)
2350 NEXT I
2360 IF Y#>255 THEN Y#=255 ELSE IF Y#<0 THEN Y#=0
2370 POKE SA%,Y#
2380 NEXT N
2390 FOR N=0 TO NSM*100-50
2400 TA%=TB%+N
2410 POKE TA%,PEEK(TA%+49)
2420 NEXT I
2430 FOR N=NSM*100-49 TO NSM*100-1
2440 POKE TB%+N,AV
2450 NEXT I
2460 BSAVE F$+".LPF",TB%,NSM*100
2470 OPEN "R",#3,F$+".SUV",1
2480 FIELD #3,1 AS C$
2490 FOR NSC=1 TO NSM
2500 SCA%=TB%+(NSC-1)*100
2510 PAS=ABS(PEEK(SCA%)-AV)
2520 FOR N=1 TO 99
2530 FAS=ABS(PEEK(SCA%+N)-AV)
2540 IF PAS>FAS THEN PAS=FAS
2550 NEXT N
2560 T%(NSC)=PAS
2570 NEXT NSC
2580 LSET C$=CHR$(0)
2590 PUT #3
2600 FOR NSC=2 TO NSM-1
2610 PAS=T%(NSC-1)
2620 FOR I=NSC TO NSC+1
2630 IF PAS<T%(I) THEN PAS=T%(I)
2640 NEXT I
2650 IF PAS>ST THEN 2670
```

2660 C%=0:GOTO 2920
2670 IF T%(NSC-1)<T%(NSC+1) THEN CL=.64*T%(NSC-1) ELSE CL=.64*T%(NSC+1)
2680 SCA%=TB%+(NSC-2)*100
2690 FOR N=0 TO 299
2700 FS=PEEK(SCA%+N)-AV
2710 IF ABS(FS)<CL THEN CSC%(N)=0 ELSE IF FS>0 THEN CSC%(N)=1 ELSE CSC%(N)=-1
2720 NEXT N
2730 R(0)=0
2740 FOR N=0 TO 299
2750 IF CSC%(N)=0 THEN 2770
2760 R(0)=R(0)+1
2770 NEXT N
2780 FOR M=20 TO 200
2790 R(M)=0
2800 FOR N=0 TO 299-M
2810 IF CSC%(N)=0 OR CSC%(N+M)=0 THEN 2830
2820 IF CSC%(N)=CSC%(N+M) THEN R(M)=R(M)+1 ELSE R(M)=R(M)-1
2830 NEXT N
2840 R(M)=R(M)/R(0)
2850 NEXT M
2860 IPK!=R(20):IPOS=20
2870 FOR M=21 TO 200
2880 IF IPK!>=R(M) THEN 2900
2890 IPK!=R(M):IPOS=M
2900 NEXT M
2910 IF IPK!<.3 THEN C%=1 ELSE C%=IPOS
2920 LSET C\$=CHR\$(C%)
2930 PUT #3
2940 NEXT NSC
2950 LSET C\$=CHR\$(0)
2960 PUT #3
2970 CLOSE #1,#2,#3
2980 BLOAD F\$+"ORG",TB%
2990 OPEN "A",#1,F\$+"ORG":L=LOF(1)-15
3000 LH=INT(L/256):POKE TB%-1,LH
3010 LL=L-256*LH:POKE TB%-2,LL
3020 CLOSE #1
3030 BEEP:GOTO 110
3040 ' * * * COZUMLEME * * *
3050 IF E\$="ORG" THEN 3080
3060 PRINT "* BU DOSYA ICIN UYGULANAMAZ !.*"
3070 A\$=INKEY\$:IF A\$="" THEN 3070 ELSE 110
3080 PRINT "* COZUMLEME YAPILIYOR ... *"
3090 OPEN "I",#1,F\$+"EPA"
3100 INPUT #1,NSM,AV
3110 CLOSE #1
3120 OPEN "R",#1,F\$+"SUV",1
3130 FIELD #1,1 AS C\$
3140 OPEN "R",#2,F\$+"EPF",1
3150 FIELD #2,1 AS I\$
3160 OPEN "R",#3,F\$+"PGP",4
3170 FIELD #3,4 AS S\$
3180 CL%=0:N=100:PM%=30

```
3190 FOR NSC=1 TO NSM
3200 GET #1
3210 C%=ASC(C$)
3220 IF C%<=0 THEN 3870
3230 SCA%=TB%+(NSC-1)*100
3240 IF C%<=1 THEN 3330
3250 MS!=ABS(PEEK(SCA%)-AV):E%=0
3260 FOR K=1 TO C%-1
3270 S=ABS(PEEK(SCA%+K)-AV)
3280 IF MS!>=S THEN 3300
3290 MS!=S:E%=K
3300 NEXT
3310 LSET I$=CHR$(E%)
3320 PUT #2
3330 FOR K=0 TO N-1
3340 SCSA%=SCA%+K
3350 POKE SCSA%, (.54+.46*COS(DPI*(K-(N-1)/2)/N))*(PEEK(SCSA%)-AV)+AV
3360 NEXT
3370 FOR I=0 TO PM%
3380 R(I)=0
3390 FOR K=0 TO (N-1)-I
3400 SCSA%=SCA%+K
3410 R(I)=R(I)+(PEEK(SCSA%)-AV)*(PEEK(SCSA%+I)-AV)
3420 NEXT K,I
3430 E(0)=R(0)
3440 FOR I=1 TO PM%
3450 TS=0
3460 FOR J=1 TO I-1
3470 TS=TS+A(J,I-1)*R(I-J)
3480 NEXT J
3490 K!(I)=-(R(I)+TS)/E(I-1)
3500 FOR J=1 TO I-1
3510 A(J,I)=A(J,I-1)+K!(I)*A(I-J,I-1)
3520 NEXT J
3530 A(I,I)=K!(I)
3540 E(I)=(1-K!(I)^2)*E(I-1)
3550 NEXT I
3560 FOR I=1 TO PM%
3570 IF ABS(K!(I))<=1 THEN 3620
3580 BEEP:PRINT "SUZGEC KARARSIZ !"
3590 CLOSE #1,#2,#3
3600 KILL F$+".EPF":KILL F$+".PGP"
3610 A$=INKEY$:IF A$="" THEN 3610 ELSE 110
3620 NEXT
3630 FOR I=1 TO PM%
3640 V(I)=E(I)/R(0)
3650 NEXT
3660 FOR P%=1 TO PM%
3670 I!(P%)=SDB*(LOG(V(P%))+5*P%/N)
3680 NEXT
3690 AMI=I!(1):PO%=1
3700 FOR P%=2 TO PM%
3710 IF AMI<=I!(P%) THEN 3730
```

```
3720 AMI=1!(P%):P0%=P%
3730 NEXT
3740 LSET I$=CHR$(P0%)
3750 PUT #2
3760 IF CL%>0 THEN 3810
3770 FOR K=0 TO P0%-1
3780 LSET I$=CHR$(PEEK(SCA%+K))
3790 PUT #2
3800 NEXT
3810 FOR J=1 TO P0%
3820 LSET S$=MKS$(A(J,P0%))
3830 PUT #3
3840 NEXT
3850 LSET S$=MKS$(SQR(E(P0%)))
3860 PUT #3
3870 CL%=C%
3880 NEXT NSC
3890 CLOSE #1,#2,#3
3900 E$="WND"
3910 BSAVE F$+".WND",TB%,NSM*100
3920 BEEP:GOTO 110
3930 ' * * * BIRESIM * * *
3940 PRINT" * BIRESIM YAPILIYOR ... * "
3950 OPEN "I",#1,F$+".EPA"
3960 INPUT #1,NSM,AV
3970 CLOSE #1
3980 OPEN "R",#1,F$+".SUV",1
3990 FIELD #1,1 AS C$
4000 OPEN "R",#2,F$+".EPF",1
4010 FIELD #2,1 AS I$
4020 OPEN "R",#3,F$+".PGP",4
4030 FIELD #3,4 AS S$
4040 CL%=0:N=100
4050 FOR NSC=1 TO NSM
4060 SCA%=TB%+(NSC-1)*100
4070 GET #1
4080 C%=ASC(C$)
4090 IF C%>0 THEN 4140
4100 FOR K=0 TO N-1
4110 POKE SCA%+K,AV
4120 NEXT
4130 GOTO 4510
4140 IF C%>1 THEN 4220
4150 FOR K=0 TO N-2 STEP 2
4160 Y=SQR(-2*LOG(RND))
4170 Z=DPI*RND
4180 U(K)=Y*COS(Z)
4190 U(K+1)=Y*SIN(Z)
4200 NEXT
4210 GOTO 4270
4220 GET #2
4230 E%=ASC(I$)
4240 FOR K=0 TO N-1
```

4250 IF (K-E%)-C%*FIX((K-E%)/C%)=0 THEN U(K)=1 ELSE U(K)=0
4260 NEXT I
4270 GET #2
4280 P0%=ASC(I\$)
4290 SP%=0
4300 IF CL%>0 THEN 4360
4310 FOR K=0 TO P0%-1
4320 GET #2
4330 POKE SCA%+K,ASC(I\$)
4340 NEXT I
4350 SP%=P0%
4360 FOR J=1 TO P0%
4370 GET #3
4380 A(J,P0%)=CVS(S\$)
4390 NEXT I
4400 GET #3
4410 G=CVS(S\$)
4420 FOR I=SP% TO N-1
4430 S=AV:SCSA%=SCA%+1
4440 FOR K=1 TO P0%
4450 S=S-A(K,P0%)*(PEEK(SCSA%-K)-AV)
4460 NEXT K
4470 S=S+G*U(I)
4480 IF S>255 THEN S=255 ELSE IF S<0 THEN S=0
4490 POKE SCSA%,S
4500 NEXT I
4510 CL%=C%
4520 NEXT NSC
4530 CLOSE #1,#2,#3
4540 E\$="SNT"
4550 BSAVE F\$+".SNT",TB%,NSM*100
4560 BEEP:GOTO 110
4570 * * * TD/FD CiZiM * * *
4580 IF E\$="REC" THEN 4640
4590 IF RIGHTS(E\$,1)="S" THEN 6100
4600 PRINT"FD VEYA TD (1'E VEYA BASKA BIR TUSA BAS) ?"
4610 A\$=INKEY\$:IF A\$="" THEN 4610
4620 IF A\$="1" THEN 5350 ELSE 4710
4630 * TD CiZiM *
4640 CLS:PRINT "* D.C. BILESEN HESAPLANIYOR ... *"
4650 AVS=0
4660 FOR I=0 TO 999
4670 AVS=AVS+PEEK(TB%+I)
4680 NEXT I
4690 AV=AVS/1000
4700 GOTO 4740
4710 OPEN "I",#1,F\$+".EPA"
4720 INPUT #1,NSM,AV
4730 CLOSE #1
4740 SCREEN 2
4750 SMN%=256*PEEK(TB%-1)+PEEK(TB%-2):SCN%=INT(SMN%/600)+1
4760 DAV=2*AV:SCC%=1
4770 GOTO 4990

```
4780 A$=INKEY$:IF A$="" THEN 4780
4790 IF ASC(A$)=13 THEN 110 ELSE IF LEN(A$)=1 THEN 4780
4800 B$=RIGHT$(A$,1)
4810 IF B$<>"M" THEN 4840
4820 IF SCC%=SCN% THEN SCC%=1 ELSE SCC%=SCC%+1
4830 GOTO 4990
4840 IF B$<>"K" THEN 4870
4850 IF SCC%=1 THEN SCC%=SCN% ELSE SCC%=SCC%-1
4860 GOTO 4990
4870 IF B$<>"P" THEN 4960
4880 CLS:PRINT"* EVIRME YAPILIYOR ... *"
4890 FOR I=0 TO SMN%-1
4900 SA%=TB%+I
4910 S=DAV-PEEK(SA%)
4920 IF S>255 THEN S=255 ELSE IF S<0 THEN S=0
4930 POKE SA%,S
4940 NEXT
4950 GOTO 4990
4960 IF B$<>"H" THEN 4780
4970 CLS:PRINT"SAYFA (>0,<":LOCATE 1,12:PRINT USING"##";SCN%+1
4980 LOCATE 1,14:INPUT") =";SCC%:IF SCC%<1 OR SCC%>SCN% THEN 4970
4990 CLS
5000 LOCATE 1,6:PRINT"DOSYA=";F$+"."+E$
5010 LOCATE 1,25:PRINT"SAYFA=";USING"## ";SCC%
5020 LOCATE 1,33:IF SCC%=SCN% THEN PRINT"(SON)"
5030 LOCATE 1,39:PRINT"D.C.=";USING"## ";AV
5040 LOCATE 1,48:PRINT CHR$(26); "=ILERi "
5050 LOCATE 1,56:PRINT CHR$(27); "=GERi "
5060 LOCATE 1,63:PRINT CHR$(24); "=ATLA "
5070 LOCATE 1,70:PRINT CHR$(25); "=EViR "
5080 LOCATE 1,79:PRINT CHR$(26); "t"
5090 IF SCC%>1 THEN 5150
5100 LOCATE 2,3:PRINT"V";CHR$(24)
5110 LINE(39,8)-(39,199)
5120 LINE(36,196)-(38,196)
5130 Y1=196-188*100/255:LINE(36,Y1)-(38,Y1)
5140 Y2=196-188*200/255:LINE(36,Y2)-(38,Y2)
5150 IF SCC%<SCN% THEN 5190
5160 IM=SMN%-(SCC%-1)*600
5170 IF IM<600 THEN LINE (40+IM,8)-(40+IM,199)
5180 GOTO 5200
5190 IM=600
5200 LINE (39,196)-(39+IM,196)
5210 FOR J=0 TO IM STEP 10
5220 PSET(39+J,197)
5230 NEXT
5240 FOR J=0 TO IM STEP 100
5250 K=39+J:PSET(K,198):PSET(K,199)
5260 NEXT
5270 YAV=196-188*AV/255:LINE (39,YAV)-(39+IM,YAV),,&HAAAA
5280 SCA%=TB%+(SCC%-1)*600
5290 PSET(40,196-188*PEEK(SCA%)/255)
5300 FOR I=1 TO IM-1
```

```
5310 LINE -(40+I,196-100*PEEK(SCA%+I))/255)
5320 NEXT
5330 BEEP:GOTO 4780
5340 '* FFT VE FD CiZiM *
5350 CLS
5360 PRINT "* FFT UYGULANIYOR ... *"
5370 E$=LEFT$(E$,1)+"FS"
5380 OPEN "I",#1,F$+".EPA"
5390 INPUT #1,NSM,AV
5400 OPEN "R",#2,F$+".SUW",1
5410 FIELD #2,1 AS C$
5420 OPEN "R",#3,F$+"."+E$,1
5430 FIELD #3,1 AS I$
5440 FOR NSC=2 TO NSM-1
5450 GET #2
5460 C%=ASC(C$)
5470 IF C%=0 THEN 6070
5480 SCA%=TB%+(NSC-2)*100
5490 FOR K=0 TO 299
5500 AR(K+1)=(.54+.46*COS(DPI*(K-299/2)/300))*(PEEK(SCA%+K)-AV)
5510 AI(K+1)=0
5520 NEXT
5530 FOR K=301 TO 512
5540 AR(K)=0
5550 AI(K)=0
5560 NEXT
5570 '* FFT *
5580 M=9
5590 N=2^M
5600 NV2=N/2
5610 NM1=N-1
5620 J=1
5630 FOR I=1 TO NM1
5640 IF I>J THEN 5680
5650 TR=AR(J)
5660 AR(J)=AR(I)
5670 AR(I)=TR
5680 K=NV2
5690 IF K>=J THEN 5730
5700 J=J-K
5710 K=K/2
5720 GOTO 5690
5730 J=J+K
5740 NEXT I
5750 FOR L=1 TO M
5760 LE=2^L
5770 LE1=LE/2
5780 UR=1!
5790 UI=0!
5800 WR=COS(PI/LE1)
5810 WI=-SIN(PI/LE1)
5820 FOR J=1 TO LE1
5830 FOR I=J TO N STEP LE
```

5840 IP=I+LE1
5850 TR=AR(IP)*UR-AI(IP)*UI
5860 TI=AR(IP)*UI+AI(IP)*UR
5870 AR(IP)=AR(I)-TR
5880 AI(IP)=AI(I)-TI
5890 AR(I)=AR(I)+TR
5900 AI(I)=AI(I)+TI
5910 NEXT I
5920 UR=UR*WR-UI*WI
5930 UI=UR*WI+UI*WR
5940 NEXT J,L
5950 * * * *
5960 FSM=0
5970 FOR I=1 TO 256 STEP 4
5980 T=SQR(AR(I)^2+AI(I)^2)
5990 IF T>1 THEN AR(I)=DDB*LOG(T) ELSE AR(I)=0
6000 IF FSM<AR(I) THEN FSM=AR(I)
6010 NEXT
6020 IF FSM=0 THEN 6070
6030 FOR I=1 TO 256 STEP 4
6040 LSET I\$=CHR\$(CINT(8*AR(I)/FSM))
6050 PUT #3
6060 NEXT
6070 NEXT NSC
6080 CLOSE #1,#2,#3
6090 '* FD CIZIM *
6100 OPEN "I",#1,F\$+".EPA"
6110 INPUT #1,NSM
6120 OPEN "R",#2,F\$+".SUV",1
6130 FIELD #2,1 AS C\$
6140 OPEN "R",#3,F\$+"."+E\$,1
6150 FIELD #3,1 AS I\$
6160 SCREEN 2
6170 DATA &HFF00,&HFF00,&HFF00
6180 DATA &HAA00,&HFF00,&HAA00
6190 DATA &HAA00,&HDD00,&HAA00
6200 DATA &HAA00,&HAA00,&HDD00
6210 DATA &HAA00,&HAA00,&HAA00
6220 DATA &HAA00,&H0000,&HAA00
6230 DATA &H8800,&H2200,&H0000
6240 DATA &H8800,&H0000,&H2200
6250 FOR Y%=0 TO 35 STEP 5
6260 READ L1,L2,L3
6270 LINE (0,Y%)-(4,Y%),,,L1
6280 LINE (0,Y%+1)-(4,Y%+1),,,L2
6290 LINE (0,Y%+2)-(4,Y%+2),,,L3
6300 LINE (0,Y%+3)-(4,Y%+3),,,L2
6310 LINE (0,Y%+4)-(4,Y%+4),,,L1
6320 NEXT
6330 GET (0,0)-(4,4),18:GET (0,5)-(4,9),17
6340 GET (0,10)-(4,14),16:GET (0,15)-(4,19),15
6350 GET (0,20)-(4,24),14:GET (0,25)-(4,29),13
6360 GET (0,30)-(4,34),12:GET (0,35)-(4,39),11

```
6370 RESTORE
6380 PN% = INT(NSM/31)
6390 IF NSM-PN%*31>0 THEN PN% = PN%+1
6400 FOR P%=1 TO PN%
6410 CLS
6420 LOCATE 25,8:PRINT "DOSYA = ";F$+"."+E$
6430 LOCATE 25,30:PRINT "SAYFA = ":LOCATE 25,36:PRINT USING"##";P%
6440 LOCATE 25,40:IF P%=PN% THEN PRINT "(SON)"
6450 IF P%=1 THEN YS%=3 ELSE YS%=0
6460 IF P%>1 OR PN%<1 THEN 6480
6470 YF%=183:GOTO 6490
6480 IF P%=PN% THEN YF%=(NSM-(PN%-1)*31-1)*6+YS% ELSE YF%=180
6490 LOCATE 25,2:PRINT CHR$(25);":t"
6500 IF P%>1 THEN 6570
6510 LOCATE 2,50:PRINT "5 KHz"
6520 LOCATE 3,50:PRINT CHR$(26);":f"
6530 LINE (0,1)-(431,1)
6540 FOR X#=8 TO 380 STEP 6
6550 PSET (X%,0)
6560 NEXT
6570 LINE (1,0)-(1,199):LINE (387,0)-(387,199)
6580 FOR Y%=YS% TO YF% STEP 6
6590 PSET (0,Y%+5):PSET (388,Y%+5)
6600 GET #2
6610 C% = ASC(C$)
6620 IF C% = 0 THEN 6760
6630 FOR X%=3 TO 381 STEP 6
6640 GET #3
6650 ON ASC(I$) GOTO 6670,6680,6690,6700,6710,6720,6730,6740
6660 GOTO 6750
6670 PUT (X%,Y%),I1:GOTO 6750
6680 PUT (X%,Y%),I2:GOTO 6750
6690 PUT (X%,Y%),I3:GOTO 6750
6700 PUT (X%,Y%),I4:GOTO 6750
6710 PUT (X%,Y%),I5:GOTO 6750
6720 PUT (X%,Y%),I6:GOTO 6750
6730 PUT (X%,Y%),I7:GOTO 6750
6740 PUT (X%,Y%),I8
6750 NEXT X%
6760 NEXT Y%
6770 BEEP
6780 A$=INKEY$:IF A$="" THEN 6780 ELSE NEXT P%
6790 CLOSE #1,#2,#3
6800 GOTO 110
```

* * * FIR Design Program * * *

PROGRAM FOR THE DESIGN OF LINEAR PHASE FINITE IMPULSE
RESPONSE (FIR) FILTERS USING THE RENEZ-PICHON ALGORITHM
JIN MOOLZAK, BICK UNIVERSITY, APRIL 13, 1973
THESE TYPES OF FILTERS ARE HIGHPASS-BANDPASS FILTERS
DIFFERENTIATOR AND HILBERT TRANSFORM FILTERS

EK-C FORTRAN DİLİ FIR TASARIM YÖNERGESİ

THE INPUT DATA CONSISTS OF A FILE THAT CONTAINS ALL THE INFORMATION
IN THE FILE.

REC. 1-FILTER LENGTH, TYPE OF FILTER, 1-DIFFERENTIATOR,
PASSBAND-STOPBAND, 2-DIFFERENTIATOR, 3-HILBERT TRANSFORM
FILTER, NUMBER OF BANDS, THE WEIGHT FUNCTION, AND GAIN
DENSITY.

REC. 2-BANDWIDTH, CENTER AND UPPER EDGE FOR EACH BAND
WITH A MAXIMUM OF 10 BANDS.

REC. 3-WEIGHT FUNCTION FOR DESIRED-POLY IF A
DIFFERENTIATOR FOR EACH BAND.

REC. 4-WEIGHT FUNCTION IN EACH BAND, FOR A
DIFFERENTIATOR, THE WEIGHT FUNCTION IS INVERSELY
PROPORTIONAL TO F.

THE FOLLOWING THREE DATA SPECIFY A 10-BAND BANDPASS
FILTER WITH STOPBANDS 0.75-0.8, 0.8-0.95, 10-14.5 AND
PASSBANDS 0.2-0.3, 0.3-0.4, 0.4-0.5, 0.5-0.6, 0.6-0.7, 0.7-0.8
STOPBANDS 15-16.5 AND THE PASSBAND 20-20.5. THE DESIGN
WILL BE MADE A FILE AND THE GAIN DENSITY IS 32.

SAMPLE INPUT DATA SETUP

10,1,1,0.2,0.3,0.4,0.5

0.2,0.3,0.4,0.5,0.6,0.7,0.8,0.95,10,14.5

10,1,0,0,0,0,0,0,0,0

THE FOLLOWING THREE DATA SPECIFY A 10-BAND BANDPASS
FILTER WITH STOPBANDS 0.75-0.8, 0.8-0.95, 10-14.5 AND
PASSBANDS 0.2-0.3, 0.3-0.4, 0.4-0.5, 0.5-0.6, 0.6-0.7, 0.7-0.8
STOPBANDS 15-16.5 AND THE PASSBAND 20-20.5. THE DESIGN
DENSITY IS ASSUMED TO BE 16.

10,1,1,0.2,0.3,0.4,0.5

0.2,0.3,0.4,0.5,0.6,0.7,0.8,0.95,10,14.5

10,1,0,0,0,0,0,0,0,0

CHARACTER FOR THE DESIGN PROGRAM #1
CHARACTER FOR THE DESIGN PROGRAM #2, WHICH IS USED
FOR DESIGNING FILTERS, AND THE DESIGN PROGRAM #3

C DIMENSION NGRID
C *** FIR Design Program ***
C
C PROGRAM FOR THE DESIGN OF LINEAR PHASE FINITE IMPULSE
C RESPONSE (FIR) FILTERS USING THE REMEZ EXCHANGE ALGORITHM
C JIM MCCLELLAN, RICE UNIVERSITY, APRIL 13, 1973
C THREE TYPES OF FILTERS ARE INCLUDED--BANDPASS FILTERS
C DIFFERENTIATORS, AND HILBERT TRANSFORM FILTERS
C
C THE INPUT DATA CONSISTS OF A FILE. THERE ARE FOUR RECORD
C IN THE FILE.
C
C REC. 1--FILTER LENGTH, TYPE OF FILTER. 1-MULTIPLE
C PASSBAND/STOPBAND, 2-DIFFERENTIATOR, 3-HILBERT TRANSFORM
C FILTER. NUMBER OF BANDS, FILE WRITE DESIRED, AND GRID
C DENSITY.
C
C REC. 2--BANDEDGES, LOWER AND UPPER EDGES FOR EACH BAND
C WITH A MAXIMUM OF 10 BANDS.
C
C REC. 3--DESIRED FUNCTION (OR DESIRED SLOPE IF A
C DIFFERENTIATOR) FOR EACH BAND.
C
C REC. 4--WEIGHT FUNCTION IN EACH BAND. FOR A
C DIFFERENTIATOR, THE WEIGHT FUNCTION IS INVERSELY
C PROPORTIONAL TO F.
C
C THE FOLLOWING INPUT DATA SPECIFIES A LENGTH 32 BANDPASS
C FILTER WITH STOPBANDS 0 TO 0.1 AND 0.425 TO 0.5, AND
C PASSBAND FROM 0.2 TO 0.35 WITH WEIGHTING OF 10 IN THE
C STOPBANDS AND 1 IN THE PASSBAND. THE IMPULSE RESPONSE
C WILL BE WRITE A FILE AND THE GRID DENSITY IS 32.
C
C SAMPLE INPUT DATA SETUP
C 32,1,3,1,32
C 0,0.1,0.2,0.35,0.425,0.5
C 0,1,0
C 10,1,10
C
C THE FOLLOWING INPUT DATA SPECIFIES A LENGTH 32 WIDEBAND
C DIFFERENTIATOR WITH SLOPE 1 AND WEIGHTING OF 1/F. THE
C IMPULSE RESPONSE WILL NOT BE WRITE A FILE AND THE GRID
C DENSITY IS ASSUMED TO BE 16.
C
C 32,2,1,0,0
C 0,0.5
C 1.0
C 1.0
C
CHARACTER PRFL *12,VSTATUS *3,VANF *1
COMMON P12,AD,DEV,X,Y,GRID,DES,WT,ALPHA,IEXT,NFCNS,NGRID
DIMENSION IEXT(66),AD(66),ALPHA(66),X(66),Y(66)

```
DIMENSION H(66)
DIMENSION DES(1045),GRID(1045),WT(1045)
DIMENSION EDGE(20),FX(10),WTX(10),DEVIAT(10)
DOUBLE PRECISION PI2,PI
DOUBLE PRECISION AD,DEV,X,Y
PI2=6.283185307179586
PI=3.141592653589793

C
C THE PROGRAM IS SET UP FOR A MAXIMUM LENGTH OF 128, BUT
C THIS UPPER LIMIT CAN BE CHANGED BY REDIMENSIONING THE
C ARRAYS IEXT, AD, ALPHA, X, Y, H TO BE NFMAX/2 + 2.
C THE ARRAYS DES, GRID, AND WT MUST DIMENSIONED
C 16(NFMAX/2 + 2).
C
C NFMAX=128
100 CONTINUE
    JTYPE=0
C
C PROGRAM INPUT SECTION
C
    WRITE (*,*) 'Type in FILE , STATUS (NEW/OLD).'
    READ (*,*) PRFL,VSTATUS
    IF(VSTATUS.EQ.'OLD') GO TO 110
    WRITE (*,*) 'Type in NFILT , JTYPE , NBANDS , JPUNCH , LGRID.'
    READ (*,*) NFILT,JTYPE,NBANDS,JPUNCH,LGRID
    JB=2*NBANDS
    WRITE (*,*) 'Type in EDGE(J).'
    READ (*,*) (EDGE(J),J=1,JB)
    WRITE (*,*) 'Type in FX(J).'
    READ (*,*) (FX(J),J=1,NBANDS)
    WRITE (*,*) 'Type in WTX(J).'
    READ (*,*) (WTX(J),J=1,NBANDS)
    WRITE (*,*) 'OPEN A NEW FILE (Y/N) ?'
    READ (*,*) VANF
    IF(VANF.NE.'Y') GO TO 120
C
    OPEN (10,FILE=PRFL,STATUS='NEW',FORM='UNFORMATTED')
    WRITE (10) NFILT,JTYPE,NBANDS,JPUNCH,LGRID
    WRITE (10) (EDGE(J),J=1,JB)
    WRITE (10) (FX(J),J=1,NBANDS)
    WRITE (10) (WTX(J),J=1,NBANDS)
    CLOSE (10)
    GO TO 120
C
110 OPEN (10,FILE=PRFL,STATUS='OLD',FORM='UNFORMATTED')
    READ (10) NFILT,JTYPE,NBANDS,JPUNCH,LGRID
    JB=2*NBANDS
    READ (10) (EDGE(J),J=1,JB)
    READ (10) (FX(J),J=1,NBANDS)
    READ (10) (WTX(J),J=1,NBANDS)
    CLOSE (10)
C
120 IF(NFILT.GT.NFMAX.OR.NFILT.LT.3) CALL ERROR
```

```
IF(NBANDS.LE.0) NBANDS=1
C
C GRID DENSITY IS ASSUMED TO BE 16 UNLESS SPECIFIED
C OTHERWISE
C
IF(LGRID.LE.0) LGRID=16
IF(JTYPE.EQ.0) CALL ERROR
NEG=1
IF(JTYPE.EQ.1) NEG=0
NODD=NFLILT/2
NODD=NFLILT-2*NODD
NFCNS=NFLILT/2
IF(NODD.EQ.1.AND.NEG.EQ.0) NFCNS=NFCNS+1
C
C SET UP THE DENSE GRID. THE NUMBER OF POINTS IN THE GRID
C IS (FILTER LENGTH + 1) *GRID DENSITY/2
C
GRID(1)=EDGE(1)
DELF=LGRID*NFCNS
DELF=0.5/DELF
IF(NEG.EQ.0) GO TO 135
IF(EDGE(1).LT.DEFL) GRID(1)=DEFL
135 CONTINUE
J=1
L=1
LBAND=1
140 FUP=EDGE(L+1)
145 TEMP=GRID(J)
C
C CALCULATE THE DESIRED MAGNITUDE RESPONSE AND THE WEIGHT
C FUNCTION ON THE GRID
C
DES(J)=EFF(TEMP,FX,WTX,LBAND,JTYPE)
WT(J)=WATE(TEMP,FX,WTX,LBAND,JTYPE)
J=J+1
GRID(J)=TEMP+DELF
IF(GRID(J).GT.FUP) GO TO 150
GO TO 145
150 GRID(J-1)=FUP
DES(J-1)=EFF(FUP,FX,WTX,LBAND,JTYPE)
WT(J-1)=WATE(FUP,FX,WTX,LBAND,JTYPE)
LBAND=LBAND+1
L=L+2
IF(LBAND.GT.NBANDS) GO TO 160
GRID(J)=EDGE(L)
GO TO 140
160 NGRID=J-1
IF(NEG.NE.NODD) GO TO 165
IF(GRID(NGRID).GT.(0.5-DELF)) NGRID=NGRID-1
165 CONTINUE
C
C SET UP A NEW APPROXIMATION PROBLEM WHICH IS EQUIVALENT
C TO THE ORIGINAL PROBLEM
```

C
IF(NEG) 170,170,180
170 IF(NODD.EQ.1) GO TO 200
DO 175 J=1,NGRID
CHANGE=DCOS(PI*GRID(J))
DES(J)=DES(J)/CHANGE
WT(J)=WT(J)*CHANGE
GO TO 200
180 IF(NODD.EQ.1) GO TO 190
DO 185 J=1,NGRID
CHANGE=DSIN(PI*GRID(J))
DES(J)=DES(J)/CHANGE
WT(J)=WT(J)*CHANGE
GO TO 200
190 DO 195 J=1,NGRID
CHANGE=DSIN(PI2*GRID(J))
DES(J)=DES(J)/CHANGE
WT(J)=WT(J)*CHANGE
C
C INITIAL GUESS FOR THE EXTREMAL FREQUENCIES--EQUALLY
C SPACED ALONG THE GRID
C
200 TEMP=FLOAT(NGRID-1)/FLOAT(NFCNS)
DO 210 J=1,NFCNS
210 IEXT(J)=(J-1)*TEMP+1
IEXT(NFCNS+1)=NGRID
NM1=NFCNS-1
NZ=NFCNS+1
C
C CALL THE REMEZ EXCHANGE ALGORITHM TO DO THE APPROXIMATION
C PROBLEM
C
CALL REMEZ(EDGE,NBANDS)
C
C CALCULATE THE IMPULSE RESPONSE.
C
IF(NEG) 300,300,320
300 IF(NODD.EQ.0) GO TO 310
DO 305 J=1,NM1
305 H(J)=0.5*ALPHA(NZ-J)
H(NFCNS)=ALPHA(1)
GO TO 350
310 H(1)=0.25*ALPHA(NFCNS)
DO 315 J=2,NM1
315 H(J)=0.25*(ALPHA(NZ-J)+ALPHA(NFCNS+2-J))
H(NFCNS)=0.5*ALPHA(1)+0.25*ALPHA(2)
GO TO 350
320 IF(NODD.EQ.0) GO TO 330
H(1)=0.25*ALPHA(NFCNS)
H(2)=0.25*ALPHA(NM1)
DO 325 J=3,NM1
325 H(J)=0.25*(ALPHA(NZ-J)-ALPHA(NFCNS+3-J))
H(NFCNS)=0.5*ALPHA(1)-0.25*ALPHA(3)

```
H(NZ)=0.0
GO TO 350
330 H(1)=0.25*ALPHA(NFCNS)
DO 335 J=2,NM1
335 H(J)=0.25*(ALPHA(NZ-J)-ALPHA(NFCNS+2-J))
H(NFCNS)=0.5*ALPHA(1)-0.25*ALPHA(2)

C
C PROGRAM OUTPUT SECTION.
C
350 WRITE (*,*) 'VDU , PRN or a FILE (CON/LPT1 or 2 /FILE) ?'
READ (*,*) PRFL
WRITE (*,*) 'Type in STATUS (NEW/OLD) ?'
READ (*,*) VSTATUS
IF(VSTATUS.EQ.'NEW') THEN
OPEN (20,FILE=PRFL,STATUS='NEW')
ELSE
OPEN (20,FILE=PRFL)
END IF
355 WRITE (20,360)
360 FORMAT(70(1H*)//25X,'FINITE IMPULSE RESPONSE (FIR)'/'
+ 25X,'LINEAR PHASE DIGITAL FILTER DESIGN'/
+ 25X,'REMEZ EXCHANGE ALGORITHM'/
IF(JTYPE.EQ.1) WRITE (20,365)
365 FORMAT(25X,'BANDPASS FILTER'/
IF(JTYPE.EQ.2) WRITE (20,370)
370 FORMAT(25X,'DIFFERENTIATOR'/
IF(JTYPE.EQ.3) WRITE (20,375)
375 FORMAT(25X,'HILBERT TRANSFORMER'/
WRITE (20,378) NFILT
378 FORMAT(15X,'FILTER LENGTH = ',13/)
WRITE (20,380)
380 FORMAT(15X,'* * * * * IMPULSE RESPONSE * * * * *')
DO 381 J=1,NFCNS
K=Nfilt+1-J
IF(NEG.EQ.0) WRITE (20,382) J,H(J),K
IF(NEG.EQ.1) WRITE (20,383) J,H(J),K
381 CONTINUE
382 FORMAT(20X,'H(',13,') = ',E15.8,' = H(',14,')')
383 FORMAT(20X,'H(',13,') = ',E15.8,' = -H(',14,')')
IF(NEG.EQ.1.AND.NODD.EQ.1) WRITE (20,384) NZ
384 FORMAT(20X,'H(',13,') = 0.0')
DO 450 K=1,NBANDS,4
KUP=K+3
IF(KUP.GT.NBANDS) KUP=NBANDS
WRITE (20,385) ('BAND',J,J=K,KUP)
385 FORMAT(/24X,4(A4,13.8X))
WRITE (20,390) (EDGE(2*j-1),J=K,KUP)
390 FORMAT(2X,'LOWER BAND EDGE',5F15.9)
WRITE (20,395) (EDGE(2*j),J=K,KUP)
395 FORMAT(2X,'UPPER BAND EDGE',5F15.9)
IF(JTYPE.NE.2) WRITE (20,400) (FX(j),J=K,KUP)
400 FORMAT(2X,'DESIRED VALUE',2X,5F15.9)
IF(JTYPE.EQ.2) WRITE (20,405) (FX(j),J=K,KUP)
```

```
405 FORMAT(2X,'DESIRED SLOPE',2X,5F15.9)
      WRITE (20,410) (WTX(J),J=K,KUP)
410 FORMAT(2X,'WEIGHTING',6X,5F15.9)
      DO 420 J=K,KUP
420 DEVIAT(J)=DEV/WTX(J)
      WRITE (20,425) (DEVIAT(J),J=K,KUP)
425 FORMAT(2X,'DEVIATION',6X,5F15.9)
      IF(JTYPE.NE.1) GO TO 450
      DO 430 J=K,KUP
430 DEVIAT(J)=20.0* ALOG10(DEVIAT(J))
      WRITE (20,435) (DEVIAT(J),J=K,KUP)
435 FORMAT(2X,'DEVIATION IN DB',5F15.9)
450 CONTINUE
      WRITE (20,455) (GRID(IEXT(J)),J=1,NZ)
455 FORMAT(/2X,'EXTREMAL FREQUENCIES'/(2X,5F12.7))
      WRITE (20,460)
460 FORMAT(/,70(1H*))
      CLOSE (20)
      IF(JPUNCH.EQ.0) GO TO 480
      NFCNS=NFLT/2
      NZ=NFCNS+1
      WRITE (*,*) 'Type in H(n) output FILE.'
      READ (*,*) PRFL
      OPEN (30,FILE=PRFL,STATUS='NEW')
      WRITE (30,490) (H(J),J=1,NFCNS)
      IF(NODD.EQ.0) GO TO 470
      WRITE (30,490) H(NZ)
      IF(NEG.NE.0) H(J)=-H(J)
      WRITE (30,490) (H(J),J=NFCNS,1,-1)
490 FORMAT(E15.8)
      CLOSE (30)
480 STOP
      END
C
      FUNCTION EFF(TEMP,FX,WTX,LBAND,JTYPE)
C
C   FUNCTION TO CALCULATE THE DESIRED MAGNITUDE RESPONSE
C   AS A FUNCTION OF FREQUENCY.
C
      DIMENSION FX(5),WTX(5)
      IF(JTYPE.EQ.2) GO TO 1
      EFF=FX(LBAND)
      RETURN
1     EFF=FX(LBAND)*TEMP
      RETURN
      END
C
      FUNCTION WATE(TEMP,FX,WTX,LBAND,JTYPE)
C
C   FUNCTION TO CALCULATE THE WEIGHT FUNCTION AS A FUNCTION
C   OF FREQUENCY.
C
      DIMENSION FX(5),WTX(5)
```

```
IF(JTYPE.EQ.2) GO TO 1
WATE=WTX(LBAND)
RETURN
1 IF(FX(LBAND).LT.0.0001) GO TO 2
WATE=WTX(LBAND)/TEMP
RETURN
2 WATE=WTX(LBAND)
RETURN
END

C
SUBROUTINE ERROR
WRITE (*,1)
1 FORMAT(' * * * * * * * ERROR IN INPUT DATA * * * * * * ')
STOP
END

C
SUBROUTINE REMEZ(EDGE,NBANDS)
C THIS SUBROUTINE IMPLEMENTS THE REMEZ EXCHANGE ALGORITHM
C FOR THE WEIGHTED CHEBYCHEV APPROXIMATION OF A CONTINUOUS
C FUNCTION WITH A SUM OF COSINES.  INPUTS TO THE SUBROUTINE
C ARE A DENSE GRID WHICH REPLACES THE FREQUENCY AXIS, THE
C DESIRED FUNCTION ON THIS GRID, THE WEIGHT FUNCTION ON THE
C GRID, THE NUMBER OF COSINES, AND AN INITIAL GUESS OF THE
C EXTREMAL FREQUENCIES.  THE PROGRAM MINIMIZES THE CHEBYCHEV
C ERROR BY DETERMINING THE BEST LOCATION OF THE EXTREMAL
C FREQUENCIES (POINTS OF MAXIMUM ERROR) AND THEN CALCULATES
C THE COEFFICIENTS OF THE BEST APPROXIMATION.
C
COMMON PI2,AD,DEV,X,Y,GRID,DES,WT,ALPHA,IEXT,NFCNS,NGRID
DIMENSION EDGE(20)
DIMENSION IEXT(66),AD(66),ALPHA(66),X(66),Y(66)
DIMENSION DES(1045),GRID(1045),WT(1045)
DIMENSION A(66),P(65),Q(65)
DOUBLE PRECISION PI2,DNUM,DDEN,DTEMP,A,P,Q
DOUBLE PRECISION AD,DEV,X,Y
C
C THE PROGRAM Allows A MAXIMUM NUMBER OF ITERATIONS OF 25
C
ITRMAX=25
DEVL=-1.0
NZ=NFCNS+1
NZZ=NFCNS+2
NITER=0
100 CONTINUE
IEXT(NZZ)=NGRID+1
NITER=NITER+1
IF(NITER.GT.ITRMAX) GO TO 400
DO 110 J=1,NZ
DTEMP=GRID(IEXT(J))
DTEMP=DCOS(DTEMP*PI2)
110 X(J)=DTEMP
JET=(NFCNS-1)/15+1
DO 120 J=1,NZ
```

120 AD(J)=D(J,NZ,JET) GO TO 200
DNUM=0.0
DDEN=0.0
K=1
DO 130 J=1,NZ
L=IEXT(J)
DTEMP=AD(J)*DES(L)
DNUM=DNUM+DTEMP
DTEMP=K*AD(J)/WT(L)
DDEN=DDEN+DTEMP
130 K=-K GO TO 200
DEV=DNUM/DDEN
NU=1
IF(DEV.GT.0.0) NU=-1
DEV=-NU*DEV GO TO 200
K=NU GO TO 200
DO 140 J=1,NZ
L=IEXT(J)
DTEMP=K*DEV/WT(L)
Y(J)=DES(L)+DTEMP
140 K=-K
IF(DEV.GE.DEVL) GO TO 150
CALL DUCH
GO TO 400
150 DEVL=DEV
JCHNGE=0
K1=IEXT(1)
KNZ=IEXT(NZ)
KLOW=0
NUT=-NU
J=1
C
C SEARCH FOR THE EXTREMAL FREQUENCIES OF THE BEST
C APPROXIMATION
C
200 IF(J.EQ.NZZ) YNZ=COMP
IF(J.GE.NZZ) GO TO 300
KUP=IEXT(J+1)
L=IEXT(J)+1
NUT=-NUT
IF(J.EQ.2) Y1=COMP
COMP=DEV
IF(L.GE.KUP) GO TO 220
ERR=GEE(L,NZ)
ERR=(ERR-DES(L))*WT(L)
DTEMP=NUT*ERR-COMP
IF(DTEMP.LE.0.0) GO TO 220
COMP=NUT*ERR
210 L=L+1
IF(L.GE.KUP) GO TO 215
ERR=GEE(L,NZ)
ERR=(ERR-DES(L))*WT(L)
DTEMP=NUT*ERR-COMP

```
IF(DTEMP.LE.0.0) GO TO 215
COMP=NUT*ERR
GO TO 210
215 IEXT(J)=L-1
J=J+1
KLOW=L-1
JCHNGE=JCHNGE+1
GO TO 200
220 L=L-1
225 L=L-1
IF(L.LE.KLOW) GO TO 250
ERR=GEE(L,NZ)
ERR=(ERR-DES(L))*WT(L)
DTEMP=NUT*ERR-COMP
IF(DTEMP.GT.0.0) GO TO 230
IF(JCHNGE.LE.0) GO TO 225
GO TO 260
230 COMP=NUT*ERR
235 L=L-1
IF(L.LE.KLOW) GO TO 240
ERR=GEE(L,NZ)
ERR=(ERR-DES(L))*WT(L)
DTEMP=NUT*ERR-COMP
IF(DTEMP.LE.0.0) GO TO 240
COMP=NUT*ERR
GO TO 235
240 KLOW=IEXT(J)
IEXT(J)=L+1
J=J+1
JCHNGE=JCHNGE+1
GO TO 200
250 L=IEXT(J)+1
IF(JCHNGE.GT.0) GO TO 215
255 L=L+1
IF(L.GE.KUP) GO TO 260
ERR=GEE(L,NZ)
ERR=(ERR-DES(L))*WT(L)
DTEMP=NUT*ERR-COMP
IF(DTEMP.LE.0.0) GO TO 255
COMP=NUT*ERR
GO TO 210
260 KLOW=IEXT(J)
J=J+1
GO TO 200
300 IF(J.GT.NZZ) GO TO 320
IF(K1.GT.IEXT(1)) K1=IEXT(1)
IF(KNZ.LT.IEXT(NZ)) KNZ=IEXT(NZ)
NUT1=NUT
NUT=-NU
L=0
KUP=K1
COMP=INZ*(1.00001)
LUCK=1
```

310 L=L+1
IF(L.GE.KUP) GO TO 315
ERR=GEE(L,NZ)
ERR=(ERR-DES(L))*WT(L)
DTEMP=NUT*ERR-COMP
IF(DTEMP.LE.0.0) GO TO 310
COMP=NUT*ERR
J=NZZ
GO TO 210

315 LUCK=6
GO TO 325

320 IF(LUCK.GT.9) GO TO 350
IF(COMP.GT.Y1) Y1=COMP
K1=IEXT(NZZ)

325 L=NGRID+1
KLOW=KNZ
NUT=-NUT1
COMP=Y1*(1.00001)

330 L=L-1
IF(L.LE.KLOW) GO TO 340
ERR=GEE(L,NZ)
ERR=(ERR-DES(L))*WT(L)
DTEMP=NUT*ERR-COMP
IF(DTEMP.LE.0.0) GO TO 330
J=NZZ
COMP=NUT*ERR
LUCK=LUCK+10
GO TO 235

340 IF(LUCK.EQ.6) GO TO 370
DO 345 J=1,NFCNS

345 IEXT(NZZ-J)=IEXT(NZ-J)
IEXT(1)=K1
GO TO 100

350 KN=IEXT(NZZ)
DO 360 J=1,NFCNS

360 IEXT(J)=IEXT(J+1)
IEXT(NZ)=KN
GO TO 100

370 IF(JCHNGE.GT.0) GO TO 100

C

C CALCULATION OF THE COEFFICIENTS OF THE BEST APPROXIMATION

C USING THE INVERSE DISCRETE FOURIER TRANSFORM

C

400 CONTINUE
NM1=NFCNS-1
FSH=1.0E-06
GTEMP=GRID(1)
X(NZZ)=-2.0
CN=2*NFCNS-1
DELF=1.0/CN
L=1
KKK=0
IF(EDGE(1).EQ.0.0.AND.EDGE(2*NBANDS).EQ.0.5) KKK=1

```
IF(NFCNS.LE.3) KKK=1
IF(KKK.EQ.1) GO TO 405
DTEMP=DCOS(P12*GRID(1))
DNUM=DCOS(P12*GRID(NGRID))
AA=2.0/(DTEMP-DNUM)
BB=-(DTEMP+DNUM)/(DTEMP-DNUM)
505 CONTINUE
DO 430 J=1,NFCNS
FT=(J-1)*DELF
XT=DCOS(P12*FT)
IF(KKK.EQ.1) GO TO 410
XT=(XT-BB)/AA
FT=ACOS(XT)/P12
410 XE=X(L)
IF(XT.GT.XE) GO TO 420
IF((XE-XT).LT.FSH) GO TO 415
L=L+1
GO TO 410
415 A(J)=Y(L)
GO TO 425
420 IF((XT-XE).LT.FSH) GO TO 415
GRID(1)=FT
A(J)=GEE(1,NZ)
425 CONTINUE
IF(L.GT.1) L=L-1
430 CONTINUE
GRID(1)=GTEMP
DDEN=P12/CN
DO 510 J=1,NFCNS
DTEMP=0.0
DNUM=(J-1)*DDEN
IF(NM1.LT.1) GO TO 505
DO 500 K=1,NM1
500 DTEMP=DTEMP+A(K+1)*DCOS(DNUH*K)
505 DTEMP=2.0*DTEMP+A(1)
510 ALPHA(J)=DTEMP
DO 550 J=2,NFCNS
550 ALPHA(J)=2*ALPHA(J)/CN
ALPHA(1)=ALPHA(1)/CN
IF(KKK.EQ.1) GO TO 545
P(1)=2.0*ALPHA(NFCNS)*BB+ALPHA(NM1)
P(2)=2.0*AA*ALPHA(NFCNS)
Q(1)=ALPHA(NFCNS-2)-ALPHA(NFCNS)
DO 540 J=2,NM1
IF(J.LT.NM1) GO TO 515
AA=0.5*AA
BB=0.5*BB
515 CONTINUE
P(J+1)=0.0
DO 520 K=1,J
A(K)=P(K)
520 P(K)=2.0*BB*A(K)
P(2)=P(2)+A(1)*2.0*AA
```

```
JM1=J-1
DO 525 K=1,JM1
525 P(K)=P(K)+Q(K)+AA*A(K+1)
JP1=J+1
DO 530 K=3,JP1
530 P(K)=P(K)+AA*A(K-1)
IF(J.EQ.NM1) GO TO 540
DO 535 K=1,J
535 Q(K)=-A(K)
Q(1)=Q(1)+ALPHA(NFCNS-1-J)
540 CONTINUE
DO 543 J=1,NFCNS
543 ALPHA(J)=P(J)
545 CONTINUE
IF(NFCNS.GT.3) RETURN
ALPHA(NFCNS+1)=0.0
ALPHA(NFCNS+2)=0.0
RETURN
END

C
C      DOUBLE PRECISION FUNCTION D(K,N,M)
C
C      FUNCTION TO CALCULATE THE LAGRANGE INTERPOLATION
C      COEFFICIENTS FOR USE IN THE FUNCTION THE GEE.
C
COMMON P12,AD,DEV,X,Y,GRID,DES,WT,ALPHA,IEXT,NFCNS,NGRID
DIMENSION IEXT(66),AD(66),ALPHA(66),X(66),Y(66)
DIMENSION DES(1045),GRID(1045),WT(1045)
DOUBLE PRECISION AD,DEV,X,Y
DOUBLE PRECISION Q
DOUBLE PRECISION P12
D=1.0
Q=X(K)
DO 3 L=1,M
DO 2 J=L,N,M
IF(J-K)1,2,1
1 D=2.0*D*(Q-X(J))
2 CONTINUE
3 CONTINUE
D=1.0/D
RETURN
END

C
C      DOUBLE PRECISION FUNCTION GEE(K,N)
C
C      FUNCTION TO EVALUATE THE FREQUENCY RESPONSE USING THE
C      LAGRANGE INTERPOLATION FORMULA IN THE BARYCENTRIC FORM
C
COMMON P12,AD,DEV,X,Y,GRID,DES,WT,ALPHA,IEXT,NFCNS,NGRID
DIMENSION IEXT(66),AD(66),ALPHA(66),X(66),Y(66)
DIMENSION DES(1045),GRID(1045),WT(1045)
DOUBLE PRECISION F,C,D,XF
DOUBLE PRECISION P12
```

```
DOUBLE PRECISION AD,DEV,X,Y
P=0.0
XF=GRID(K)
XF=DCOS(PI2*XF)
D=0.0
DO 1 J=1,N
C=XF-X(J)
C=AD(J)/C
D=D+C
1 P=P+C*Y(J)
GEE=P/D
RETURN
END
```

C

```
SUBROUTINE DUCH
WRITE (*,1)
1 FORMAT(' * * * * * FAILURE TO CONVERGE * * * * * */'
+ 'OPROBABLE CAUSE IS MACHINE ROUNDING ERROR'/
+ 'OTHE IMPULSE RESPONSE MAY BE CORRECT'/
+ 'OCHECK WITH A FREQUENCY RESPONSE')
RETURN
END
```

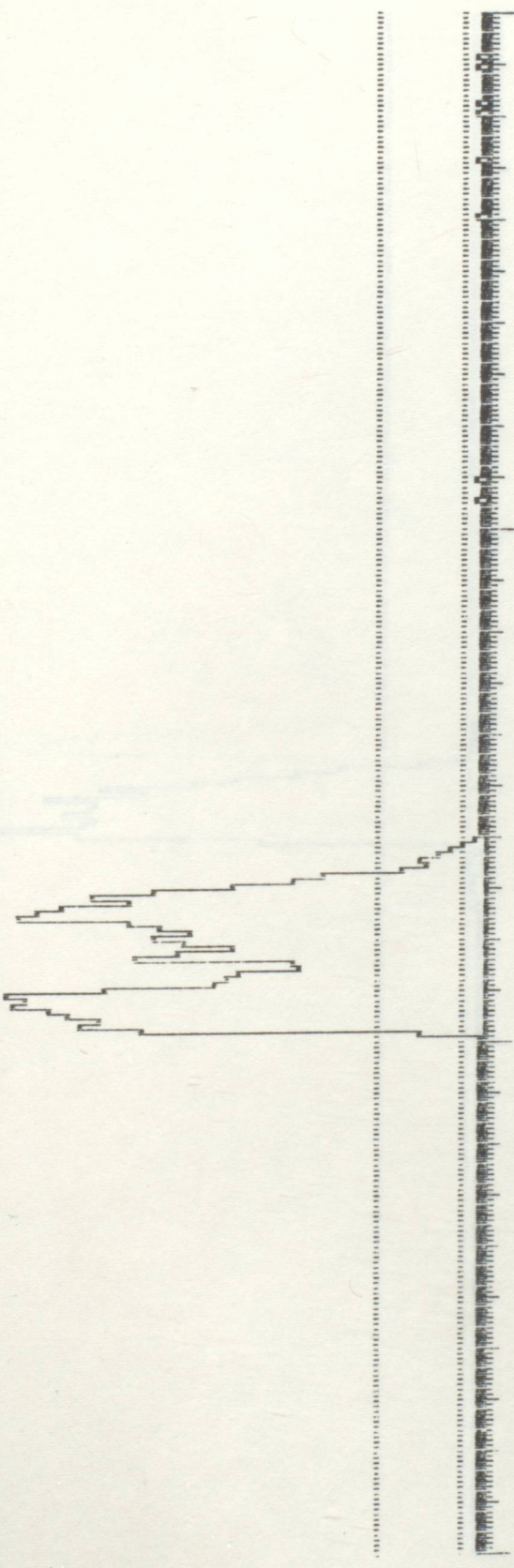
W
EK-D UYGULAMA SONUÇLARI

SİYAH ÇİNG

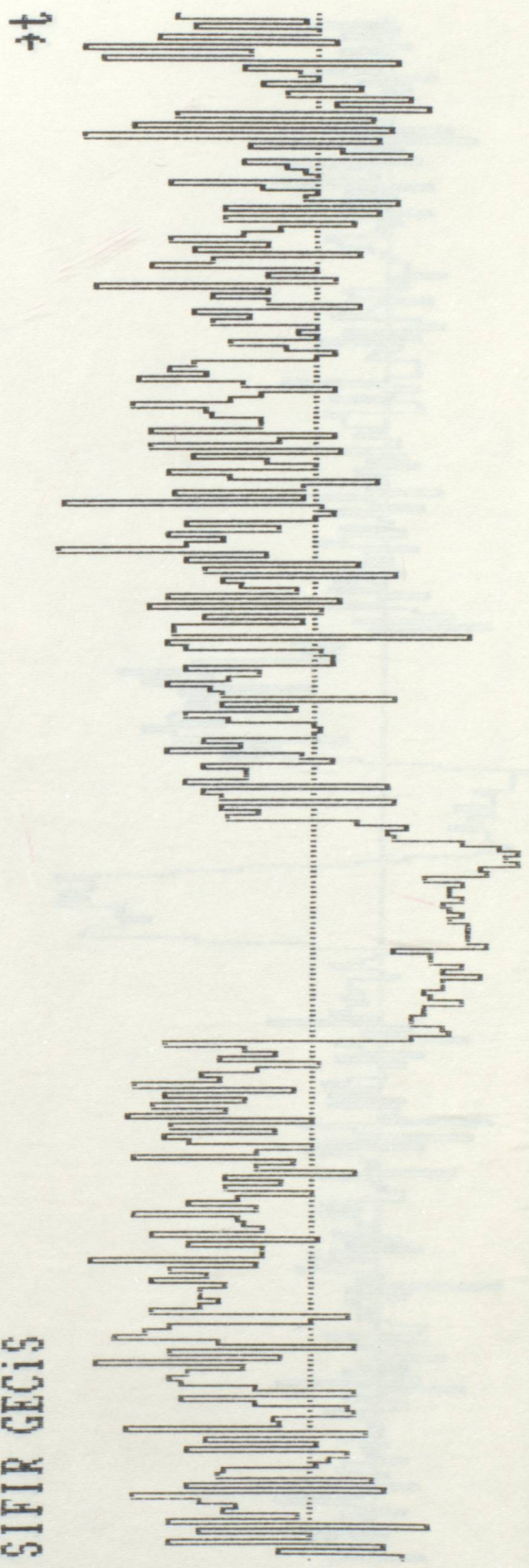
ERKE

DOSYA = ALO, EPA

$\rightarrow t$



SIFIR GECİS

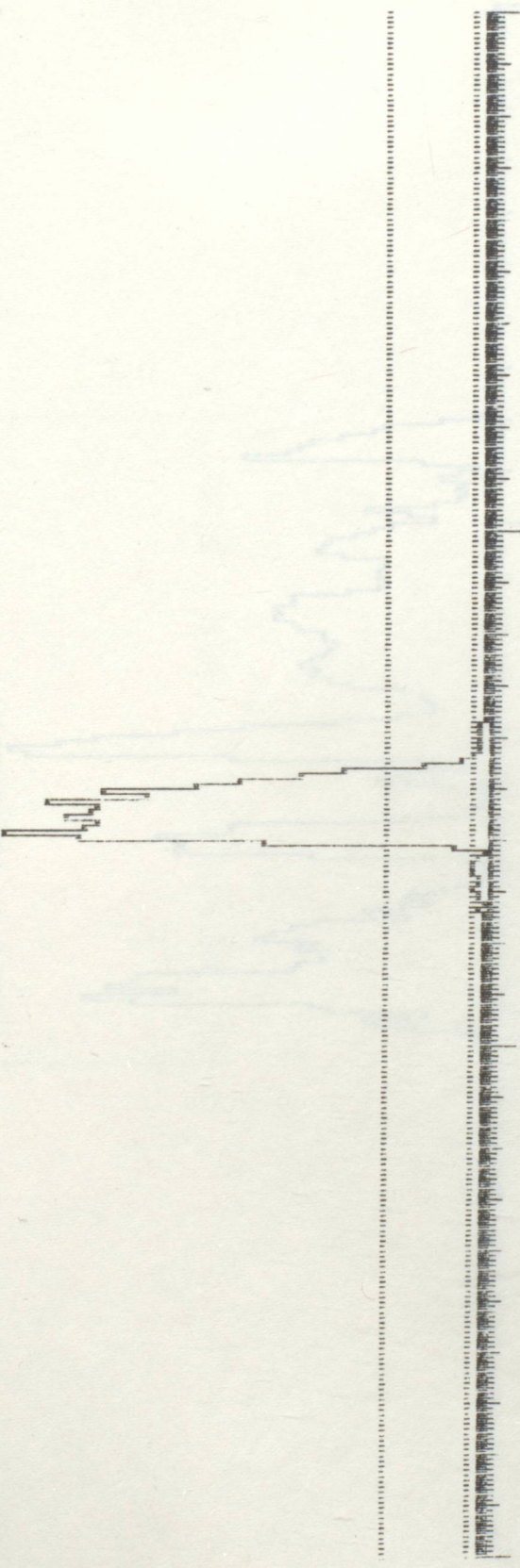


...
...
...
...
...

ERKE

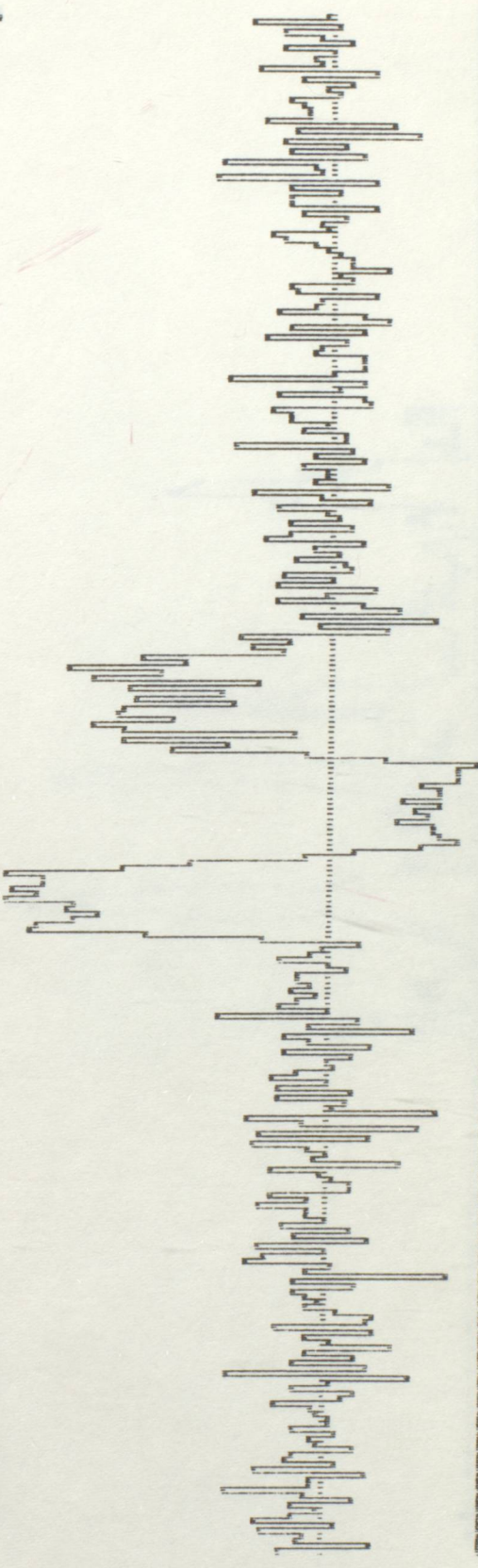
DOSYA = SES, EPA

+t



SIFIR GECİS

+t

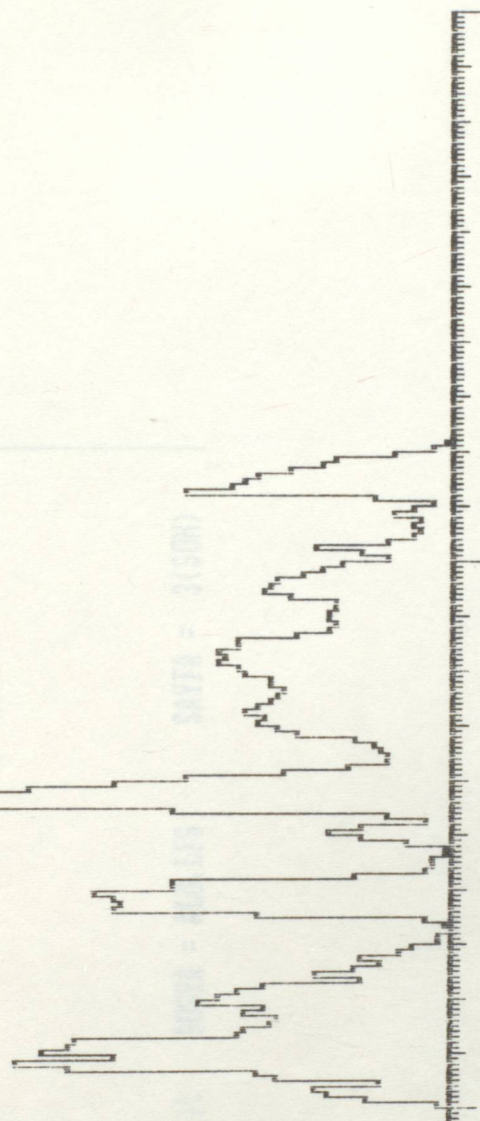


SESİNDEKİ SIFIR GECİSLERİN SAYISI: 10

ERKE

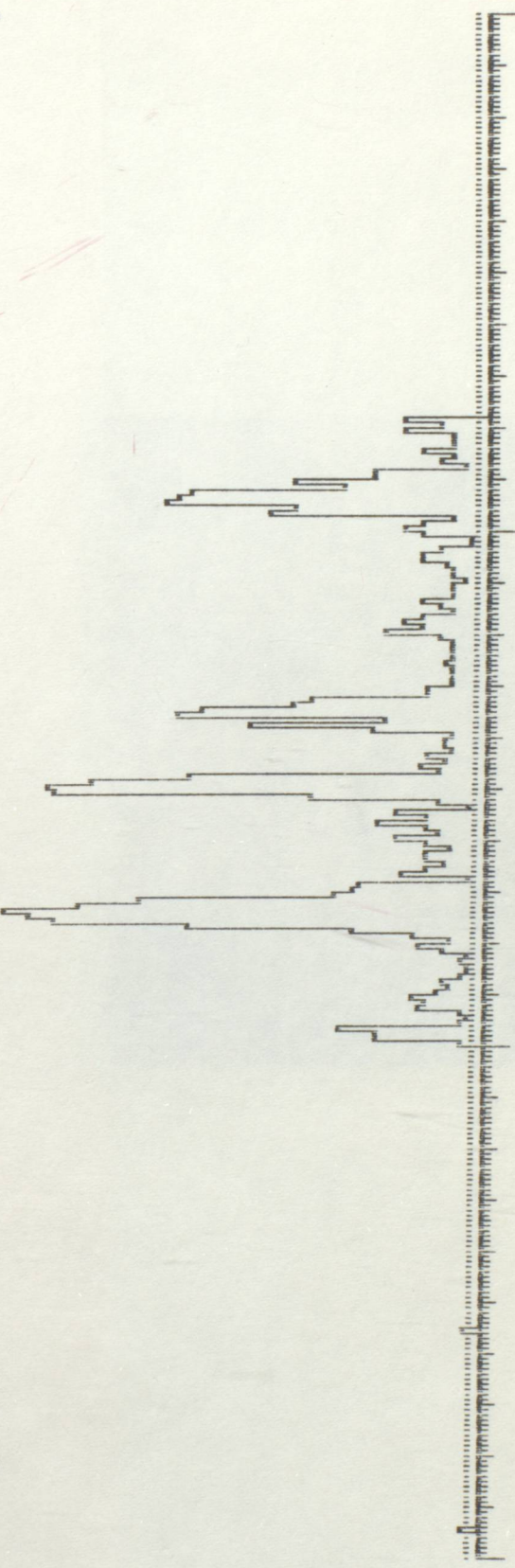
DOSYA = TUM1, EPA

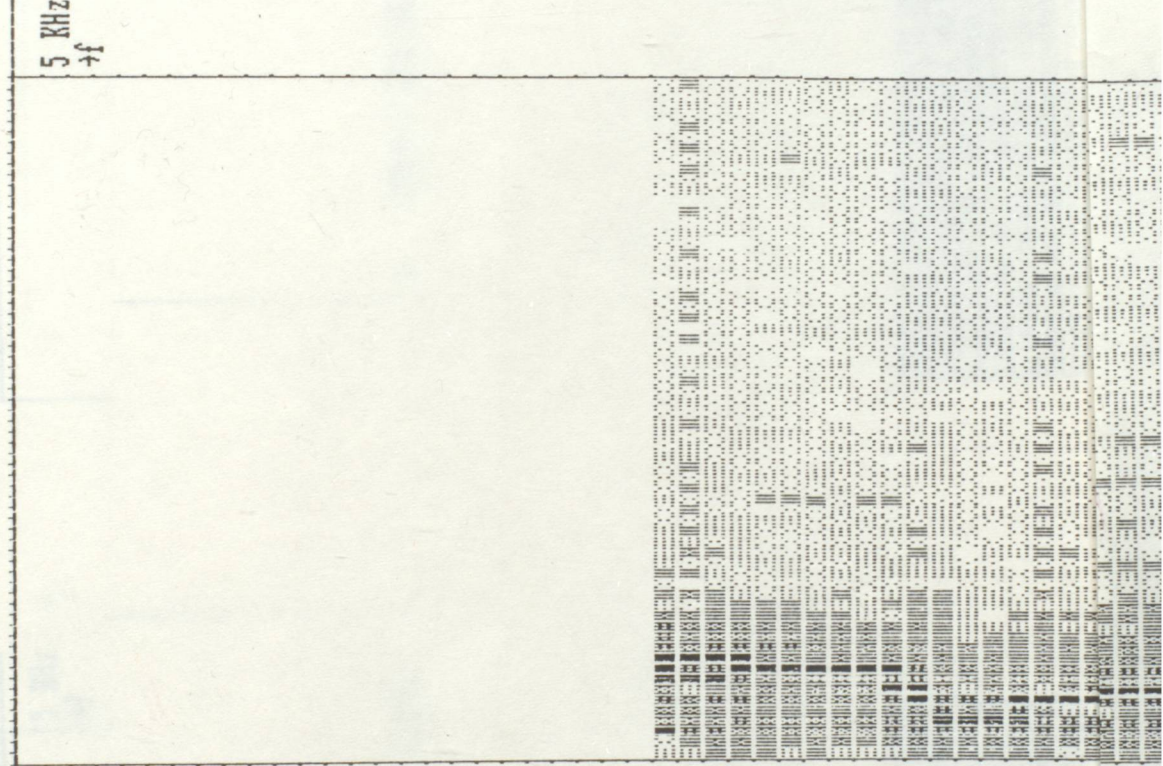
+t



SIFIR GECİS

+t

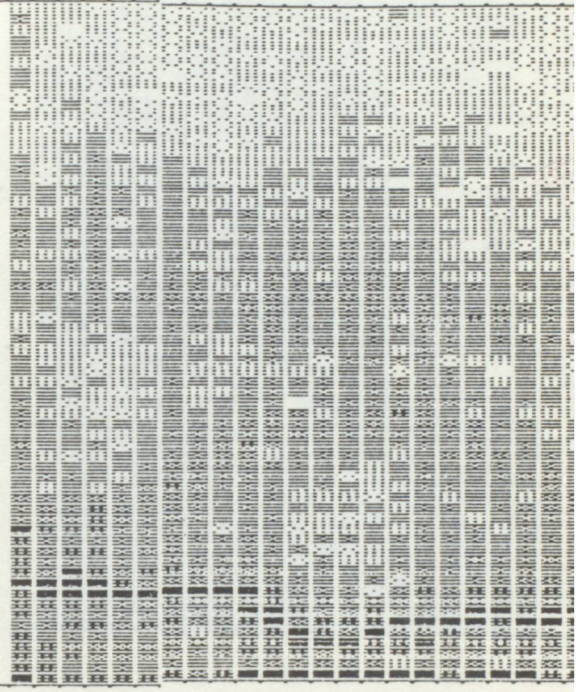




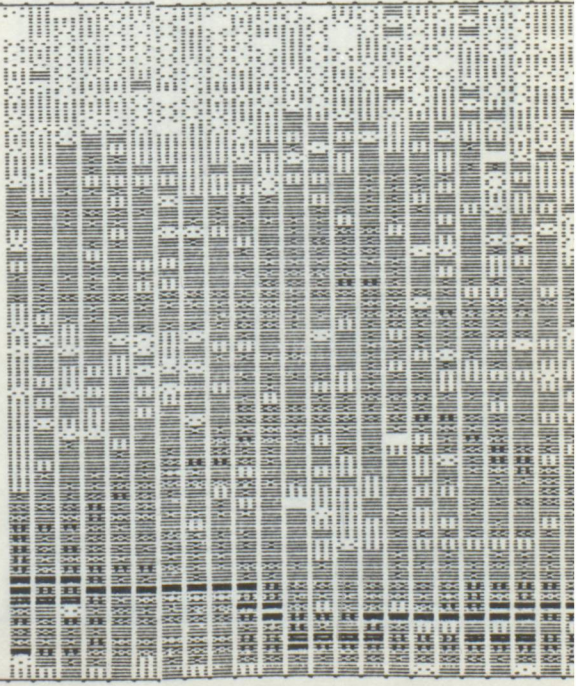
↓t DOSYA = ALO,LFS SAYFA = 3(SON)

↓t

5 kHz
+f



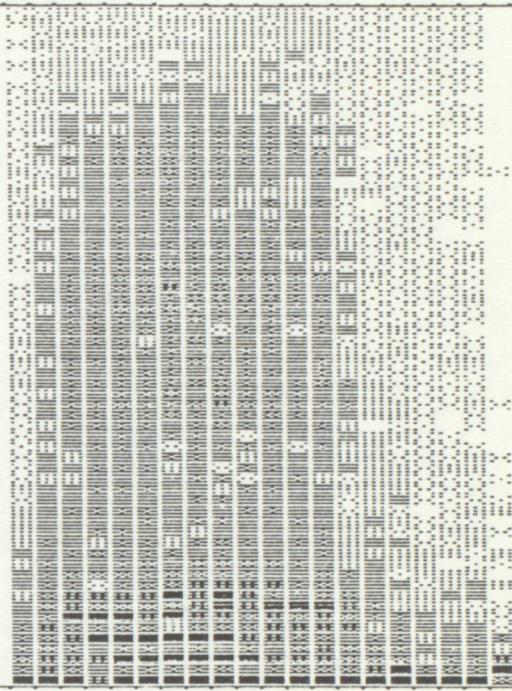
5 kHz
+f



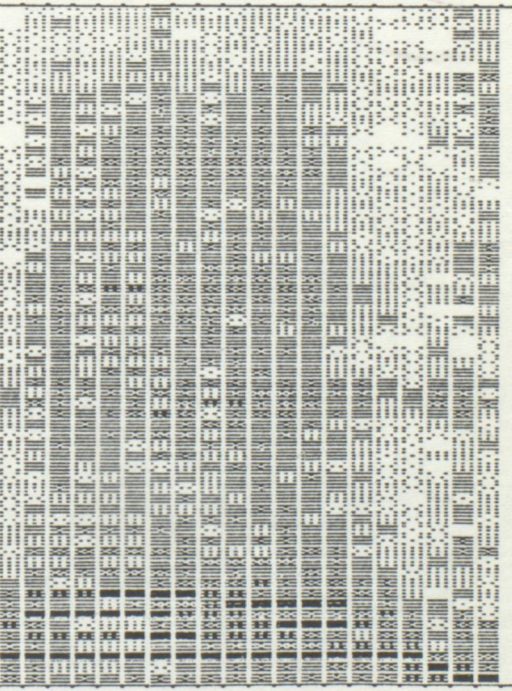
†t DOSYA = ALO.OTS SAYFA = 3 (SON)

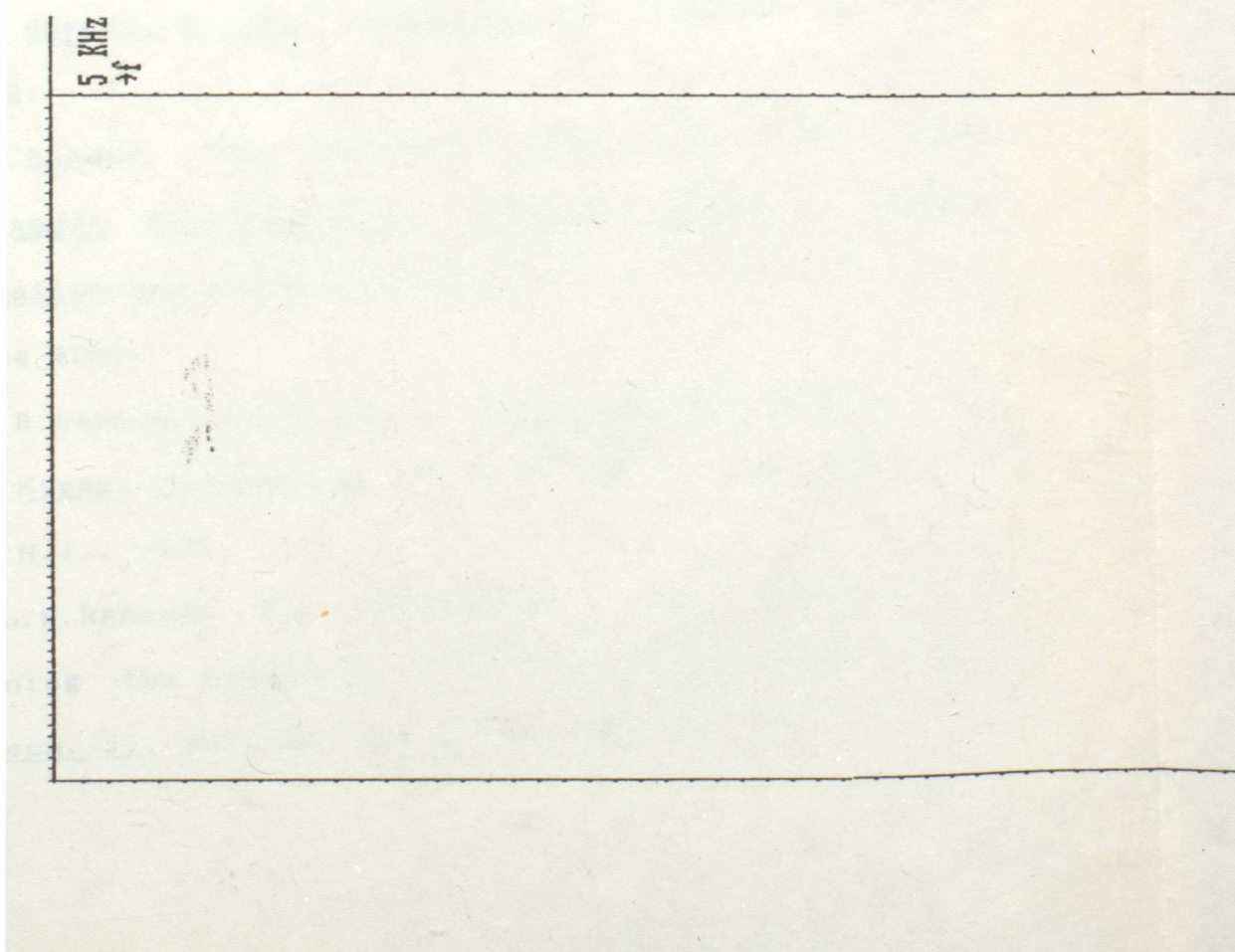
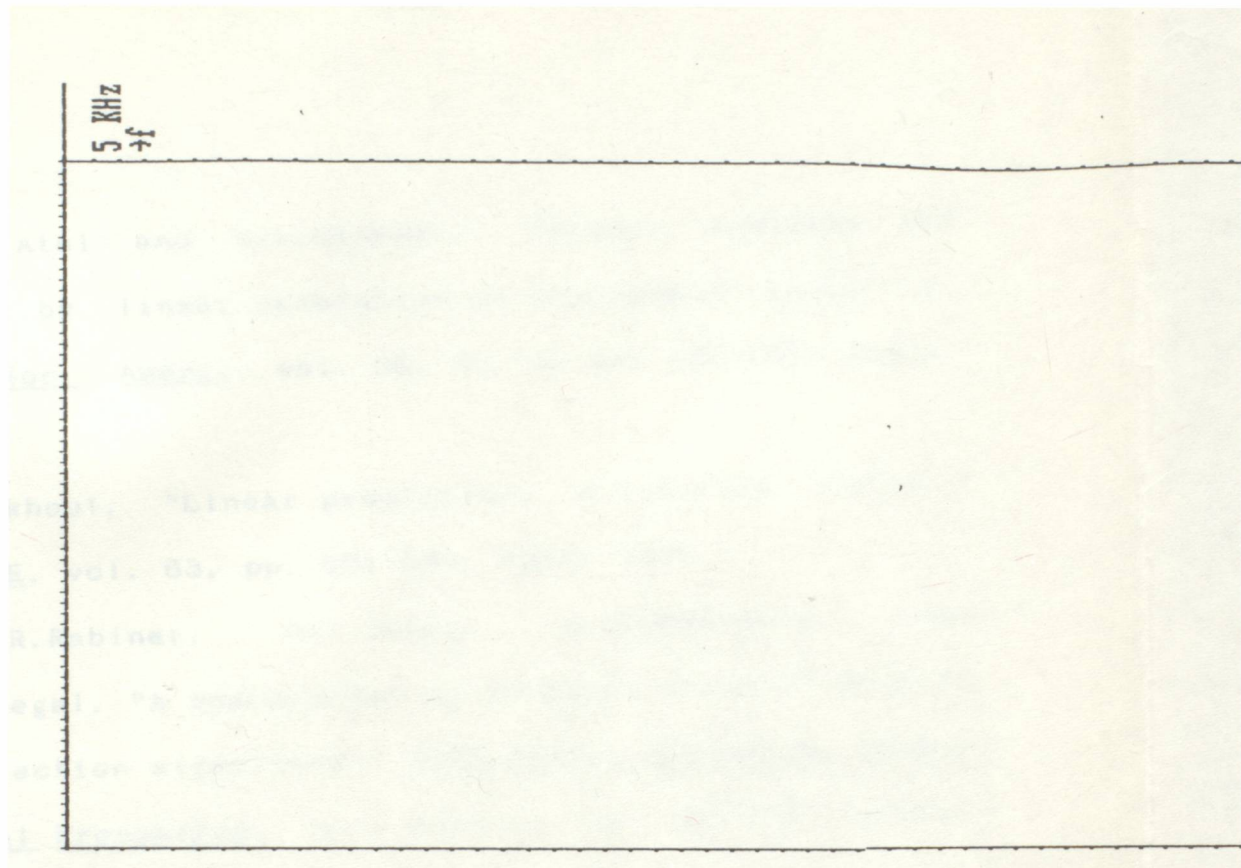
†t DOSYA = ALO.SFS SAYFA = 3 (SON)

5 KHz
f



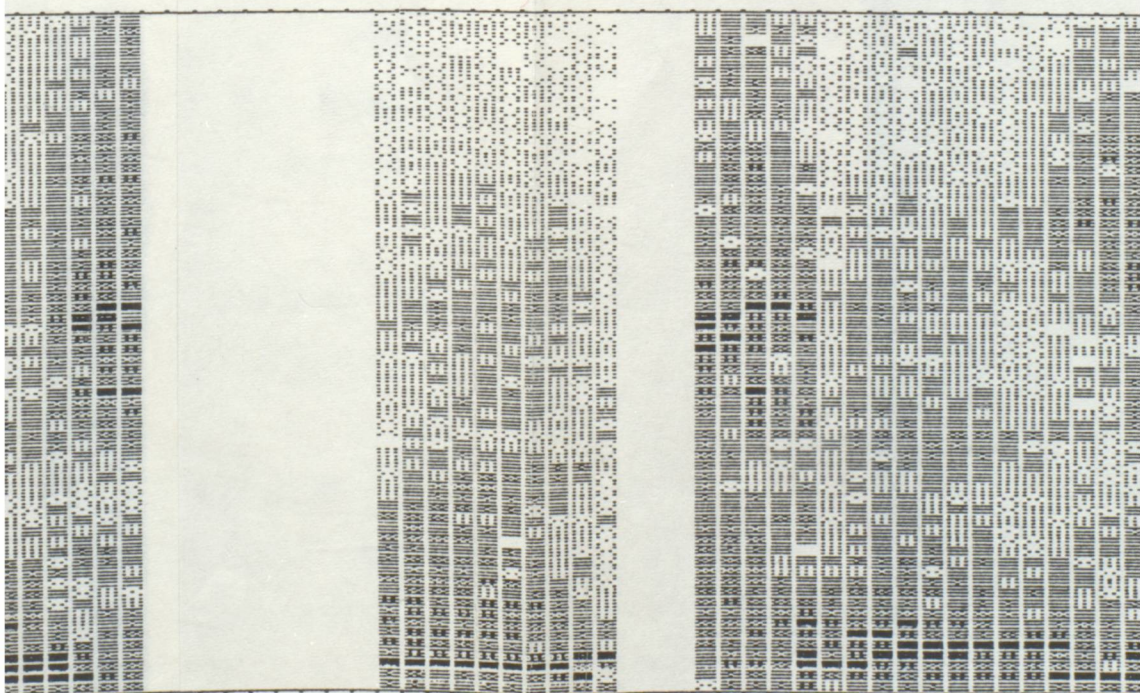
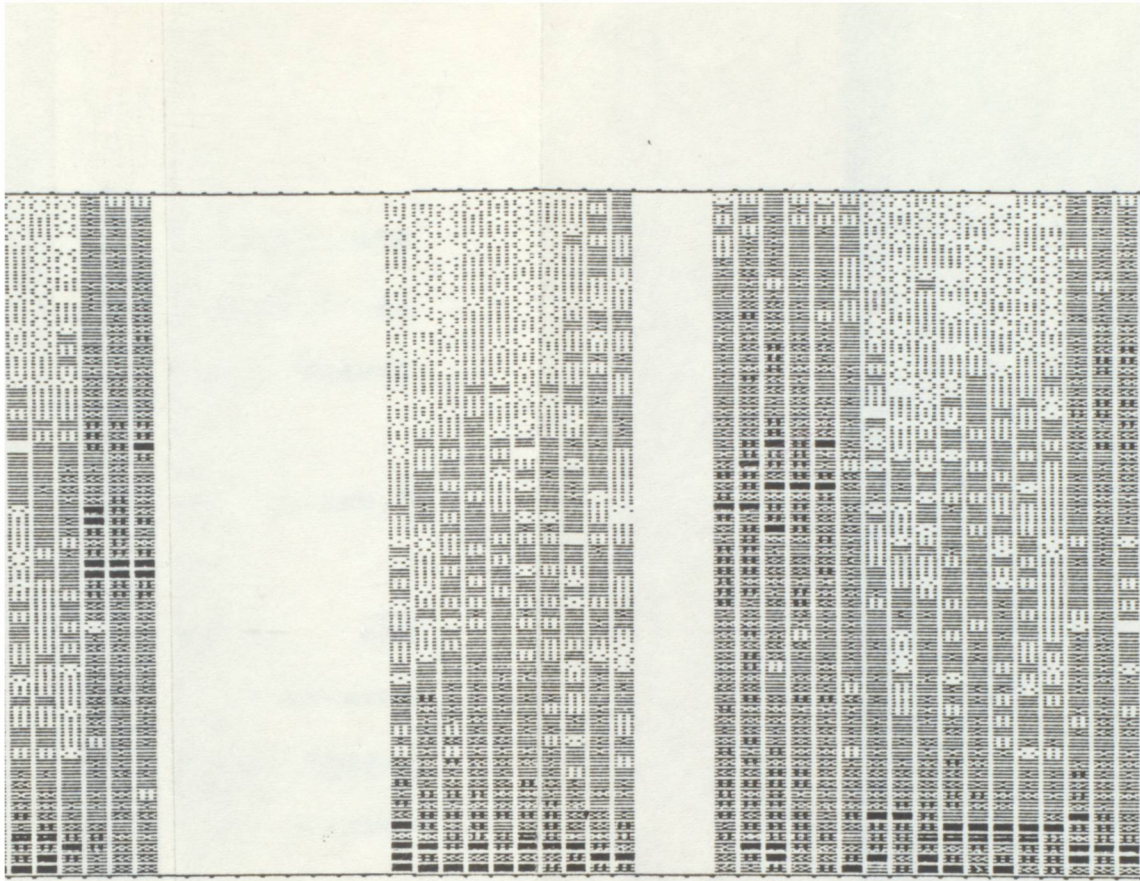
5 KHz
f

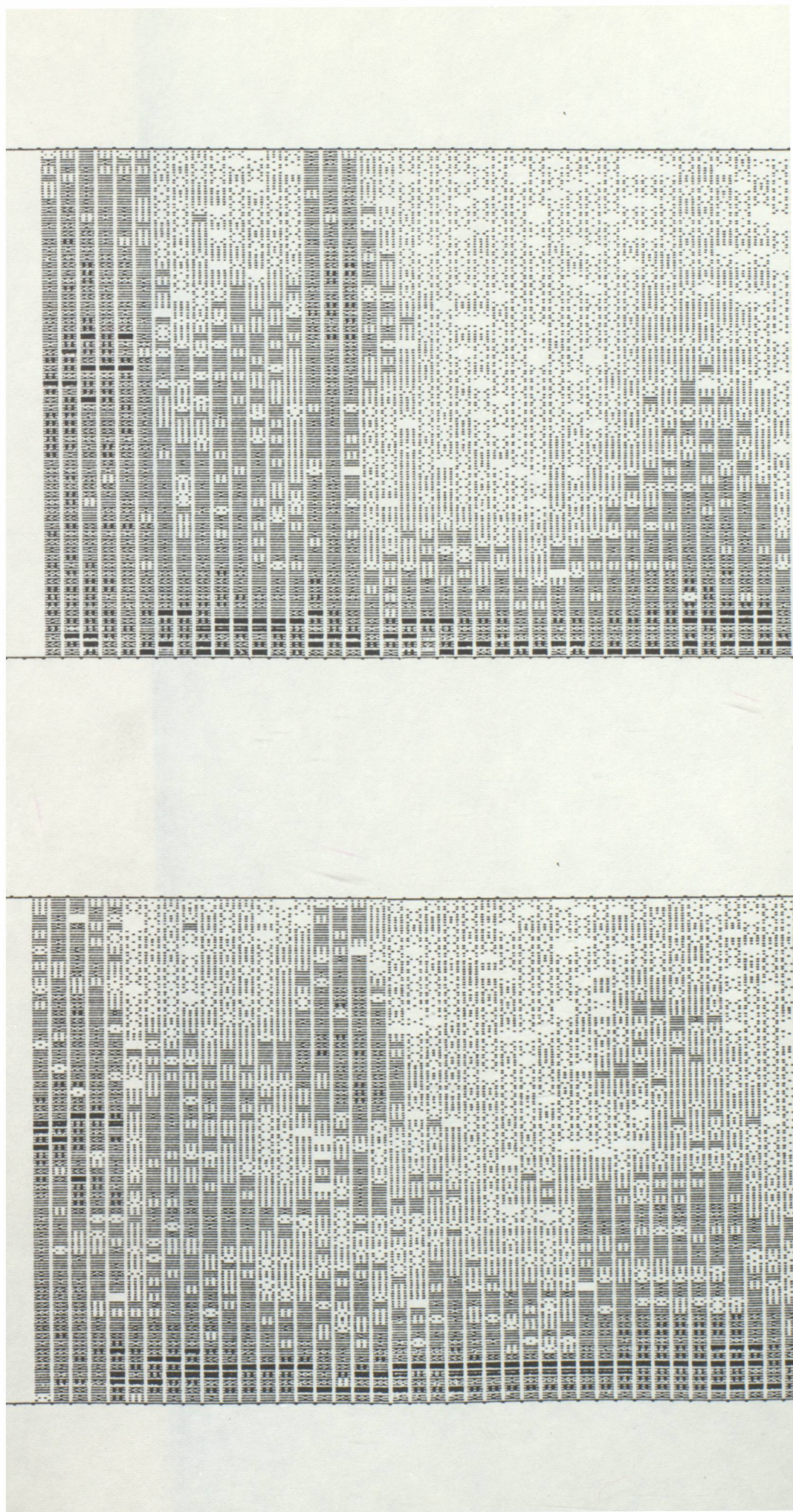




THE
LAW
OF
NATURE
AND
GRATITUDE
TO
HIS
MAGNIFICENT
CREATION
IN
THE
UNIVERSE

THE
LAW
OF
NATURE
AND
GRATITUDE
TO
HIS
MAGNIFICENT
CREATION
IN
THE
UNIVERSE





† DOSYA = TUML.ÖFS SAYFA = 6(SON)

† DOSYA = TUML.SFS SAYFA = 6(SON)

KAYNAKLAR

- [1] B.S.Atal and S.L.Hanauer, "Speech analysis and synthesis by linear prediction of the speech wave," J. Acoust. Soc. Amer., vol. 50, no. 2, pp. 637-655, August 1971.
- [2] J.Makhoul, "Linear prediction: A tutorial review," Proc. IEEE, vol. 63, pp. 561-580, April 1975.
- [3] L.R.Rabiner, M.J.Cheng, A.E.Rosenberg, and C.A.McGonegal, "A comparative performance study of several pitch detection algorithms," IEEE Trans. Acoustics, Speech and Signal Processing, vol. ASSP-24, pp. 399-418, October 1976.
- [4] J.J.Dubnowski, R.W.Schafer, and L.R.Rabiner, "Real-time digital hardware pitch detector," IEEE Trans. Acoust., Speech, Signal Processing, vol. ASSP-24, pp. 2-8, Feb. 1976.
- [5] M.M.Sondhi, "New methods of pitch extraction," IEEE Trans. Audio Electroacoust. (Special Issue on Speech Communication and Processing-Part II) vol. AU-16, pp. 262-266, June 1968.
- [6] L.R.Rabiner and B.Gold, Theory and Applications of Digital Signal Processing, Prentice Hall, Inc., Englewood Cliffs, N.J., 1975.
- [7] L.R.Rabiner and M.R.Sambur, "An algorithm for determining the endpoints of isolated utterances," Bell Syst. Tech. J., vol. 54, No. 2, pp. 297-315, Feb. 1975

[8] H.F.Silverman and N.R.Dixon, "A Parametrically Controlled Spectral Analysis System for Speech," IEEE Trans. on Acoustics, Speech, and Signal Processing, vol. ASSP-22, No. 5 (October 1974), pp. 362-381.

ÖZGEÇMİŞ

Yazar 1964 senesinin ağustos ayında Aydın'da doğmuştur. İlk ve orta öğrenimini İstanbul'da tamamlamış ve 1982 senesinde Yıldız Üniversitesi Kocaeli Mühendislik Fakültesi Elektronik ve Haberleşme Bölümünü kazanarak 1986 senesinde mezun olmuştur. Aynı yıl Yıldız Üniversitesi Mühendislik Fakültesi Elektronik ve Haberleşme Bölümü Yüksek Lisans Sınavını kazanmıştır ve öğrenimine devam etmektedir. Ayrıca 1987 senesinden beri Yıldız Üniversitesi Mühendislik Fakültesi Elektronik ve Haberleşme Bölümü Devreler ve Sistemler Anabilim Dalında araştırma görevlisi olarak çalışmaktadır.



